GUIA PRÁTICO DE CEFALOMETRIA

SISTEMA CFAZ.NET

Gilson Cesar Nobre Franco
Amanda Regina Fischborn
Jéssica Daniela Andreis
Fabio Brasil de Oliveira
(Organizadores)

Liga Odontológica
De Diagnóstico
Por Imagem - UEPG

Atena Editora
Ano 2021

GUIA PRÁTICO DE CEFALOMETRIA

SISTEMA CFAZ.NET

Gilson Cesar Nobre Franco
Amanda Regina Fischborn
Jéssica Daniela Andreis
Fabio Brasil de Oliveira
(Organizadores)

Liga Odontológica
De Diagnóstico
Por Imagem - UEPG

Atena
Editora
Ano 2021

Editora chefe
Profª Drª Antonella Carvalho de Oliveira
Editora executiva
Natalia Oliveira
Assistente editorial
Flávia Roberta Barão
Bibliotecária
Janaina Ramos
Projeto gráfico
Camila Alves de Cremo
Daphynny Pamplona
Luiza Alves Batista
Maria Alice Pinheiro
Natália Sandrini de Azevedo
Imagens da capa
iStock
Edição de arte
Luiza Alves Batista

Atena
Editora
Ano 2021

Atena Editora
Ano 2021

Guia prático de cefalometrica: sistema Cfaz.net

Indexação:	Gabriel Motomu Teshima
Revisão:	Os autores
Organizadores:	Gilson Cesar Nobre Franco
	Amanda Regina Fischborn
	Jéssica Daniela Andreis
	Fabio Brasil de Oliveira

Dados Internacionais de Catalogação na Publicação (CIP)

G943 Guia prático de cefalometrica: sistema Cfaz.net / Organizadores Gilson Cesar Nobre Franco, Amanda Regina Fischborn, Jéssica Daniela Andreis, et al. – Ponta Grossa - PR: Atena, 2021.

Outro organizador
Fabio Brasil de Oliveira

Formato: PDF
Requisitos de sistema: Adobe Acrobat Reader
Modo de acesso: World Wide Web
Inclui bibliografia
ISBN 978-65-5983-620-8
DOI: https://doi.org/10.22533/at.ed.208212210

1. Sinusite. 2. Tomografia computadorizada por raios X. 3. Seio maxilar. I. Franco, Gilson Cesar Nobre (Organizador). II. Fischborn, Amanda Regina (Organizadora). III. Andreis, Jéssica Daniela (Organizadora). IV. Título.

CDD 616.212

Elaborado por Bibliotecária Janaina Ramos – CRB-8/9166

Atena Editora
Ponta Grossa – Paraná – Brasil
Telefone: +55 (42) 3323-5493
www.atenaeditora.com.br
contato@atenaeditora.com.br

Atena Editora
Ano 2021

DECLARAÇÃO DOS AUTORES

Os autores desta obra: 1. Atestam não possuir qualquer interesse comercial que constitua um conflito de interesses em relação ao artigo científico publicado; 2. Declaram que participaram ativamente da construção dos respectivos manuscritos, preferencialmente na: a) Concepção do estudo, e/ou aquisição de dados, e/ou análise e interpretação de dados; b) Elaboração do artigo ou revisão com vistas a tornar o material intelectualmente relevante; c) Aprovação final do manuscrito para submissão.; 3. Certificam que os artigos científicos publicados estão completamente isentos de dados e/ou resultados fraudulentos; 4. Confirmam a citação e a referência correta de todos os dados e de interpretações de dados de outras pesquisas; 5. Reconhecem terem informado todas as fontes de financiamento recebidas para a consecução da pesquisa; 6. Autorizam a edição da obra, que incluem os registros de ficha catalográfica, ISBN, DOI e demais indexadores, projeto visual e criação de capa, diagramação de miolo, assim como lançamento e divulgação da mesma conforme critérios da Atena Editora.

Atena Editora
Ano 2021

DECLARAÇÃO DA EDITORA

Atena Editora
Ano 2021

ORGANIZADORES

GILSON CESAR NOBRE FRANCO

Graduado em Odontologia pela PUC-Campinas (2000). Doutor em Odontologia pela FOP-UNICAMP e Forsyth Institute (Harvard Medical/Dental School- Boston/MA-USA). Especialista em Radiologia Odontológica e Imaginologia pela SLMANDIC. Capacitado em Tomografia Computadorizada (Extensão em Tomografia Computadorizada) pela FUNDECTO-USP. Atualização em Radiologia Odontológica pela UNESP-Araraquara. Professor do curso de Odontologia da UEPG. Professor no Programa de Pós-Graduação Stricto Sensu em Odontologia da UEPG. Membro da ABRO - Sociedade Brasileira de Radiologia Odontológica. Membro da ABO/PR - Associação Brasileira de Odontologia. Coordenador da LODI- Liga Odontológica de Diagnóstico por Imagem (LODI-UEPG).

AMANDA REGINA FISCHBORN

Graduada em Odontologia pela UEPG (2017). Mestre em Odontologia pela UEPG. Professora de Radiologia da Universidade Estadual de Ponta Grossa – UEPG. Presidente da LODI- Liga Odontológica de Diagnóstico por Imagem (LODI-UEPG).

JÉSSICA DANIELA ANDREIS

Graduada em Odontologia pela UEPG (2017). Mestre em Odontologia pela UEPG. Professora de Radiologia da Universidade Cesumar – UniCesumar Campus Ponta Grossa. Diretora científica da LODI – Liga Odontológica de Diagnóstico por Imagem (LODI-UEPG).

FABIO BRASIL DE OLIVEIRA

Graduado em Odontologia pela UEPG (2019). Diretor de mídia e comunicação da LODI – Liga Odontológica de Diagnóstico por Imagem (LODI-UEPG).

GUIA PRÁTICO DE CEFALOMETRIA

SISTEMA CFAZ.NET

AUTORES

FERNANDA CRISTINA SALES SALINEIRO
Graduada em Odontologia pela UEPG (2004). Mestre e Doutora pela UFPR. Especialista em Radiologia Odontológica e Imaginologia pela SLMANDIC. Professora colaboradora do curso de Odontologia da UEPG. Professora supervisora da LODI – Liga Odontológica de Diagnóstico por Imagem (LODI-UEPG).

JOSÉ LIMONGI
Graduada em Odontologia pela UEPG (2004). Mestre e Doutora pela UFPR. Especialista em Radiologia Odontológica e Imaginologia pela SLMANDIC. Professora colaboradora do curso de Odontologia da UEPG. Professora supervisora da LODI – Liga Odontológica de Diagnóstico por Imagem (LODI-UEPG).

LEA CHIOCA
Graduada em Odontologia pela UEPG (2004). Mestre e Doutora pela UFPR. Especialista em Radiologia Odontológica e Imaginologia pela SLMANDIC. Professora supervisora da LODI – Liga Odontológica de Diagnóstico por Imagem (LODI-UEPG).

MARCELA CLAUDINO
Graduada em Odontologia pela PUC-PR (2003). Mestre e Doutora em Biologia Oral pela FOB-USP. Professora do curso de Odontologia da UEPG. Professora supervisora da LODI – Liga Odontológica de Diagnóstico por Imagem (LODI-UEPG).

ANDREA GROSS
Graduado em Odontologia pela UEPG (2019). Diretor de mídia e comunicação da LODI – Liga Odontológica de Diagnóstico por Imagem (LODI-UEPG).

GABRIELLA SCHMITZ OLIVEIRA
Graduanda em Odontologia pela UEPG. Membro da LODI – Liga Odontológica de Diagnóstico por Imagem (LODI-UEPG).

LEOMAR EMANUEL ALMEIDA MECCA
Graduado em Odontologia pela UEPG (2013). Mestre em Odontologia pela UEPG. Especialista em Saúde Pública Com ênfase em Saúde da Família. Especialista em Gestão Pública pela UEPG. Diretor acadêmico da LODI – Liga Odontológica de Diagnóstico por Imagem (LODI-UEPG).

NATÁLIA MARIANE RIGO
Graduanda em Odontologia pela UEPG. Membro da LODI – Liga Odontológica de Diagnóstico por Imagem (LODI-UEPG).

FELIPE BITTARELLO
Graduando em Odontologia pela UEPG. Membro da LODI – Liga Odontológica de Diagnóstico por Imagem (LODI-UEPG).

JÉSSICA HELENA VIEIRA GRANATO
Graduanda em Odontologia pela UEPG. Membro da LODI – Liga Odontológica de Diagnóstico por Imagem (LODI-UEPG).

ANNA ISIS FORNAZARI ROCHA
Graduanda em Odontologia pela UEPG. Membro da LODI – Liga Odontológica de Diagnóstico por Imagem (LODI-UEPG).

MILLENE HIKARI WATANABE
Graduanda em Odontologia pela UEPG. Membro da LODI – Liga Odontológica de Diagnóstico por Imagem (LODI-UEPG).

ALESSANDRA DE LIMA
Graduanda em Odontologia pela UEPG. Membro da LODI – Liga Odontológica de Diagnóstico por Imagem (LODI-UEPG).

VITÓRIA PAULINO ABRÃO
Graduanda em Odontologia pela UEPG. Membro da LODI – Liga Odontológica de Diagnóstico por Imagem (LODI-UEPG).

YOHANA POTERALA
Graduanda em Odontologia pela UEPG. Membro da LODI – Liga Odontológica de Diagnóstico por Imagem (LODI-UEPG).

GABRIEL LOPES ILIBRANTE
Graduando em Odontologia pela UEPG. Membro da LODI – Liga Odontológica de Diagnóstico por Imagem (LODI-UEPG).

AMANDA GAIO MACHADO
Graduanda em Odontologia pela UEPG. Membro da LODI – Liga Odontológica de Diagnóstico por Imagem (LODI-UEPG).

MILENE PETKOWICZ
Graduanda em Odontologia pela UEPG. Membro da LODI – Liga Odontológica de Diagnóstico por Imagem (LODI-UEPG).

CECÍLIA WOSNIACKI BICUDO
Graduanda em Odontologia pela UEPG. Membro da LODI – Liga Odontológica de Diagnóstico por Imagem (LODI-UEPG).

ANA RUBIA DRZEWINSKI DE MIRANDA
Graduanda em Odontologia pela UEPG. Membro da LODI – Liga Odontológica de Diagnóstico por Imagem (LODI-UEPG).

SOBRE NÓS

A Liga Odontológica De Diagnóstico Por Imagem (LODI-UEPG), foi fundada em 2019 com a finalidade de realizar estudos e atividades práticas relacionadas à Radiologia Odontológica e Imaginologia, promover eventos científicos, além de organizar mostras capazes de divulgar os assuntos estudados na área correlata.

Está localizada no Centro Radiológico do Departamento de Odontologia da Universidade Estadual de Ponta Grossa - UEPG, Campus de Uvaranas, situado na Av. General Carlos Cavalcanti, 4748, Bloco M, sala 10, CEP 84.030-900 - município de Ponta Grossa, Estado do Paraná.

É composta por professores, discentes de pós-graduação (Mestrado e Doutorado) e alunos de graduação do curso de Odontologia da UEPG, os quais, estes passam por um processo seletivo através de avaliação teórica realizada anualmente e cumprem a carga horária de dois semestres letivos.

FORMANDO PROFISSIONAIS QUE VALORIZAM O DIAGNÓSTICO

AMIGOS DA LODI

Cfaz.net

Concessão de uso do sistema integral para gerenciamento de todo centro radiológico, bem com promovendo a interface com as clínicas internas da UEPG

- Sistema em uso pela LODI: **Cfaz.net**
- Link para acesso: **https://www.cfaz.net/**

CYBERMED

Concessão de uso do software de manipulação e análise de imagens tomográficas, bem como confecção de template

- Software em uso pela LODI: **OnDemand 3D**
- Link para acesso: https://www.ondemand3d.com/

Carestream DENTAL

Concessão de uso do equipamento de Raio X digital (Sistema de placa de fósforo)

- Equipamento em uso pela LODI: **Escaner CS 7200 e placas de fósforo**
- Link para acesso: https://www.carestreamdental.com/pt-br/csd-products/intraoral-imaging/cs-7200/

DIGITAL RADIO CENTER

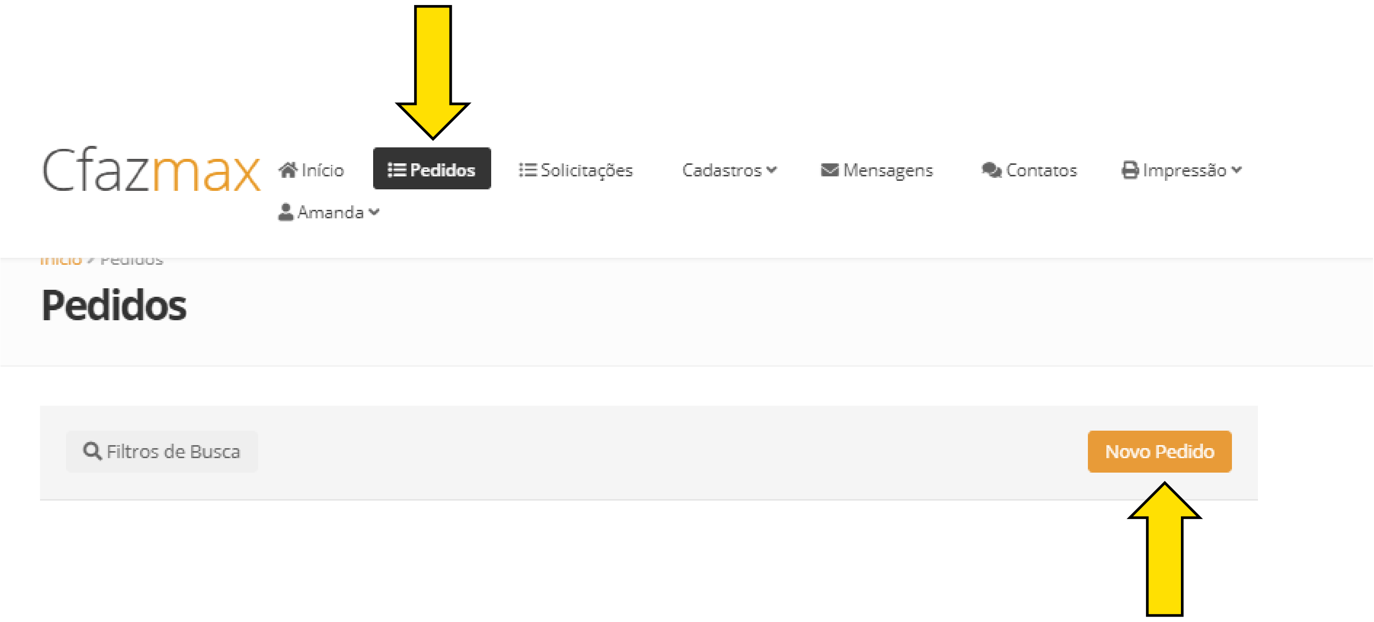
Clínica radiológica local parceira, promovendo atendimento de pacientes da UEPG, quando de necessidades.

- Atendimento de pacientes da LODI
- Endereço: Comendador Ayrton Plaisant , Ponta Grossa/PR

SUMÁRIO

PASSO A PASSO

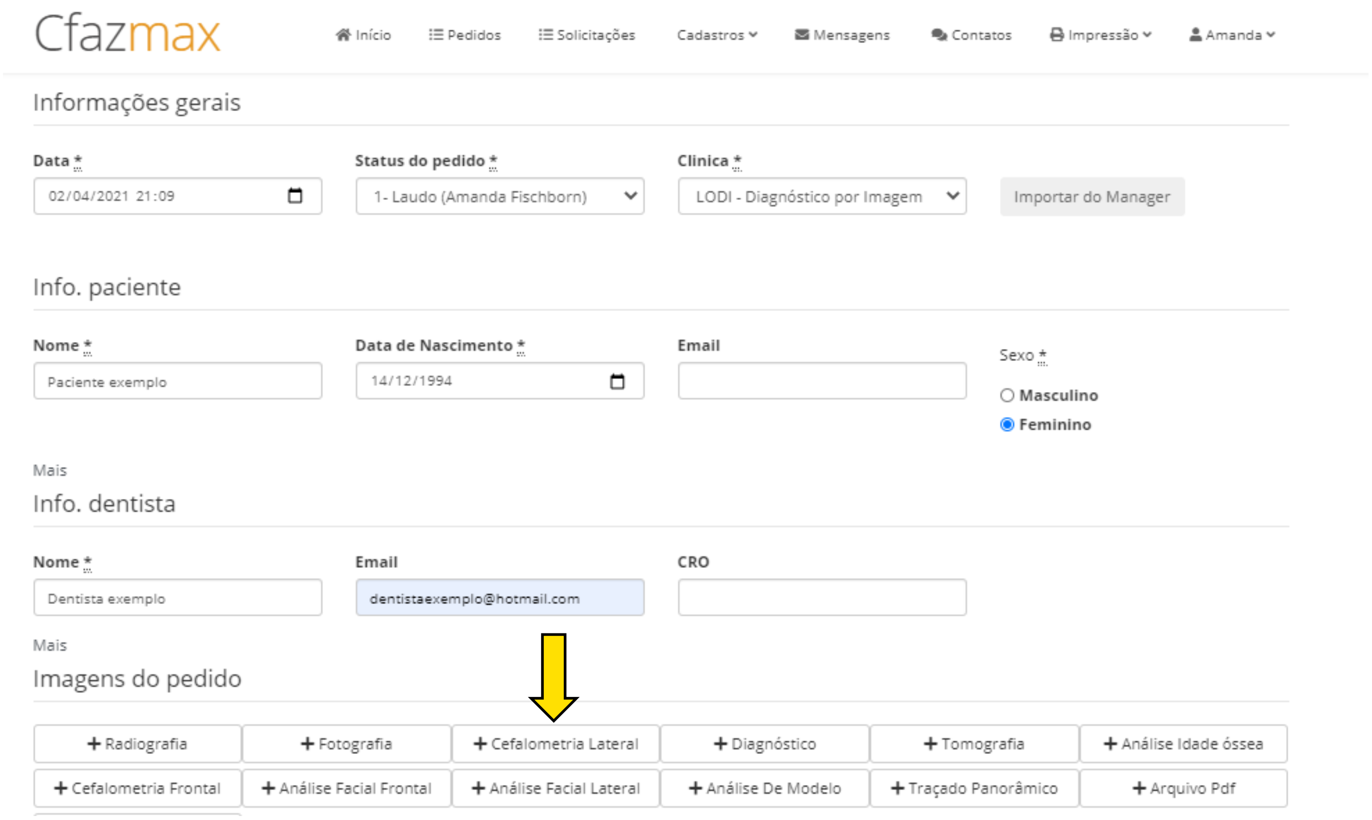
- Inicie abrindo a aba **“Pedidos”** e em seguida clicar em **“Novo pedido”**.



1

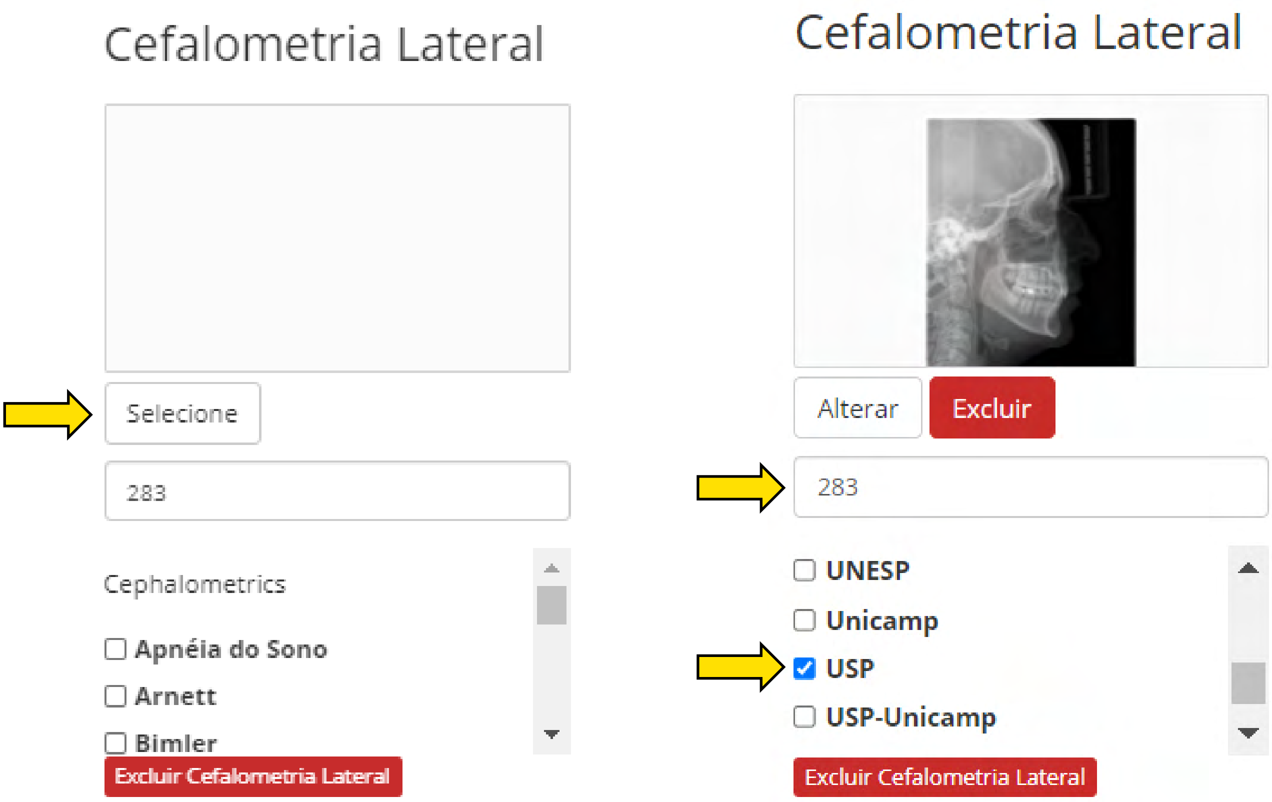
PASSO A PASSO

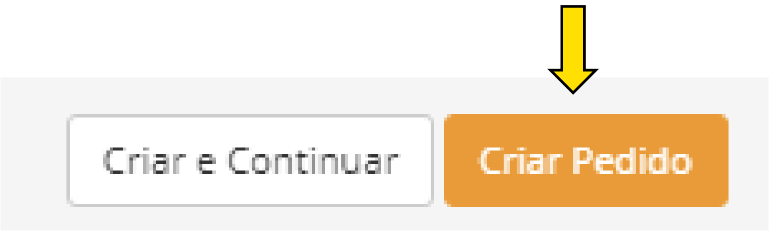
- Preencha as informações gerais, informações do paciente e informações do dentista.
- Em **“Imagens do pedido”**, selecione a aba **“+ Cefalometria Lateral”**.



1 PASSO A PASSO

- No campo que abriu na parte inferior da tela, clique na aba “selecione”, e carregue o arquivo do seu computador.
- Se você já possui o valor do dpi, insira na aba logo abaixo.
- Em “Cephalometrics”, selecione as análises que deseja realizar. Ex: McNamara, Ricketts e USP.
- Clique em “Criar pedido”.



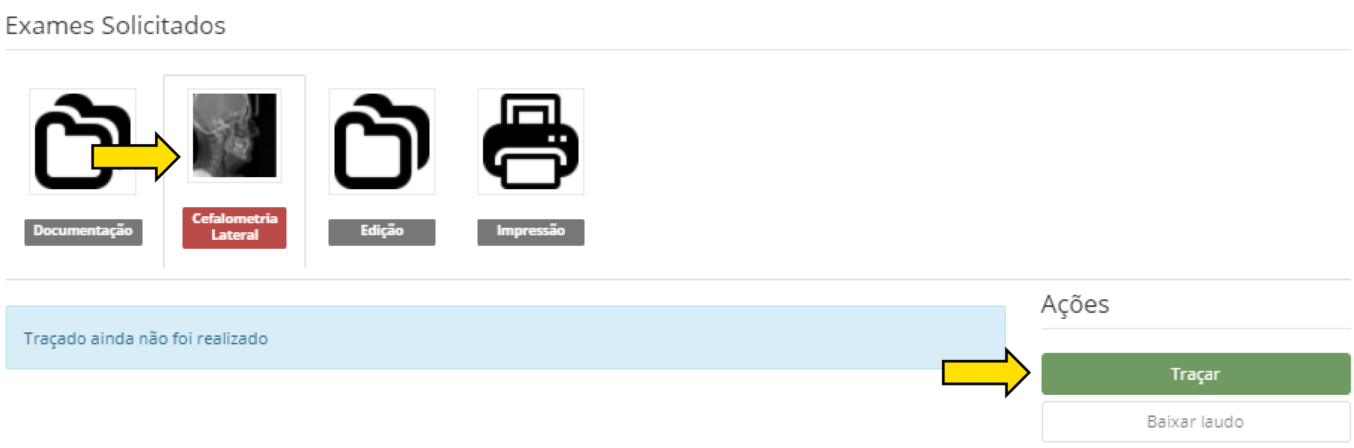


1 PASSO A PASSO

- Observe que o pedido foi criado, e que o campo referente a cefalometria lateral aparece na cor vermelha, o que significa que é um exame “novo”. Quando esse exame é iniciado, esse status se altera automaticamente para a cor laranja, o que significa que está em “andamento”. Quando o laudador finaliza o exame, esse status é alterado para a cor verde, que significa “finalizado”.
- Clique no campo “Cefalometria Lateral”, que está na cor vermelha.
- Clique na aba “Traçar” em ações, na lateral da tela.

STATUS

Cefalometria Lateral	Cefalometria Lateral	Cefalometria Lateral
Novo	Em andamento	Finalizado

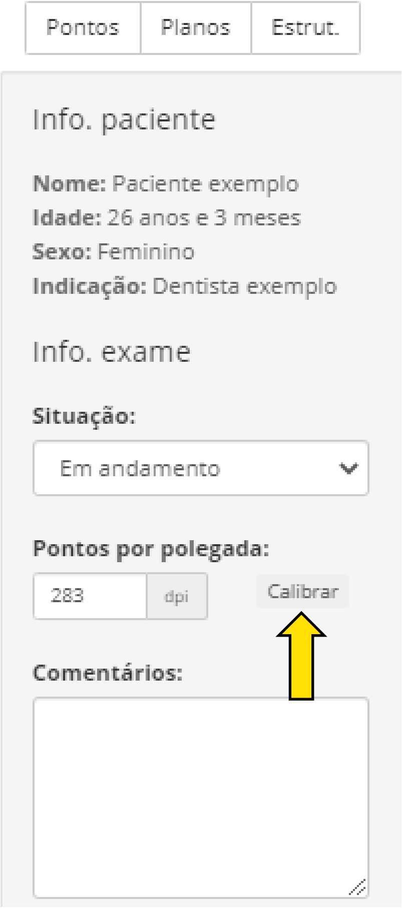


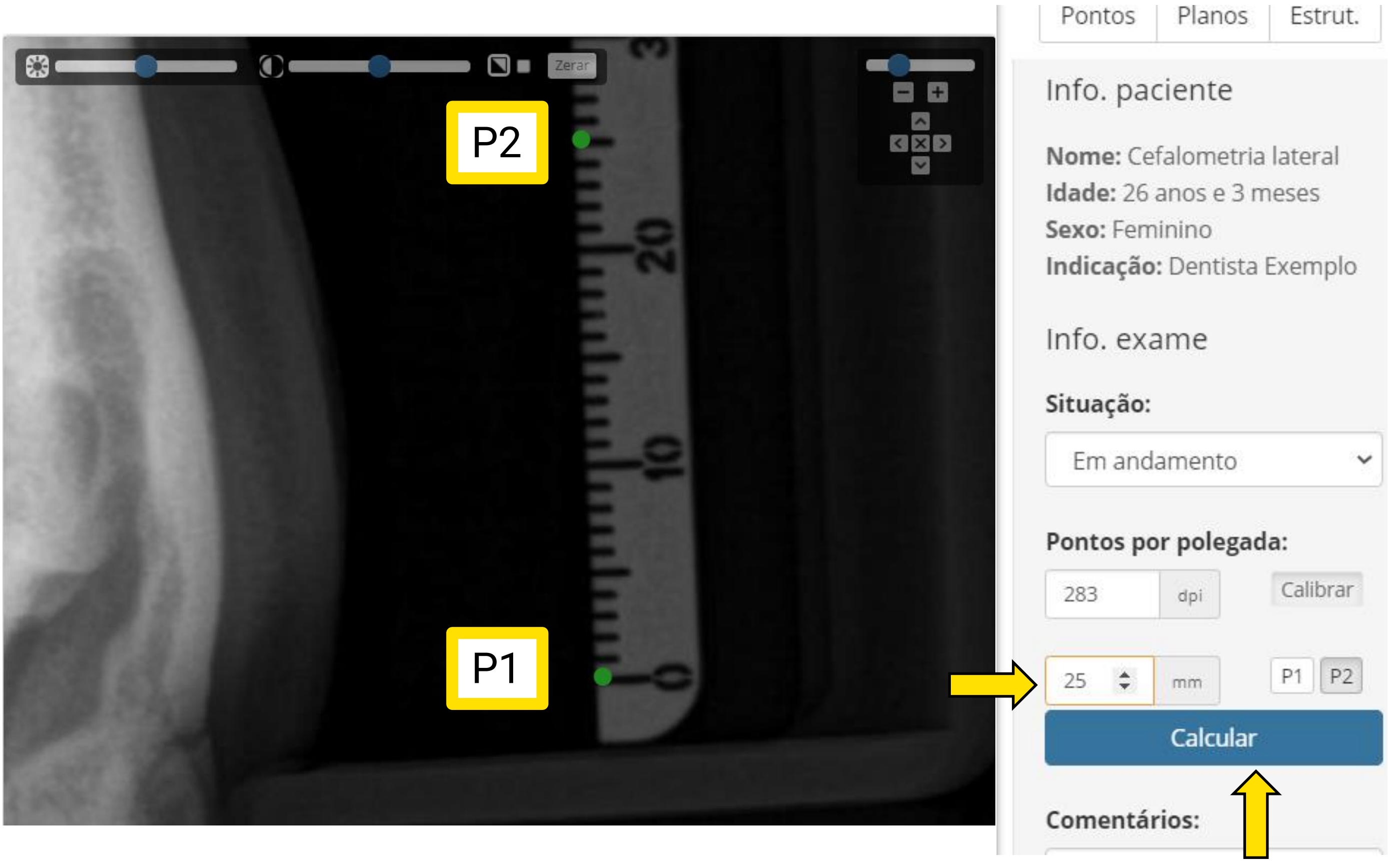
CALIBRAÇÃO DA IMAGEM

A imagem deve estar calibrada de acordo com o tamanho real. Essa calibração deve ser feita, preferencialmente, de acordo com o exame impresso. Durante a instalação dos equipamentos radiológicos, a calibração das imagens é realizada e um valor de DPI é gerado a partir da resolução da imagem adquirida e impressa. Caso o valor de DPI não for conhecido, é possível realizar uma calibração manual das imagens inseridas no sistema. Da seguinte forma:

- Na lateral da tela, na aba “Info. Paciente”, em “Pontos por polegada”, clique em “Calibrar”.
- Coloque zoom na imagem, e com o botão esquerdo do mouse, arraste a imagem de forma que a régua fique centralizada.
- Clique no ponto inicial da régua (P1), e no ponto de 25mm (P2).
- No campo “mm”, na lateral da tela, insira o valor de 25mm.
- Clique em “Calcular”.

1 PASSO A PASSO





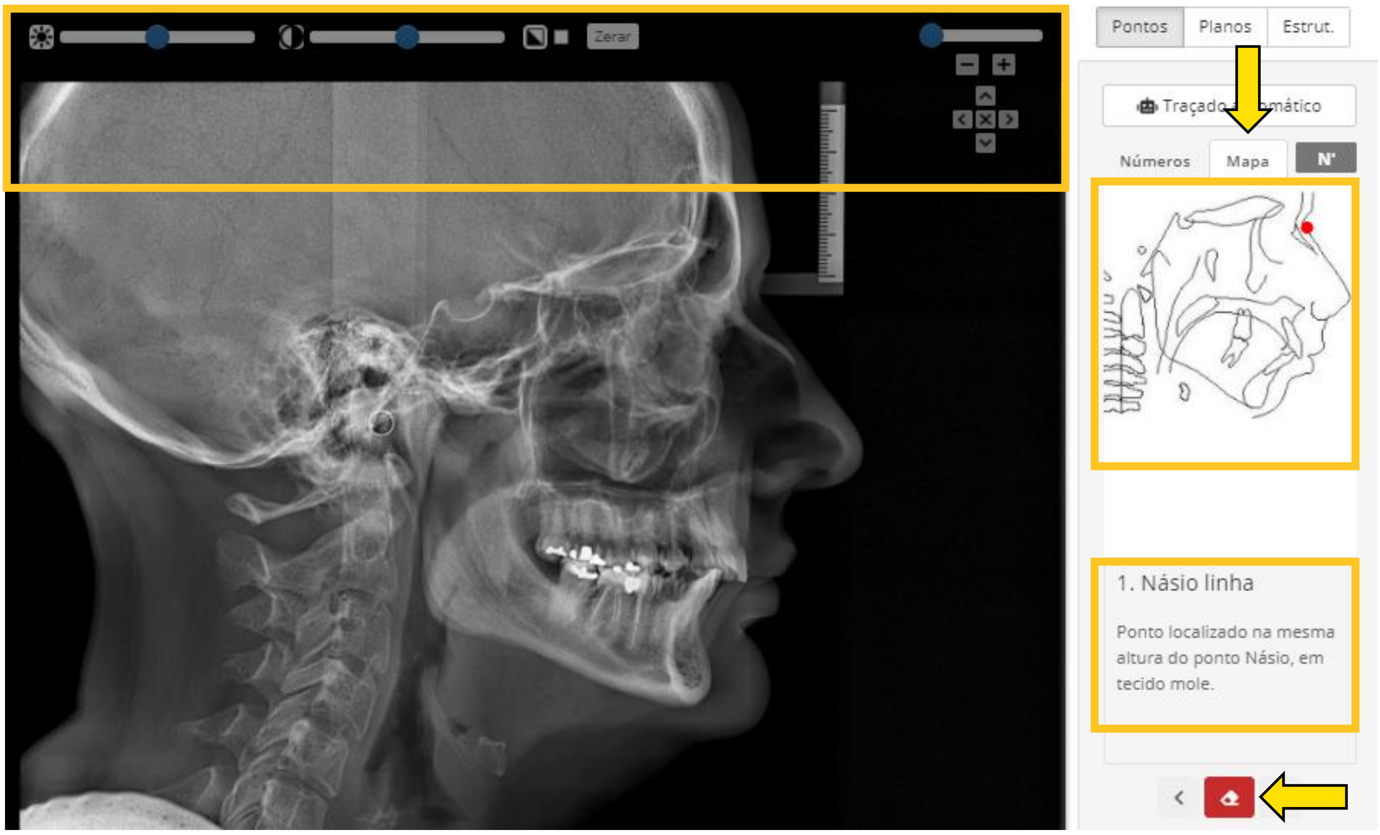
MARCAÇÃO DOS PONTOS

- Clique na aba “Marcar pontos”
- Através da inteligência artificial, podemos realizar o traçado automaticamente, porém, devemos sempre conferir os pontos. Nesse sentido, é importante ter conhecimento desses pontos. Dessa forma, realize a marcação de forma manual.
- Perceba que ao clicar em “Marcar pontos”, automaticamente já abre uma aba para a marcação do ponto 1, na lateral da tela.



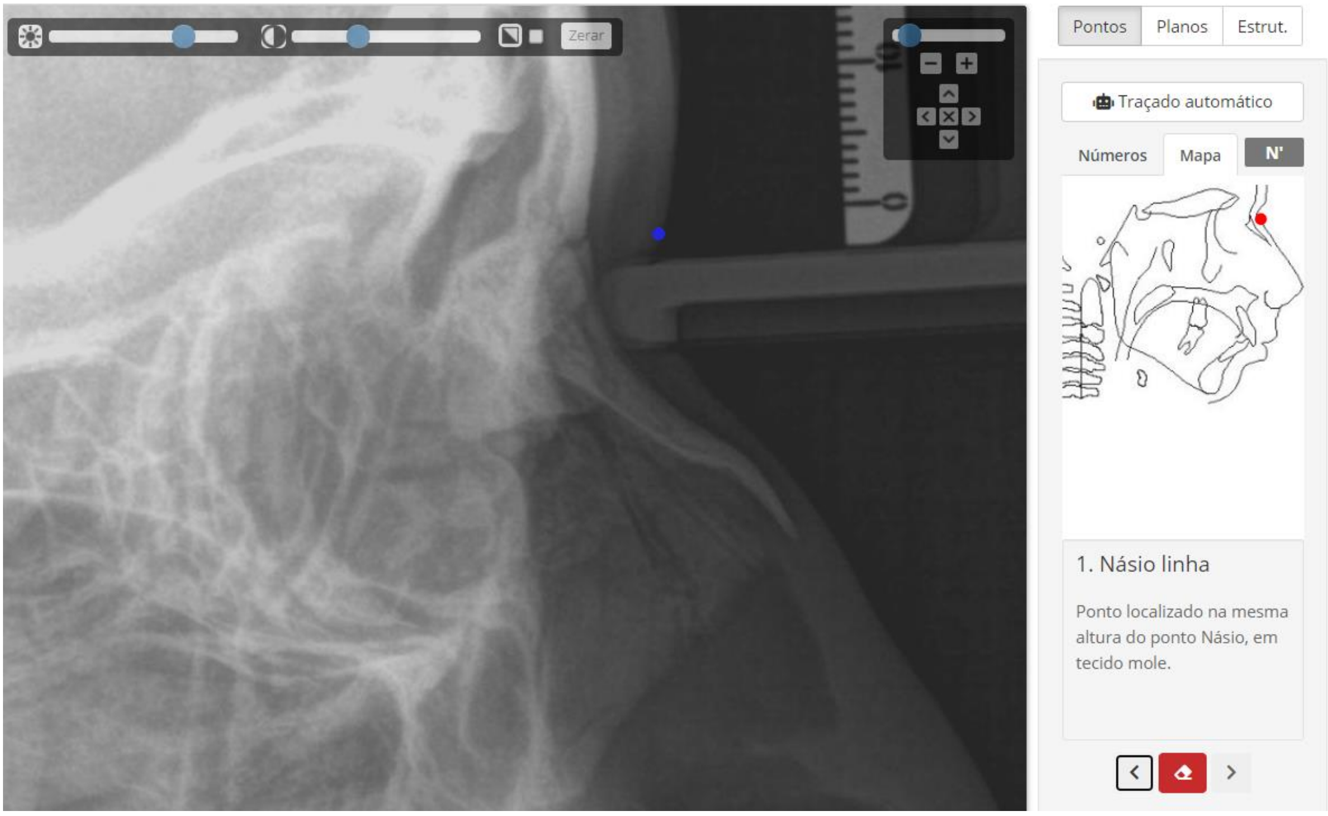
1 PASSO A PASSO

- Se clicar na aba “Mapa”, na lateral da tela, a plataforma fornece o nome do ponto, a descrição dele, e um cefalograma ilustrativo indicando a região do ponto a ser marcada.
- Realize as marcações dos pontos, seguindo a sequência indicada. Dessa forma, utilizando as ferramentas disponíveis na região superior da tela, é possível alterar contraste, zoom e inverter cores, para facilitar a visualização dos pontos. Para arrastar a imagem, utilize o botão esquerdo do mouse.
- Note abaixo da descrição do ponto, o ícone “apagar”. Se acaso você marcar o ponto em algum lugar errado, volte, apague e refaça.

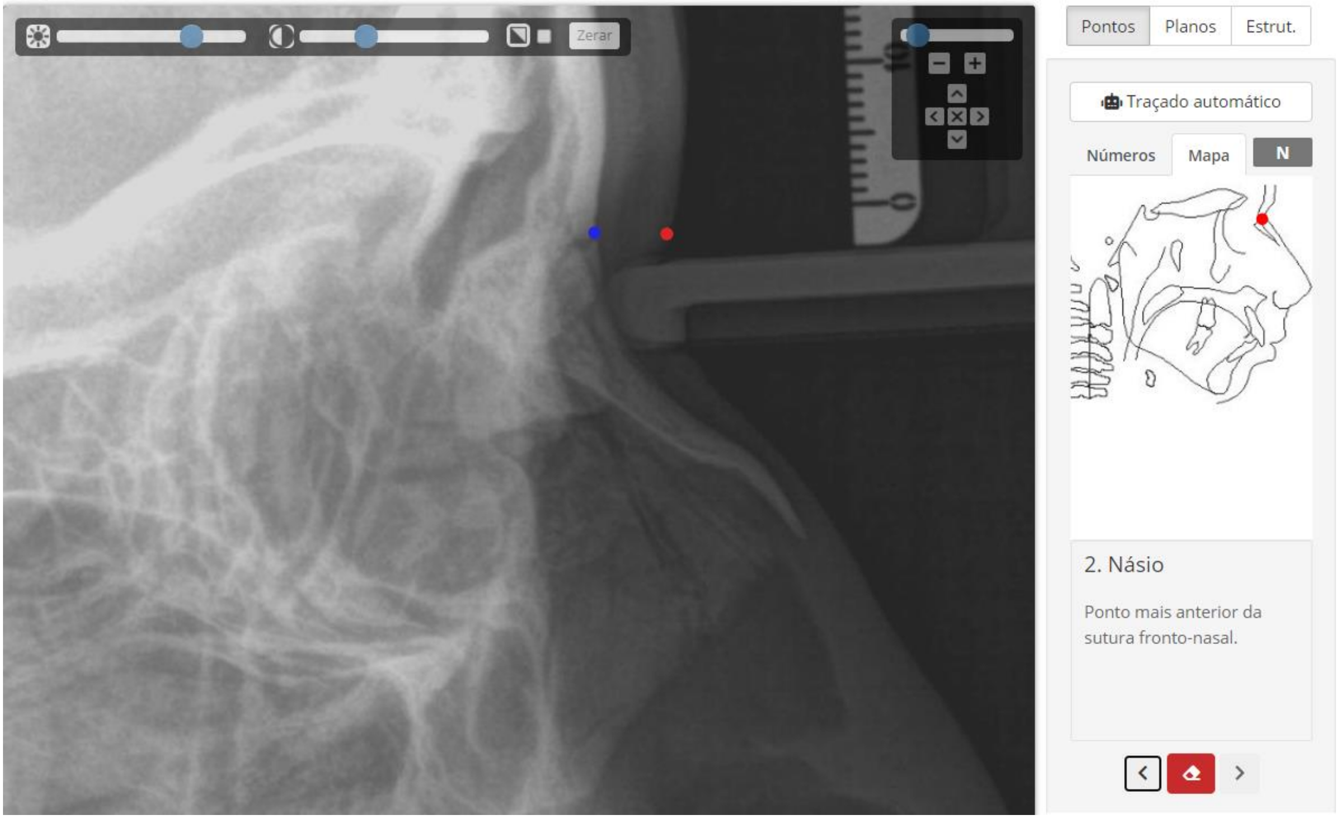


MARCANDO OS PONTOS:

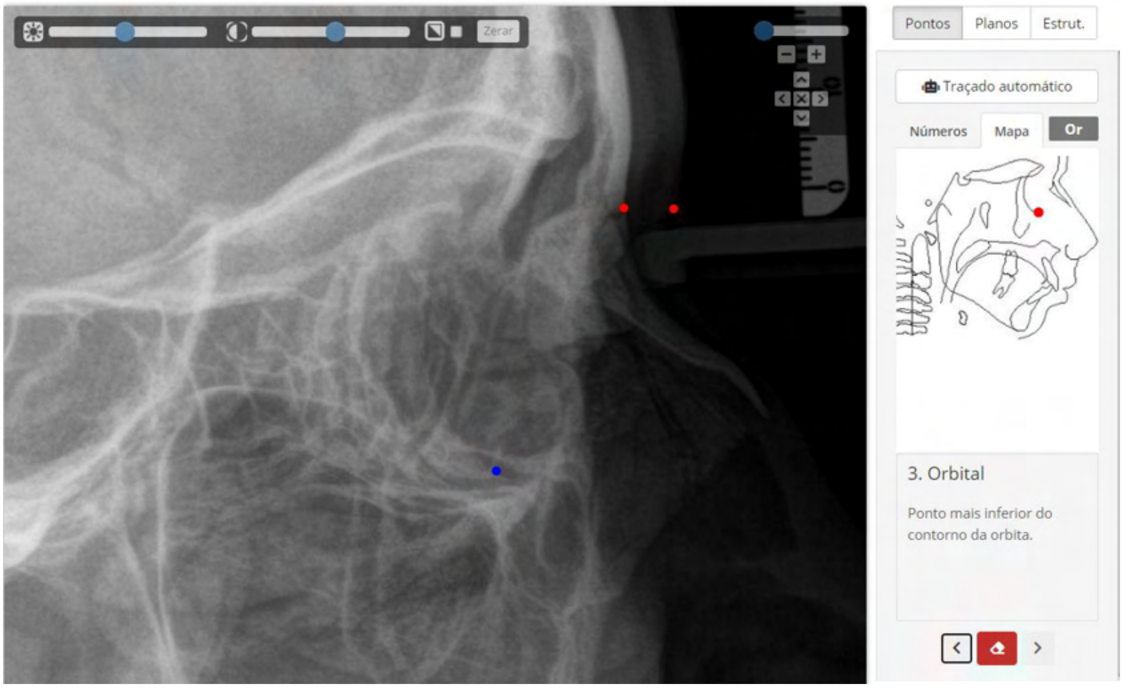
- Para facilitar a visualização, neste guia ilustrativo os pontos indicados estão na cor azul, durante a marcação no sistema, o ponto estará na cor vermelha.

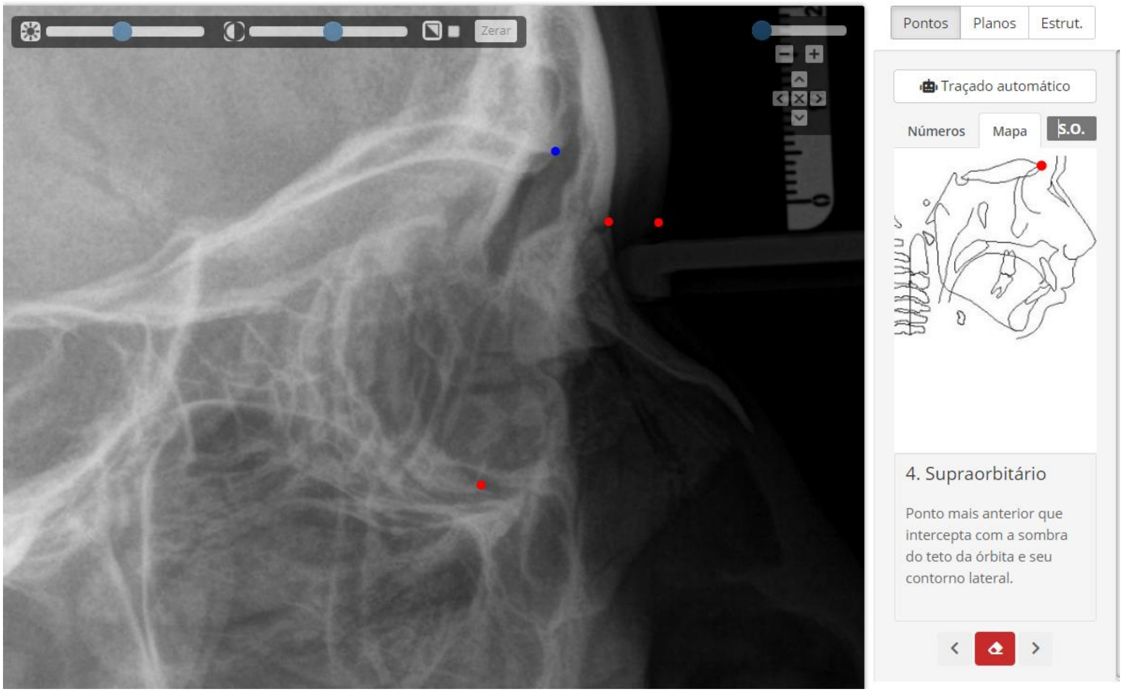


MARCANDO OS PONTOS:

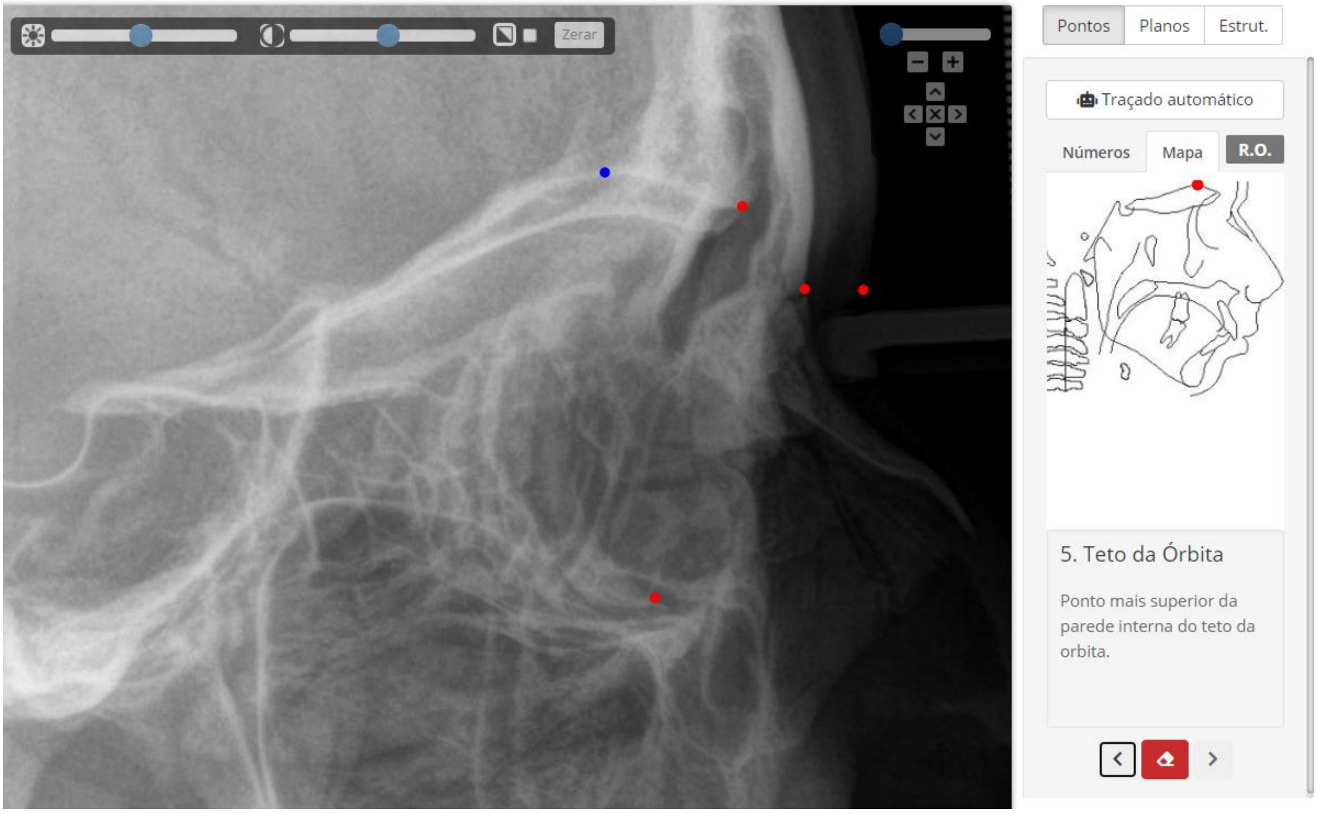


MARCANDO OS PONTOS:

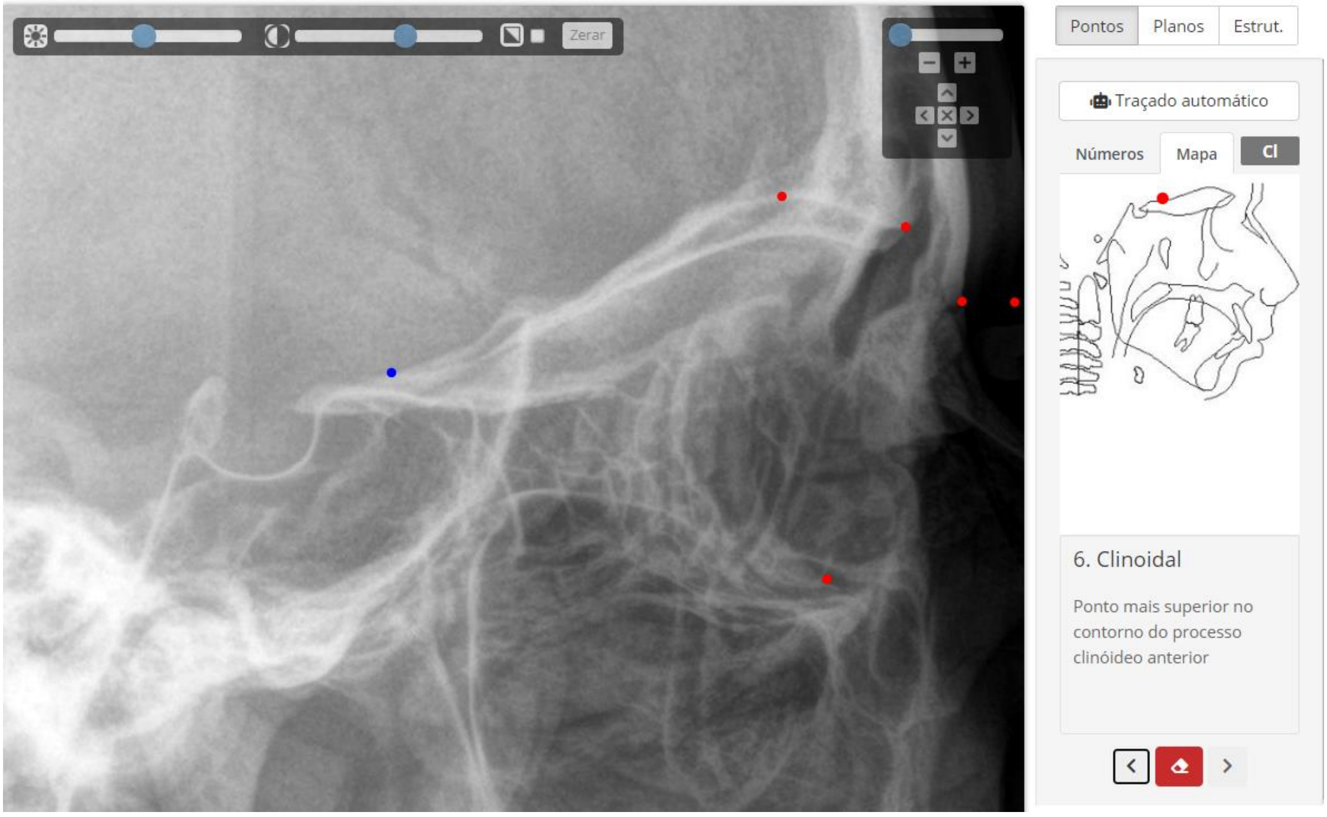




MARCANDO OS PONTOS:

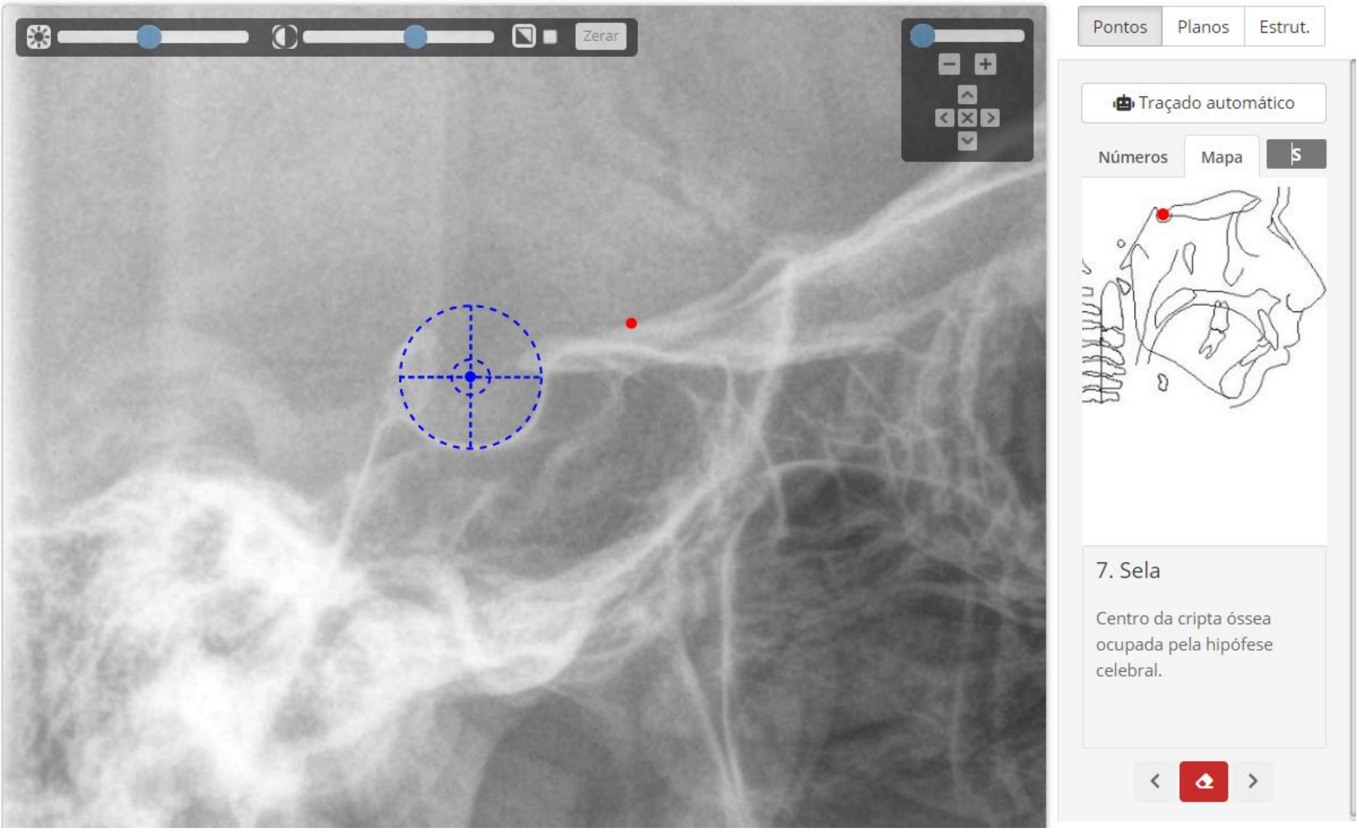


MARCANDO OS PONTOS:



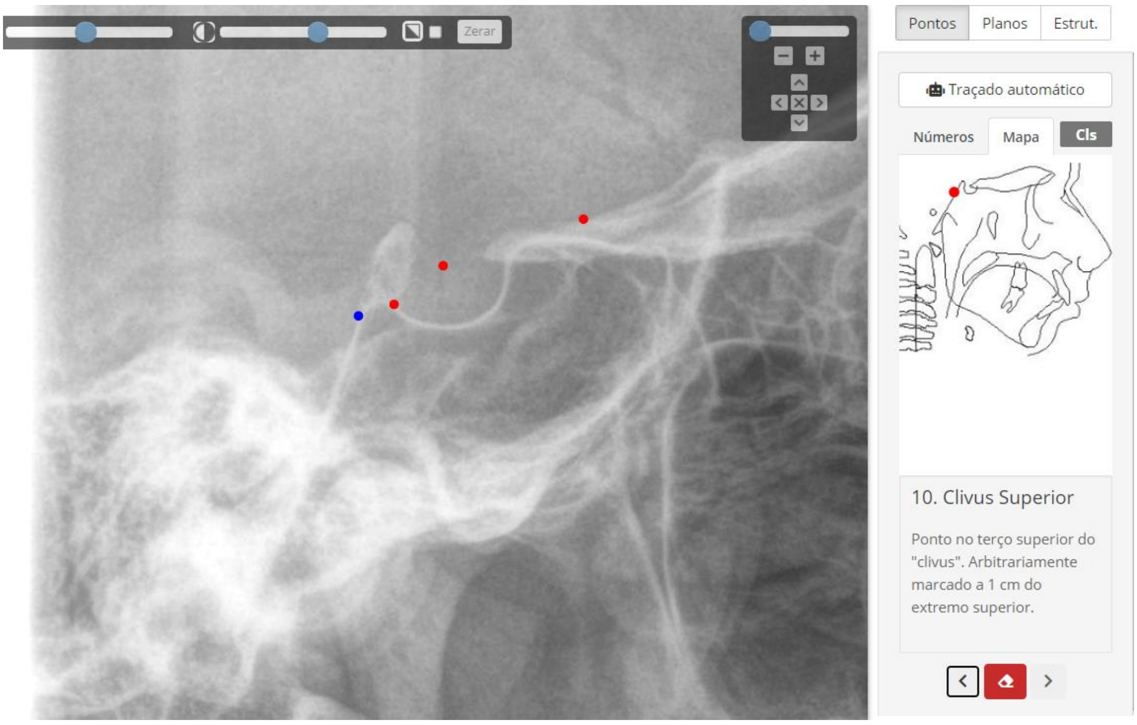
MARCANDO OS PONTOS:

- Note que em alguns pontos, o sistema disponibiliza uma ferramenta para auxiliar na marcação. Posicione a ferramenta utilizando o botão direito do mouse e marque o ponto.

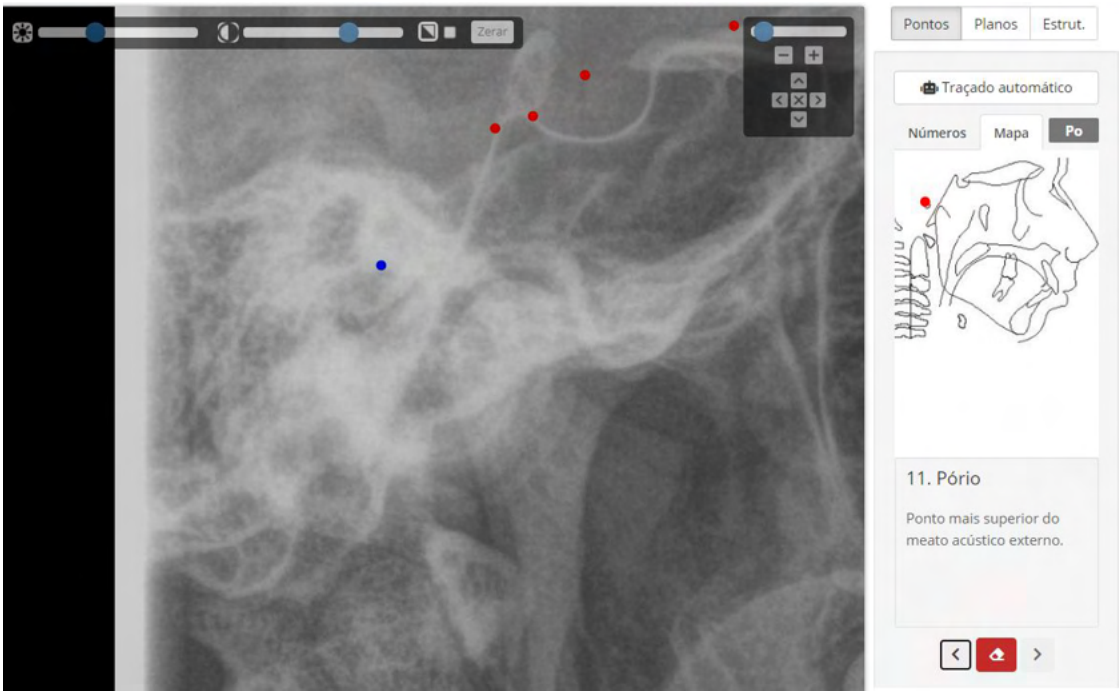


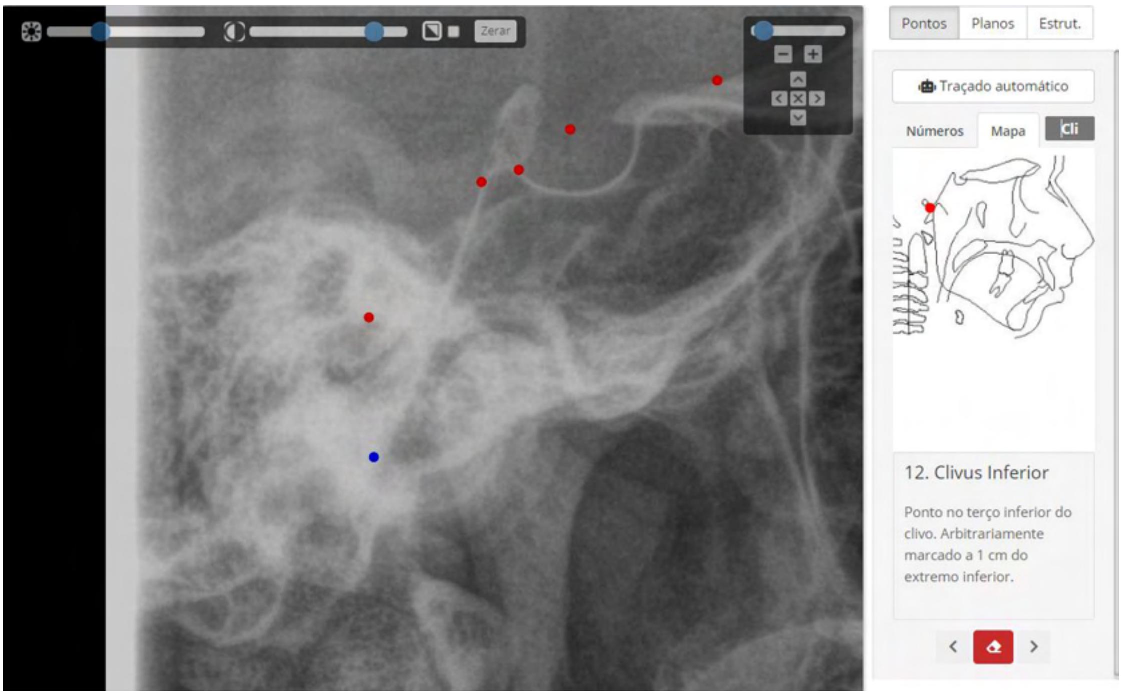
MARCANDO OS PONTOS:



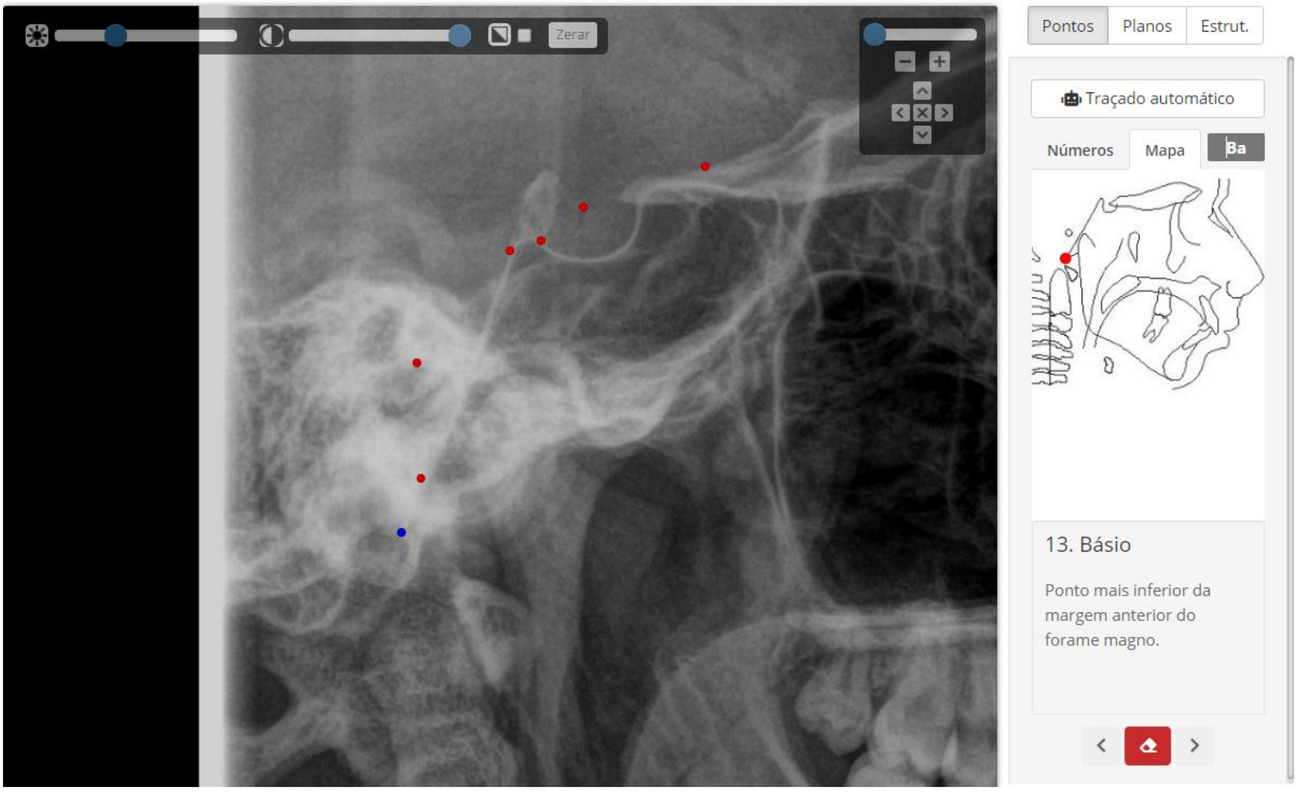


MARCANDO OS PONTOS:

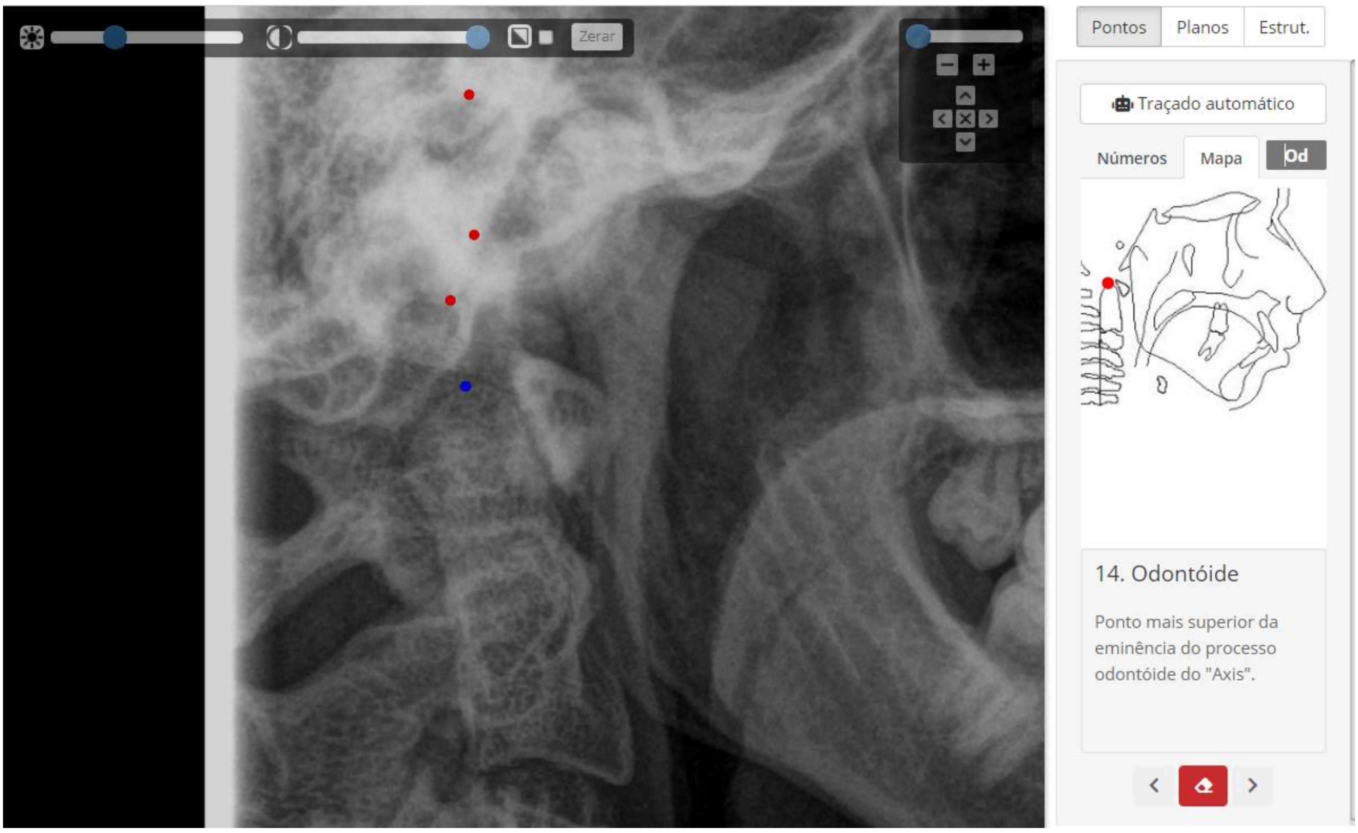




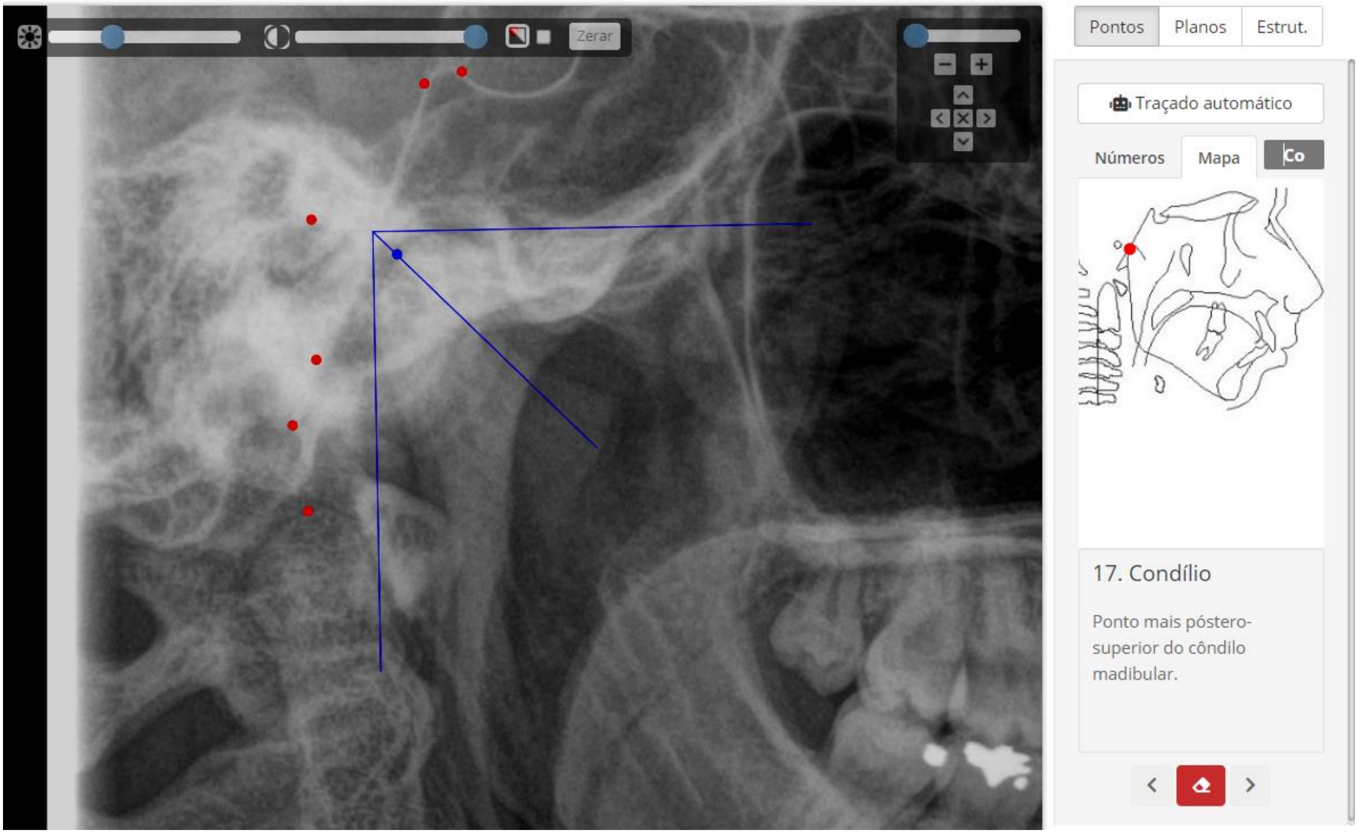
MARCANDO OS PONTOS:



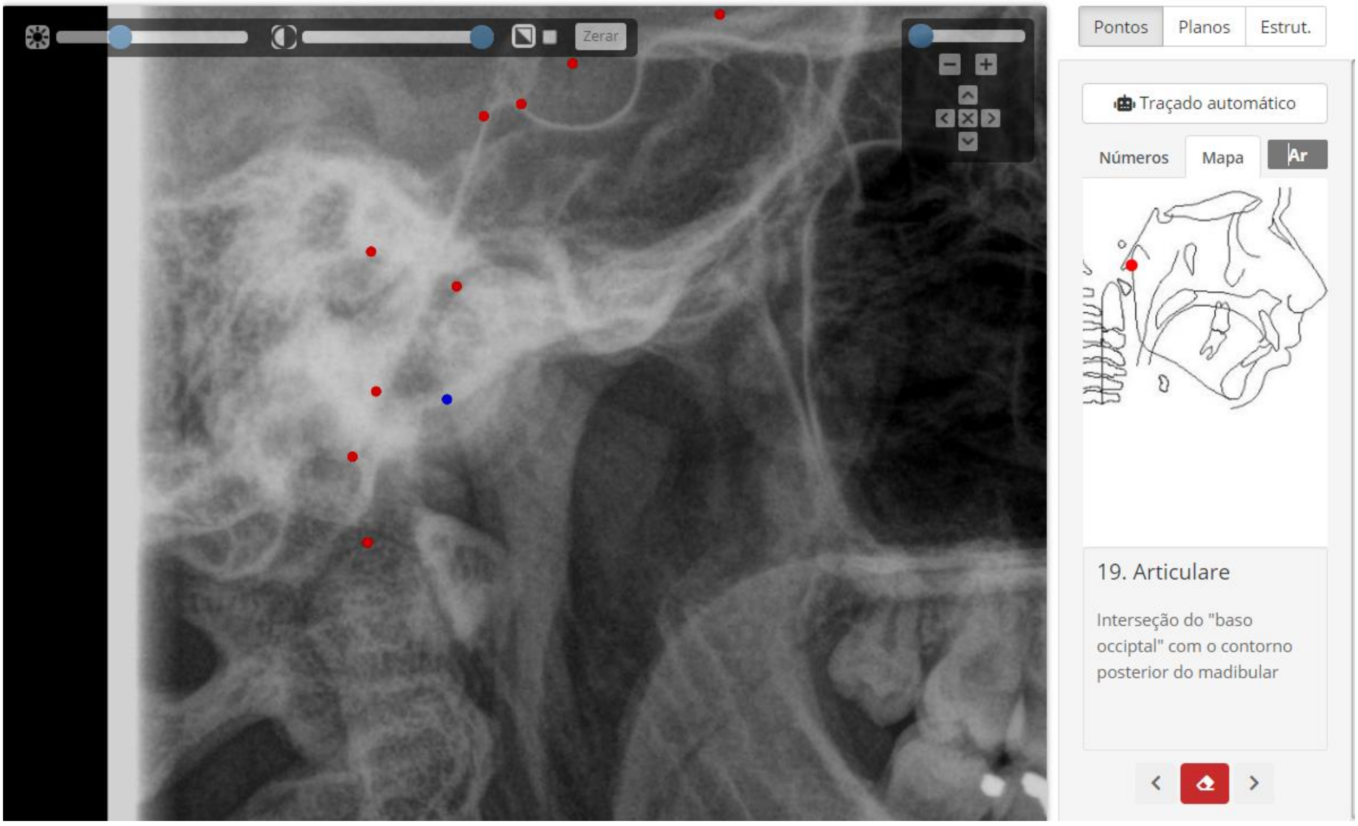
MARCANDO OS PONTOS:



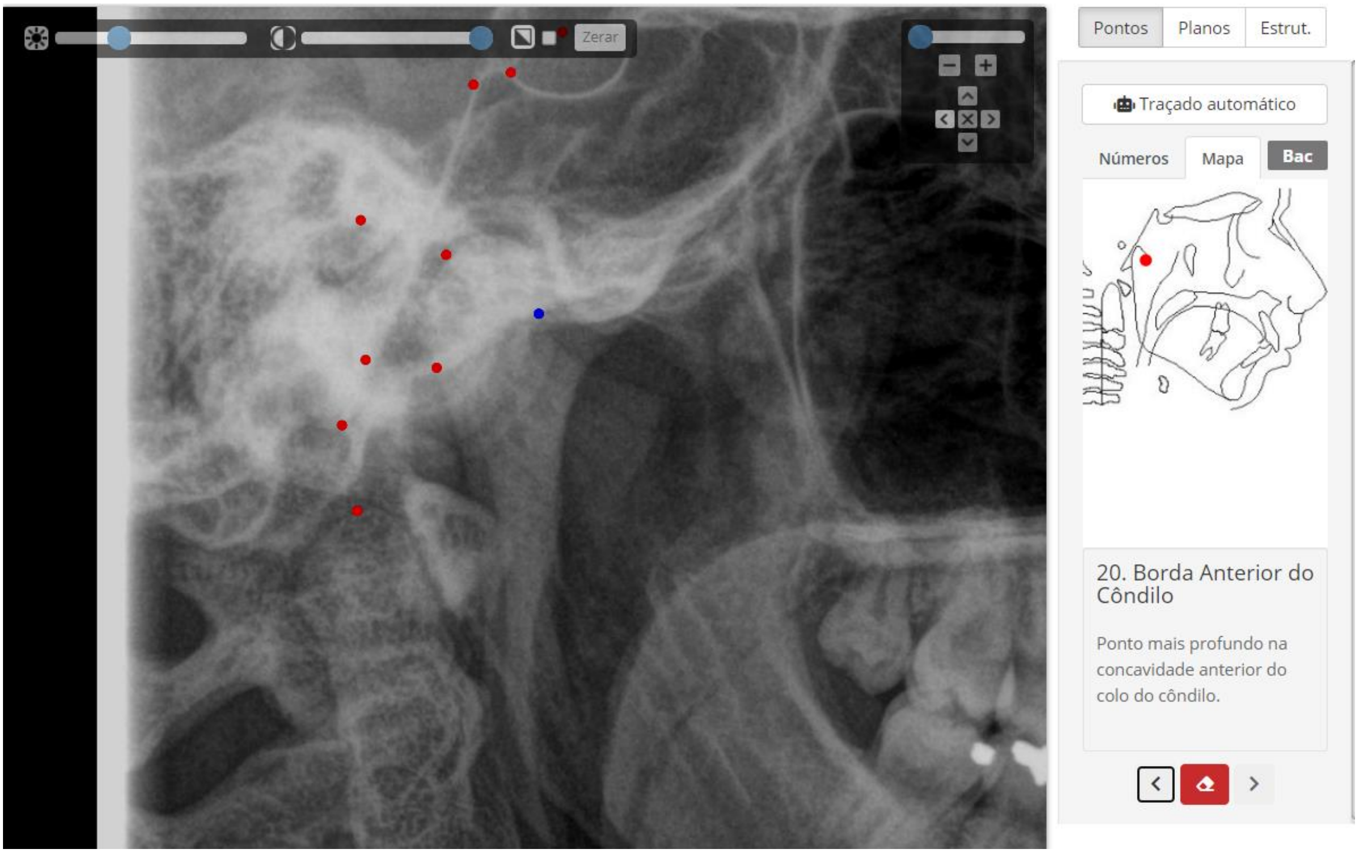
MARCANDO OS PONTOS:



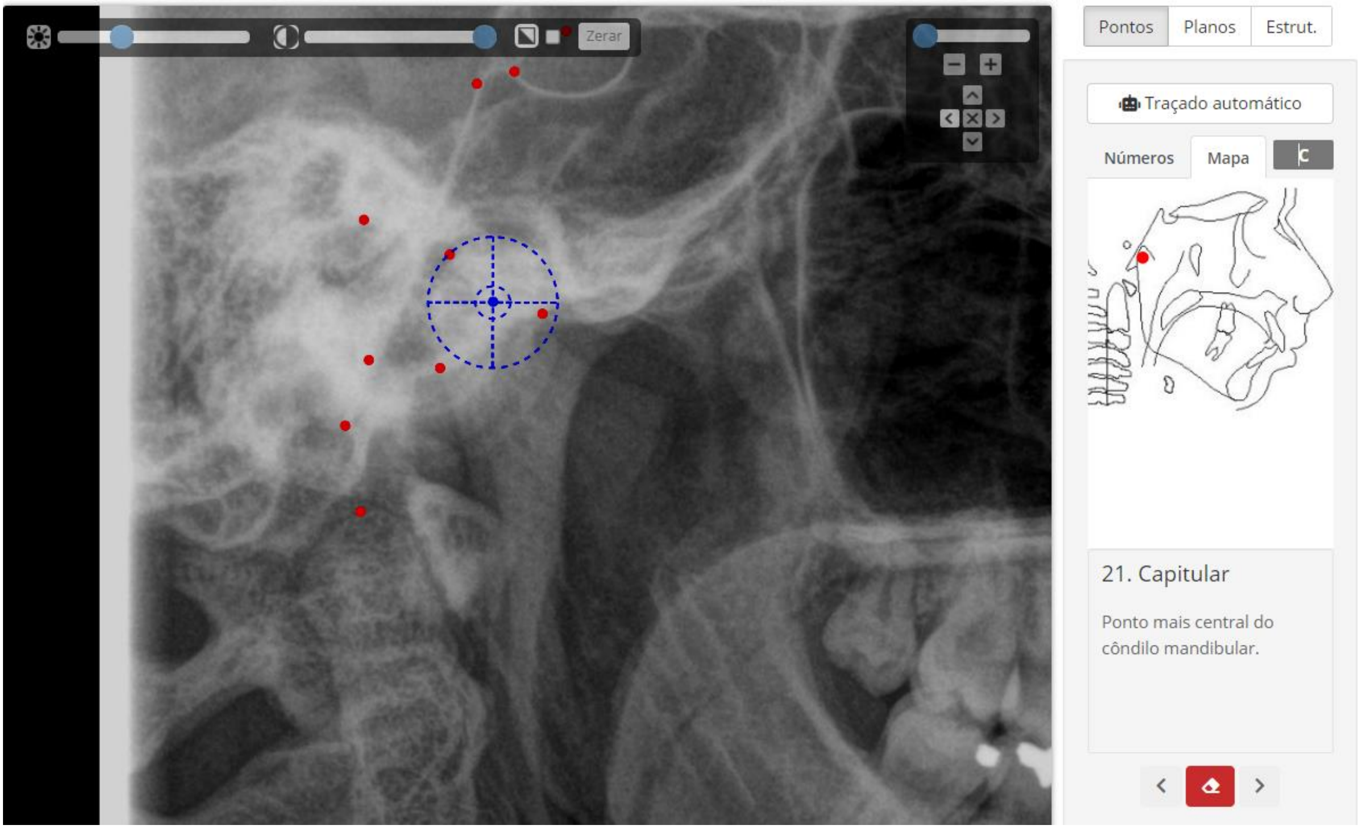
MARCANDO OS PONTOS:



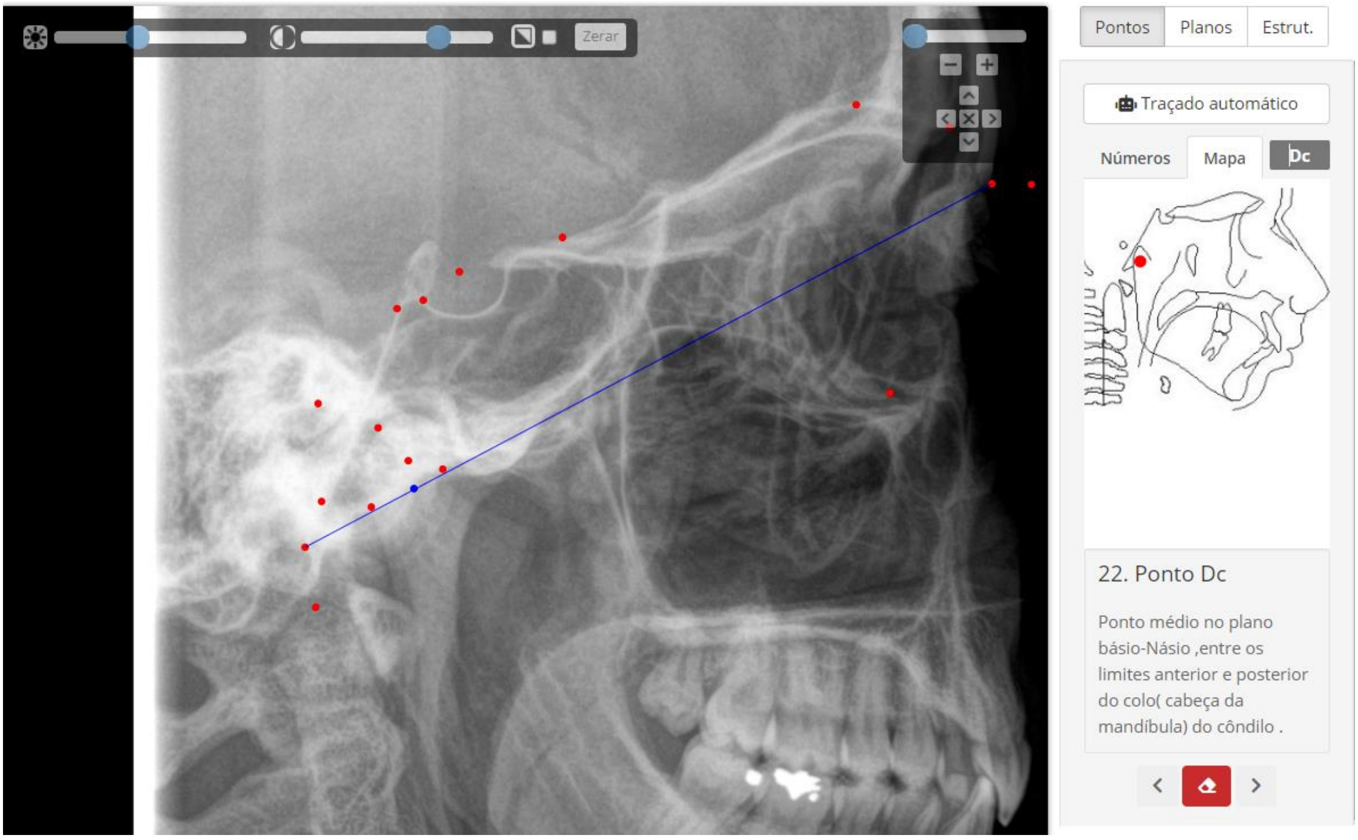
MARCANDO OS PONTOS:



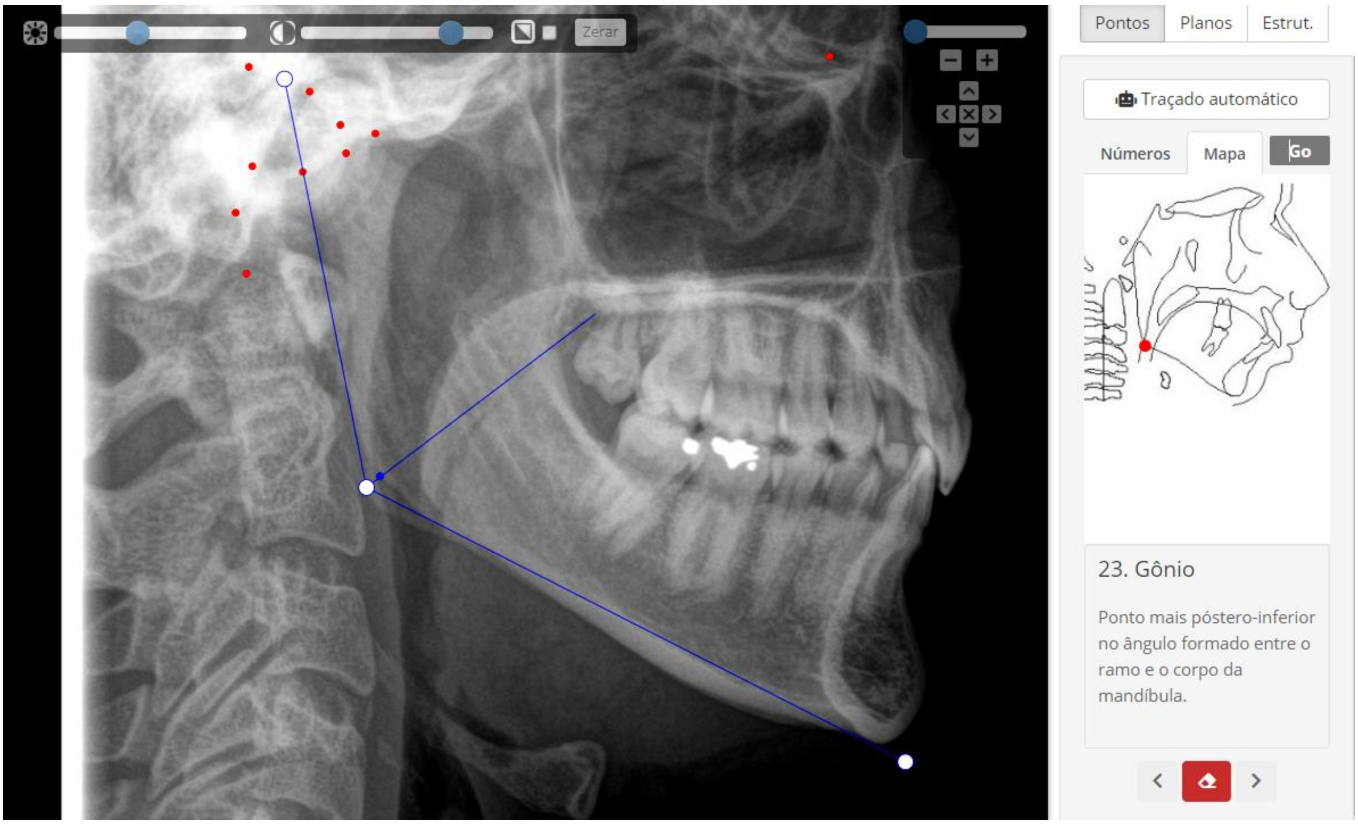
MARCANDO OS PONTOS:



MARCANDO OS PONTOS:



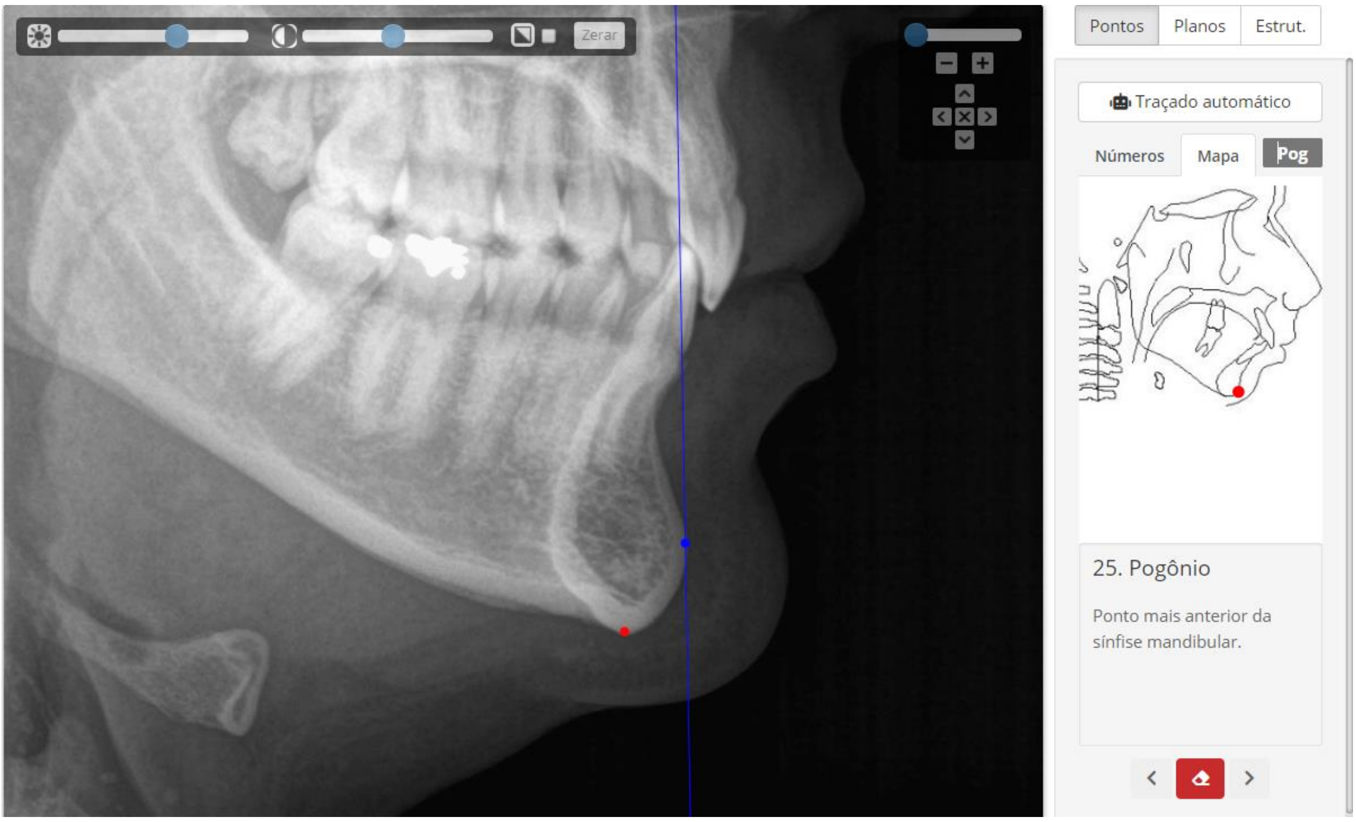
MARCANDO OS PONTOS:



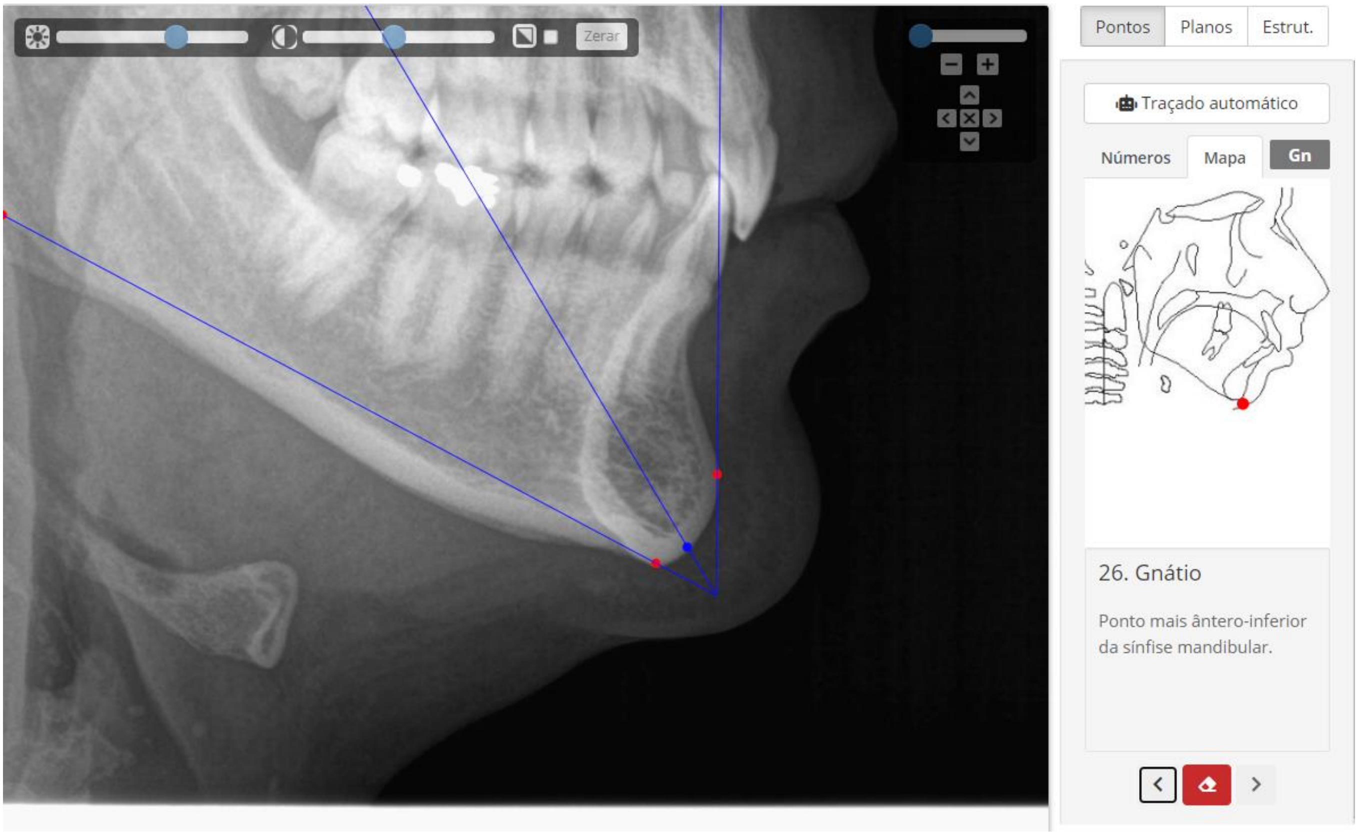
MARCANDO OS PONTOS:



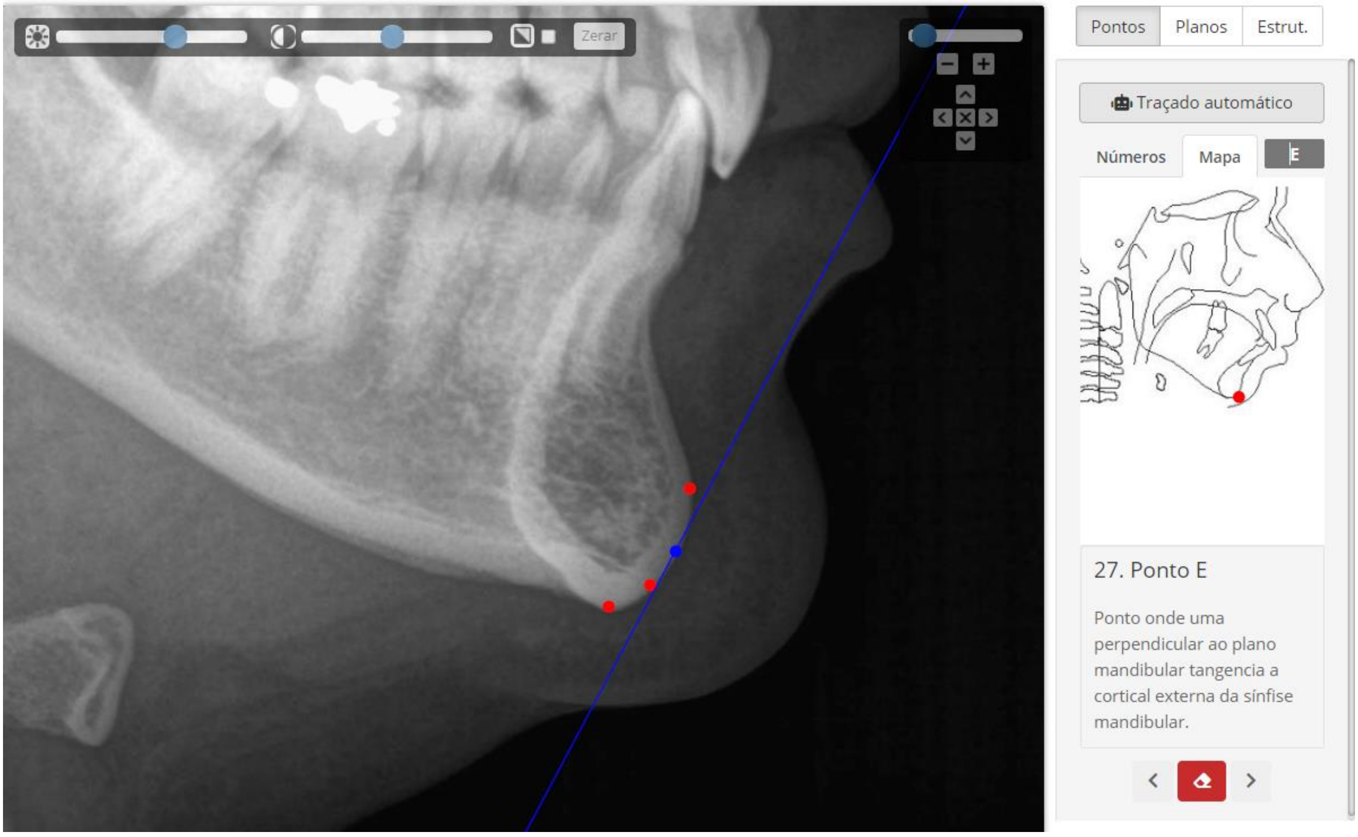
MARCANDO OS PONTOS:



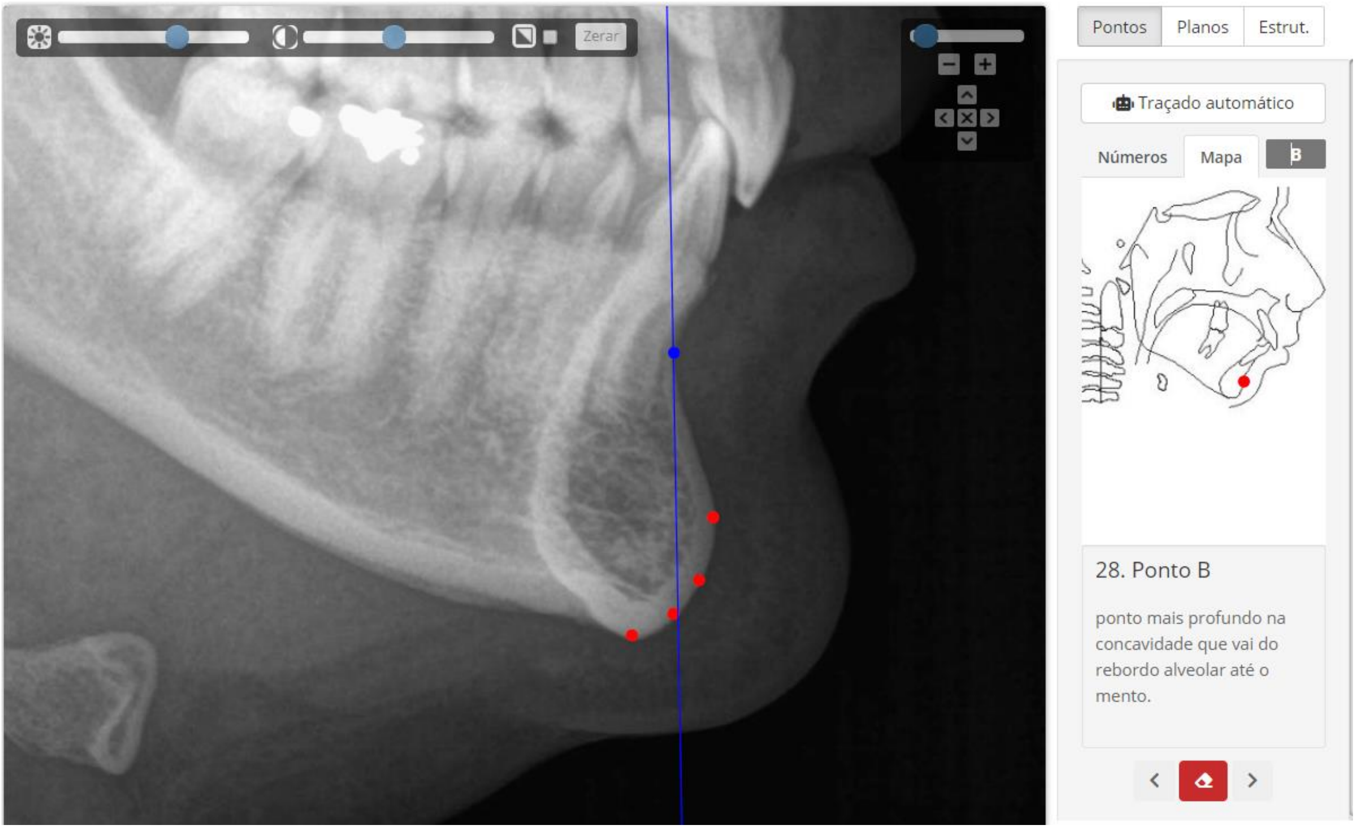
MARCANDO OS PONTOS:



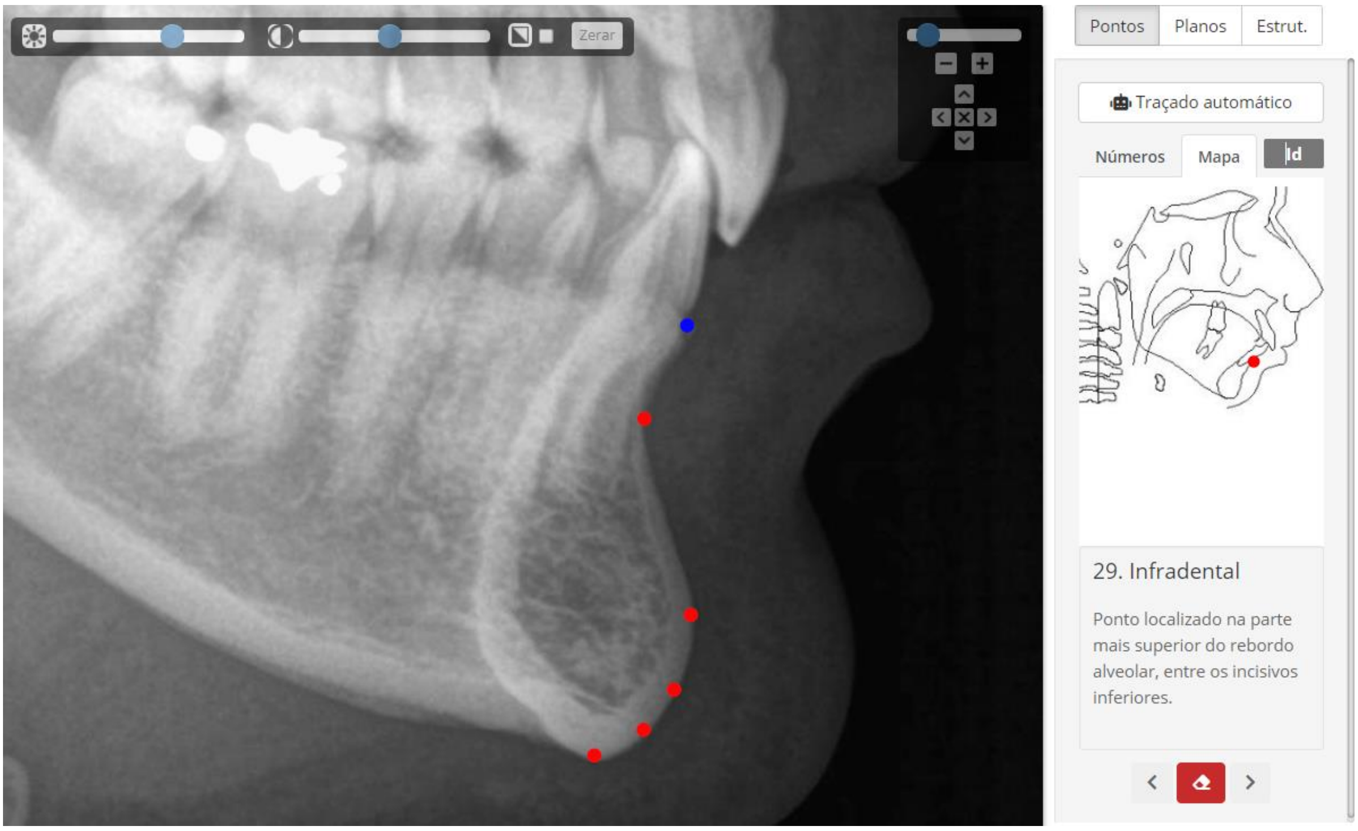
MARCANDO OS PONTOS:



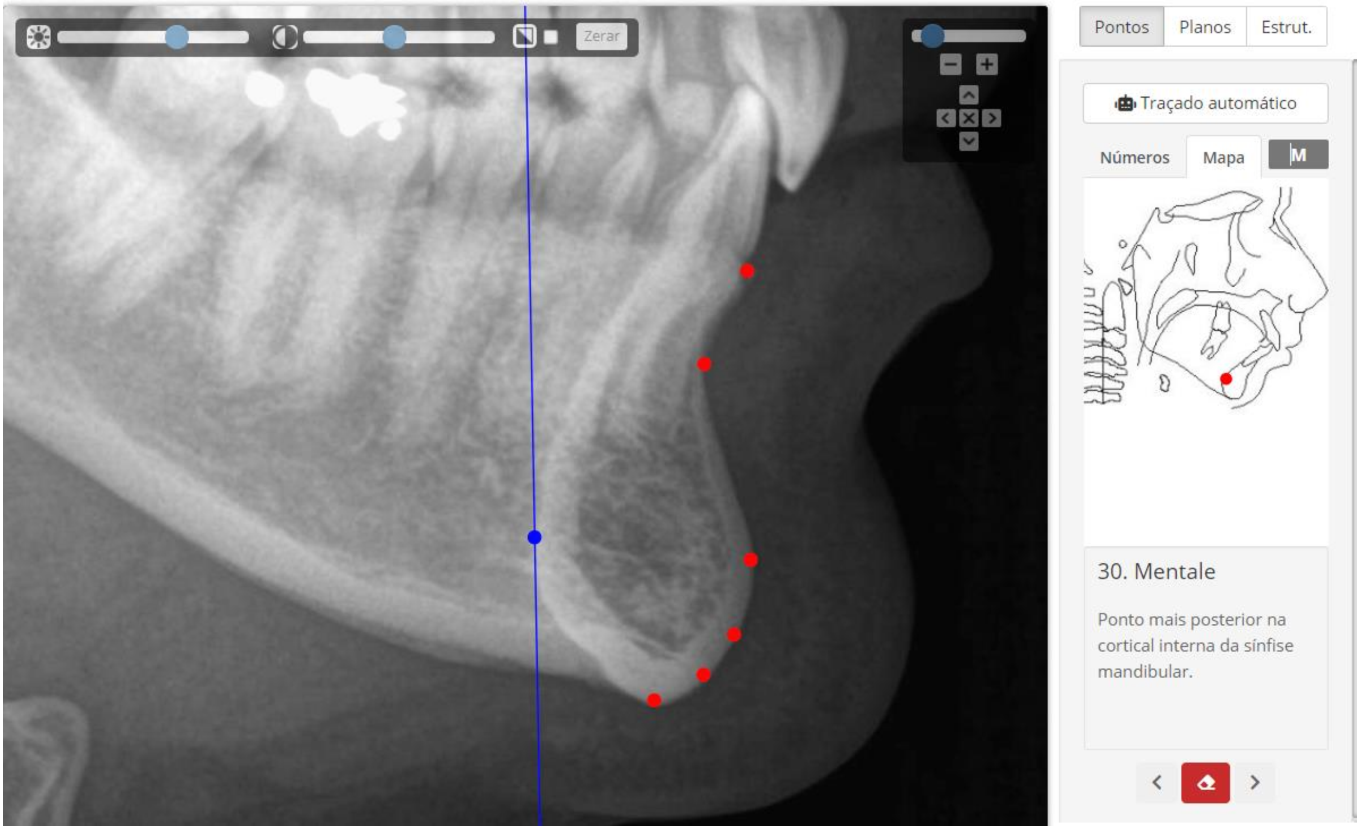
MARCANDO OS PONTOS:



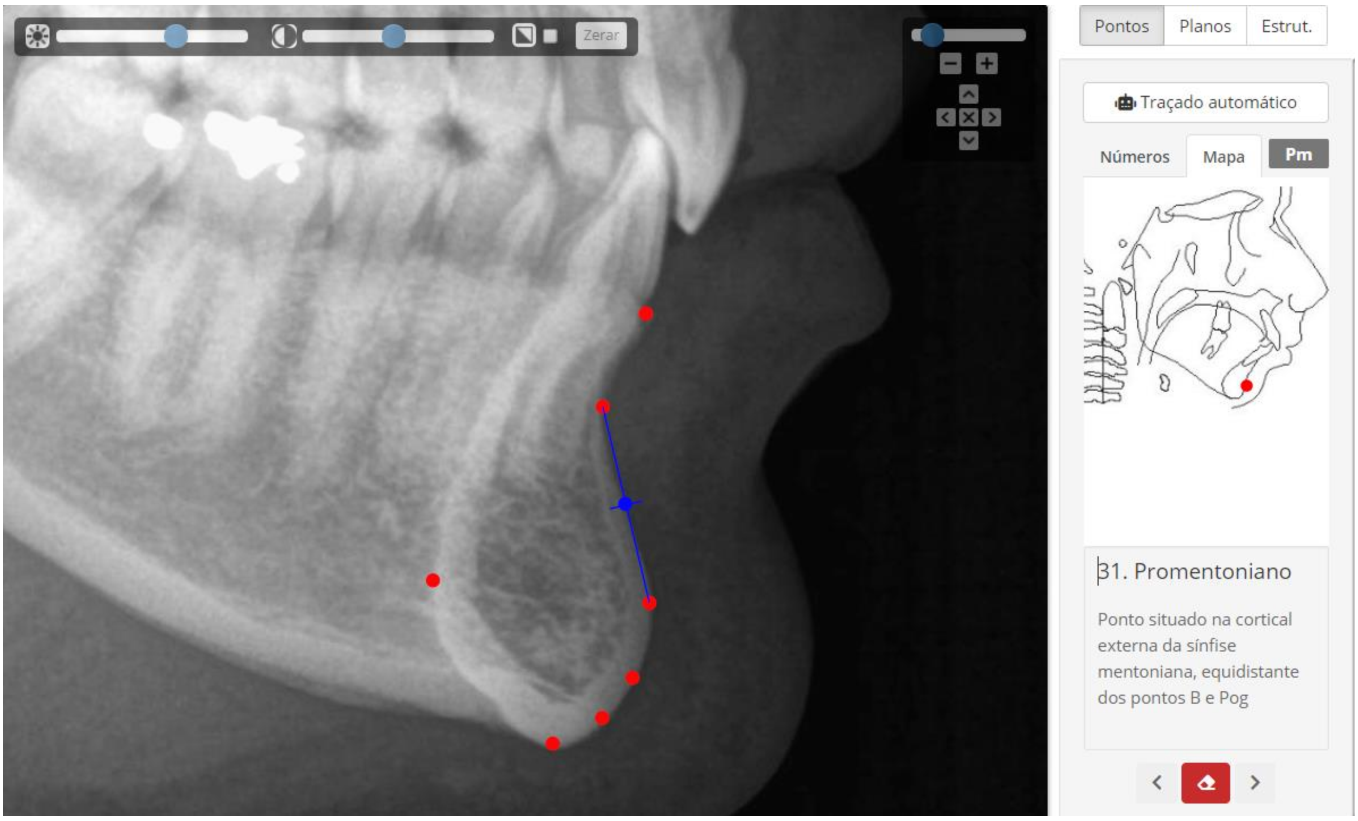
MARCANDO OS PONTOS:



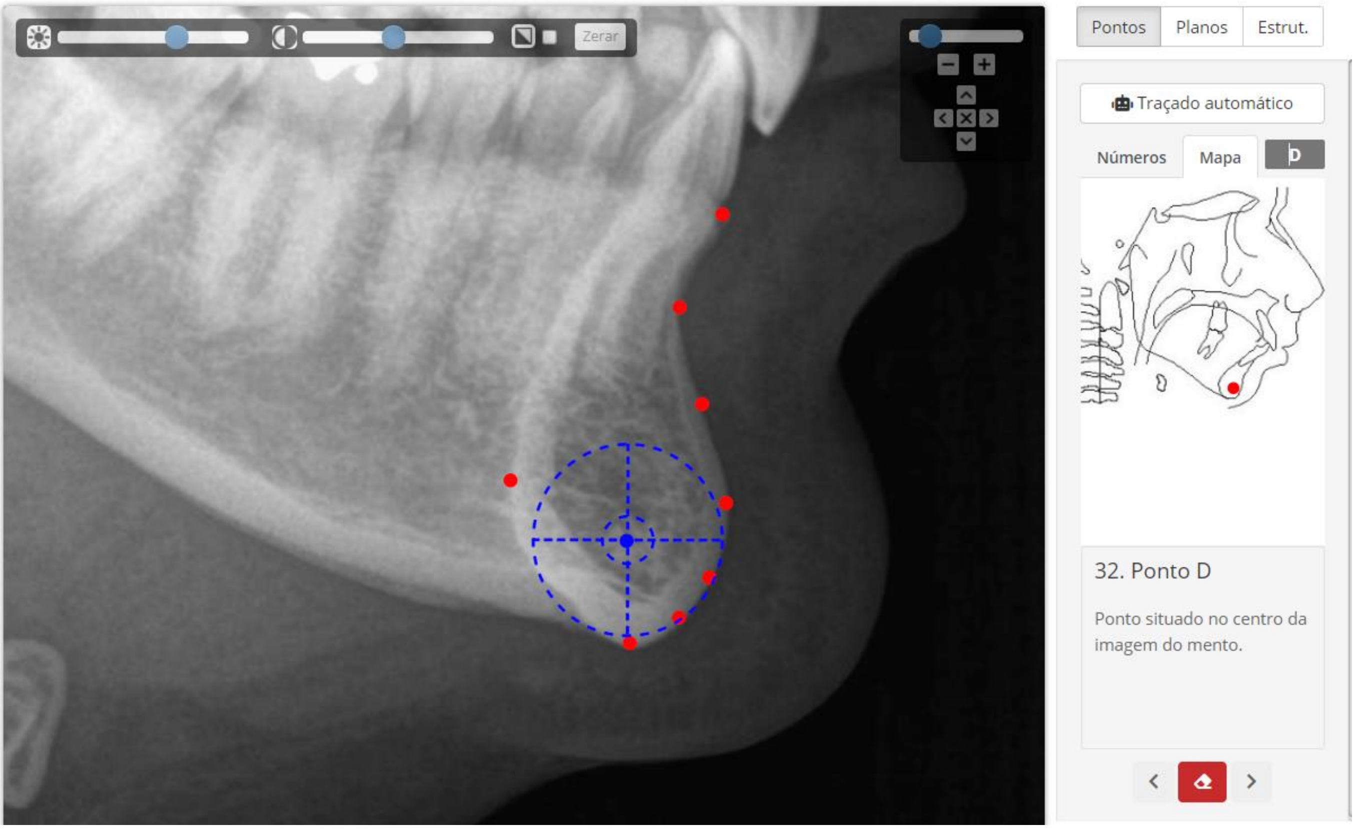
MARCANDO OS PONTOS:



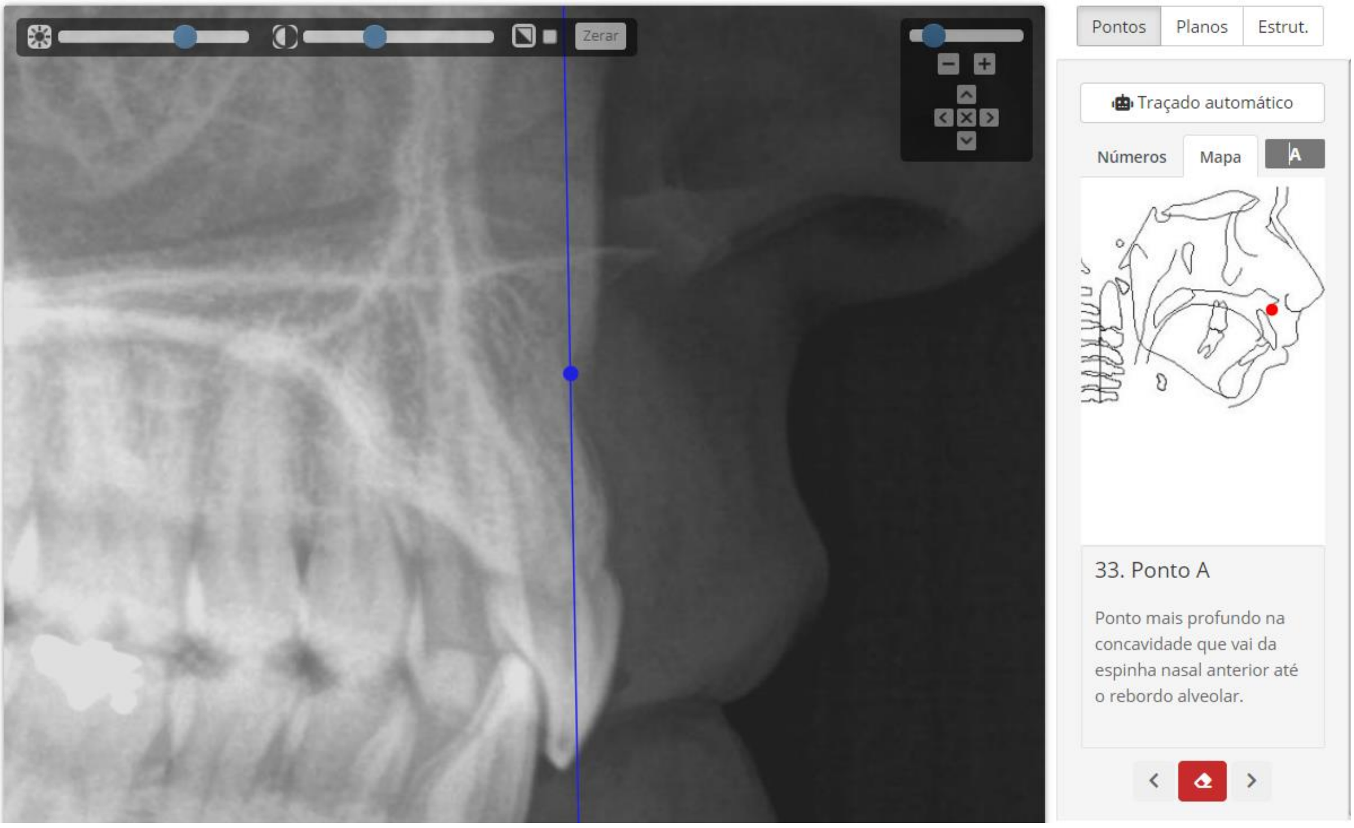
MARCANDO OS PONTOS:



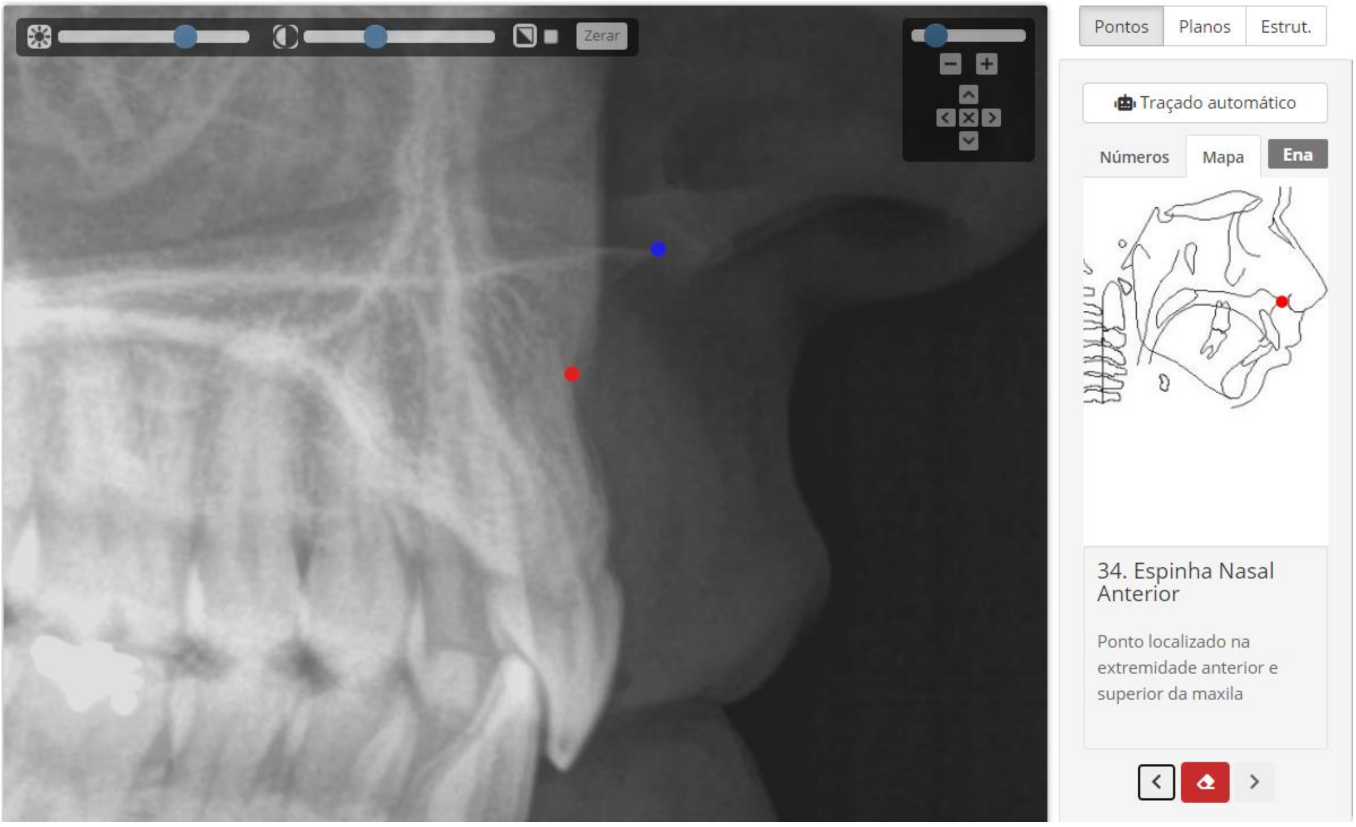
MARCANDO OS PONTOS:



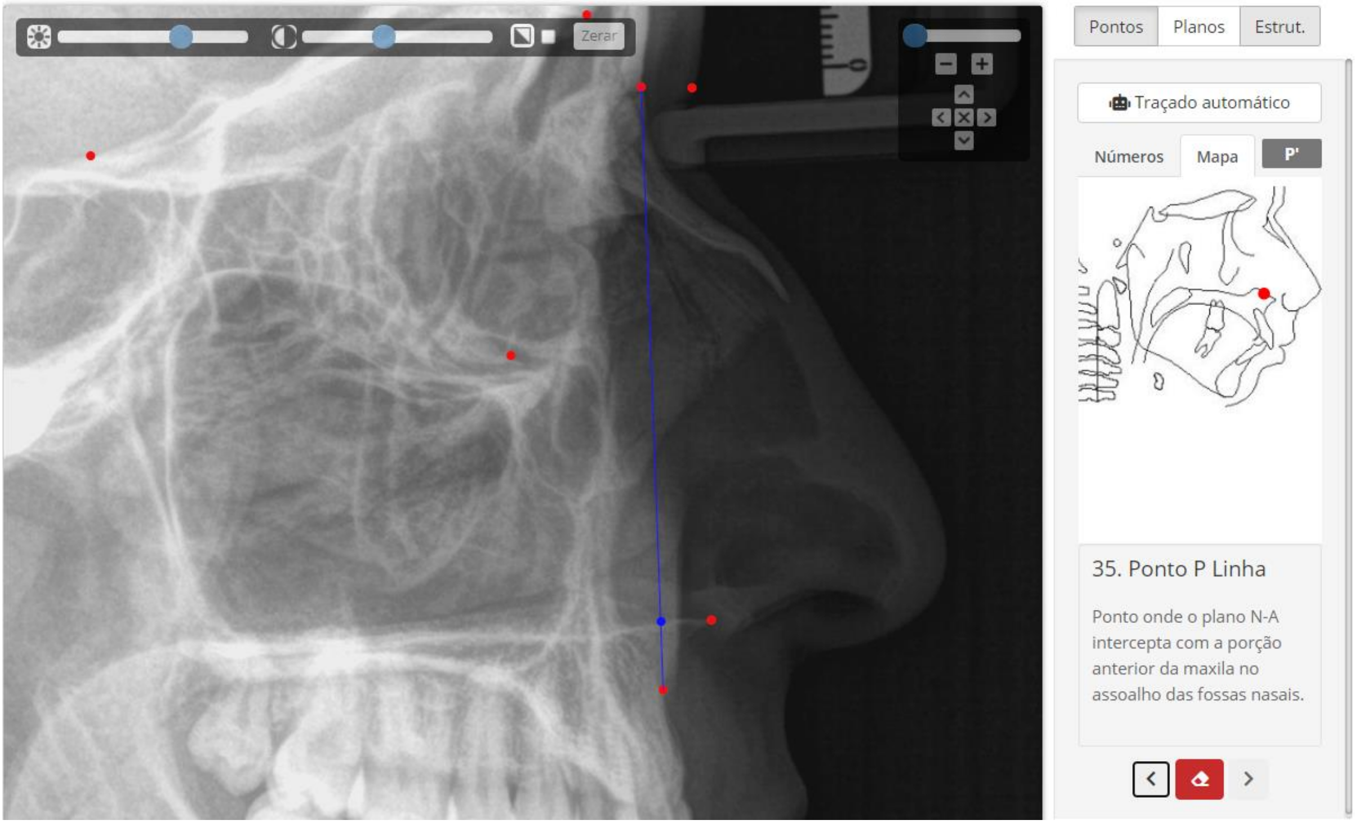
MARCANDO OS PONTOS:



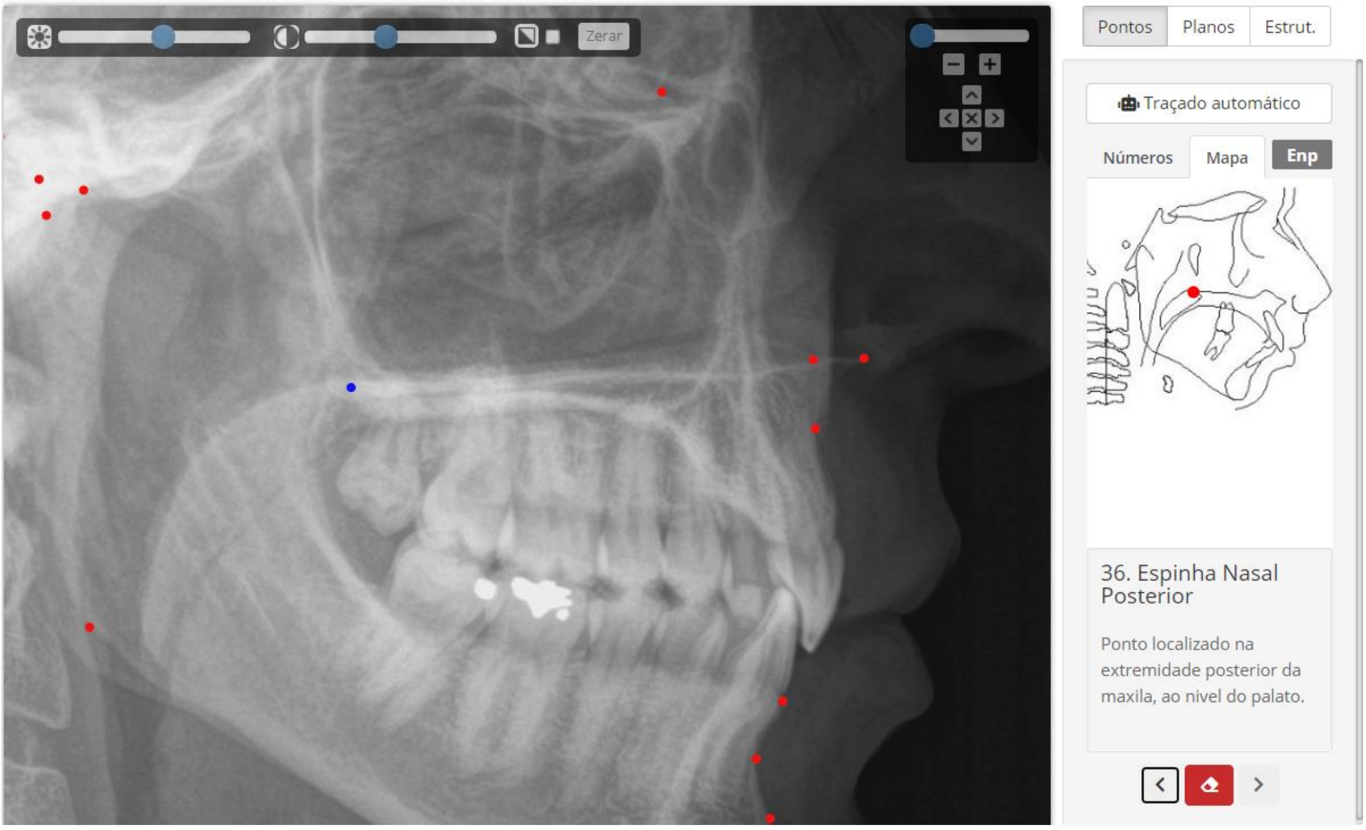
MARCANDO OS PONTOS:



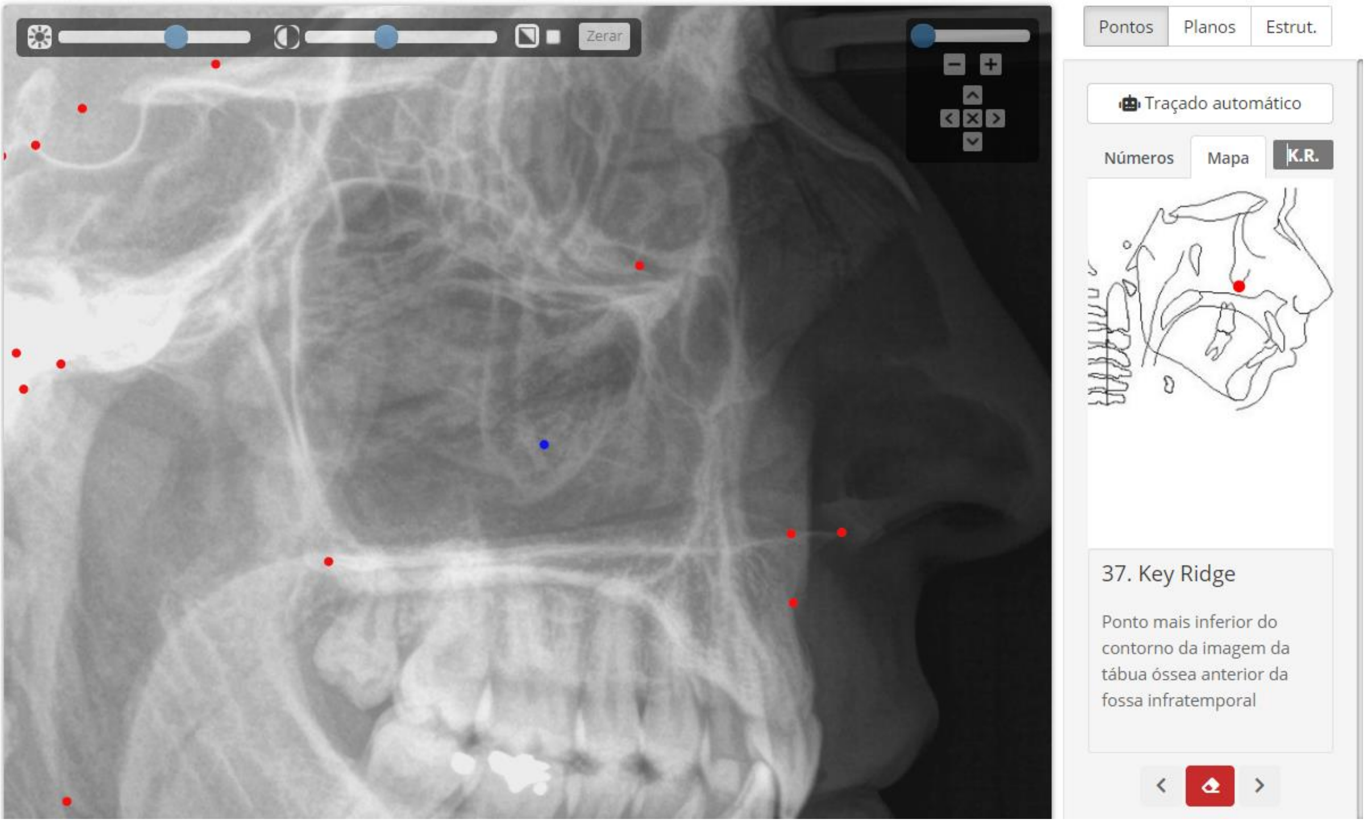
MARCANDO OS PONTOS:



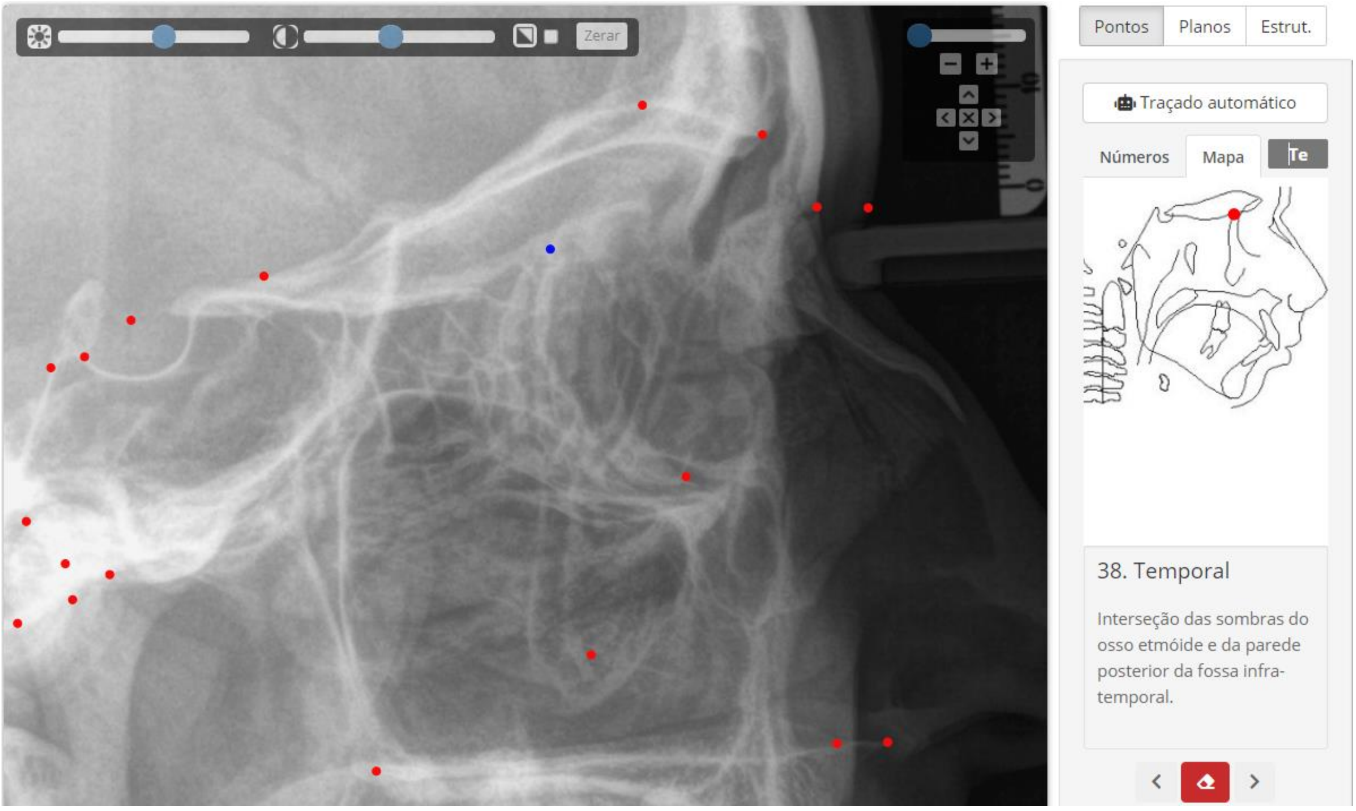
MARCANDO OS PONTOS:



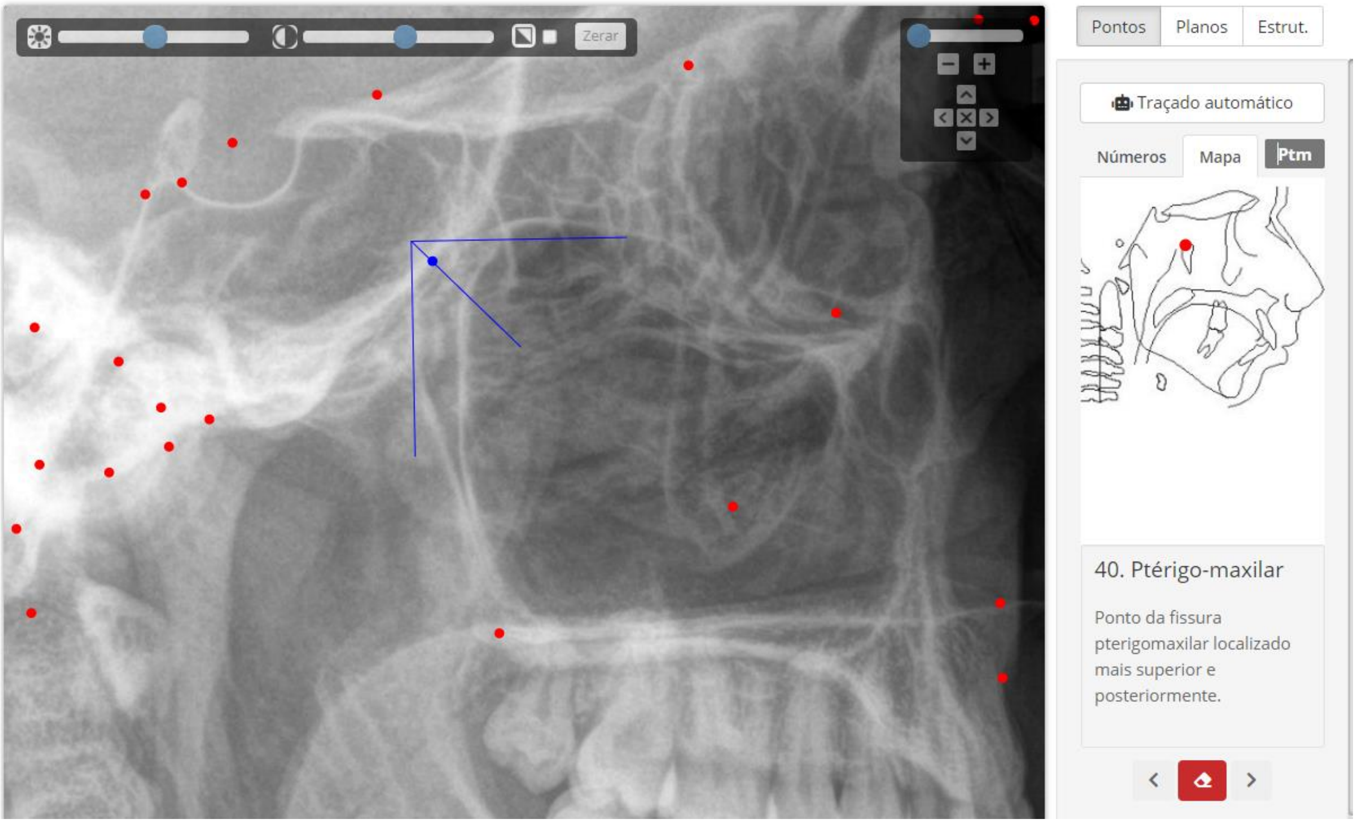
MARCANDO OS PONTOS:



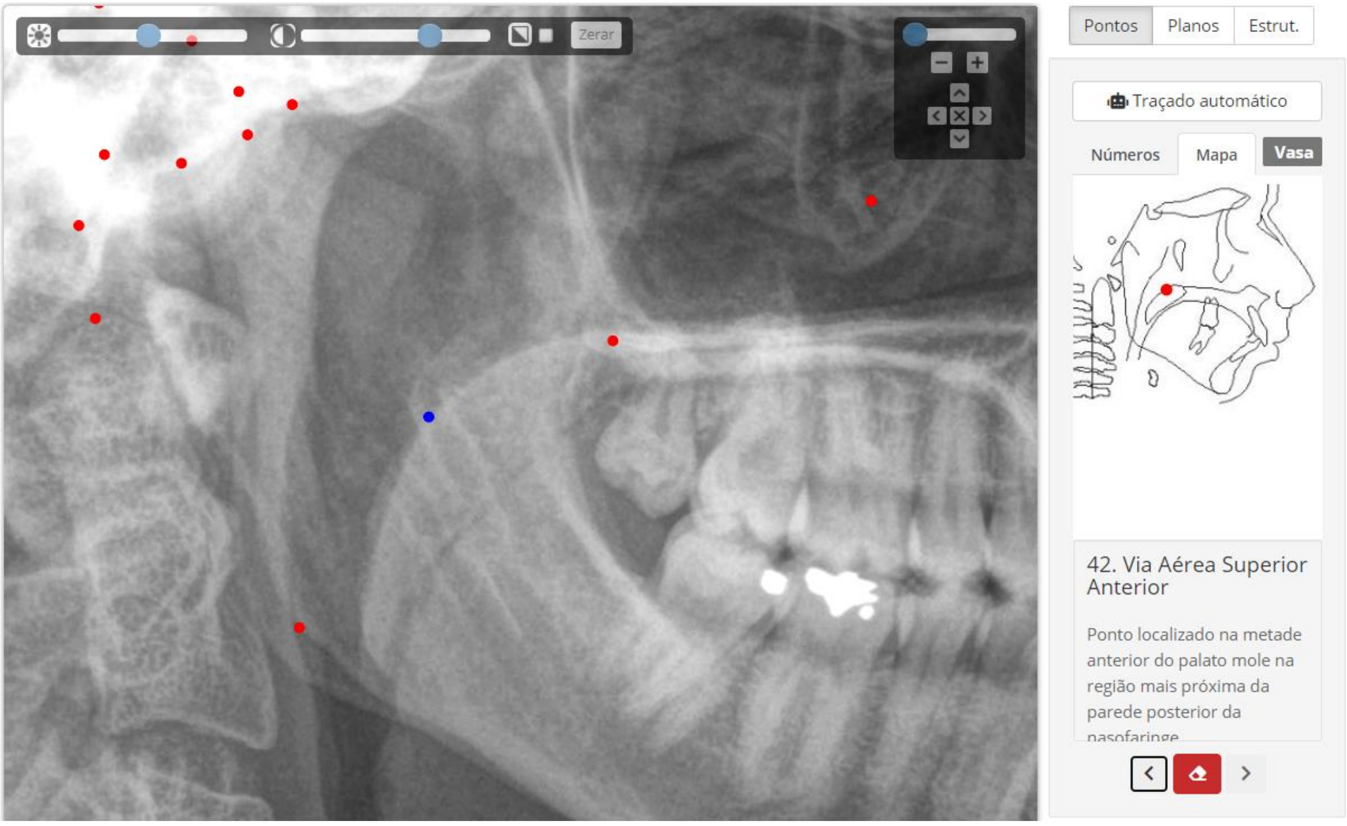
MARCANDO OS PONTOS:



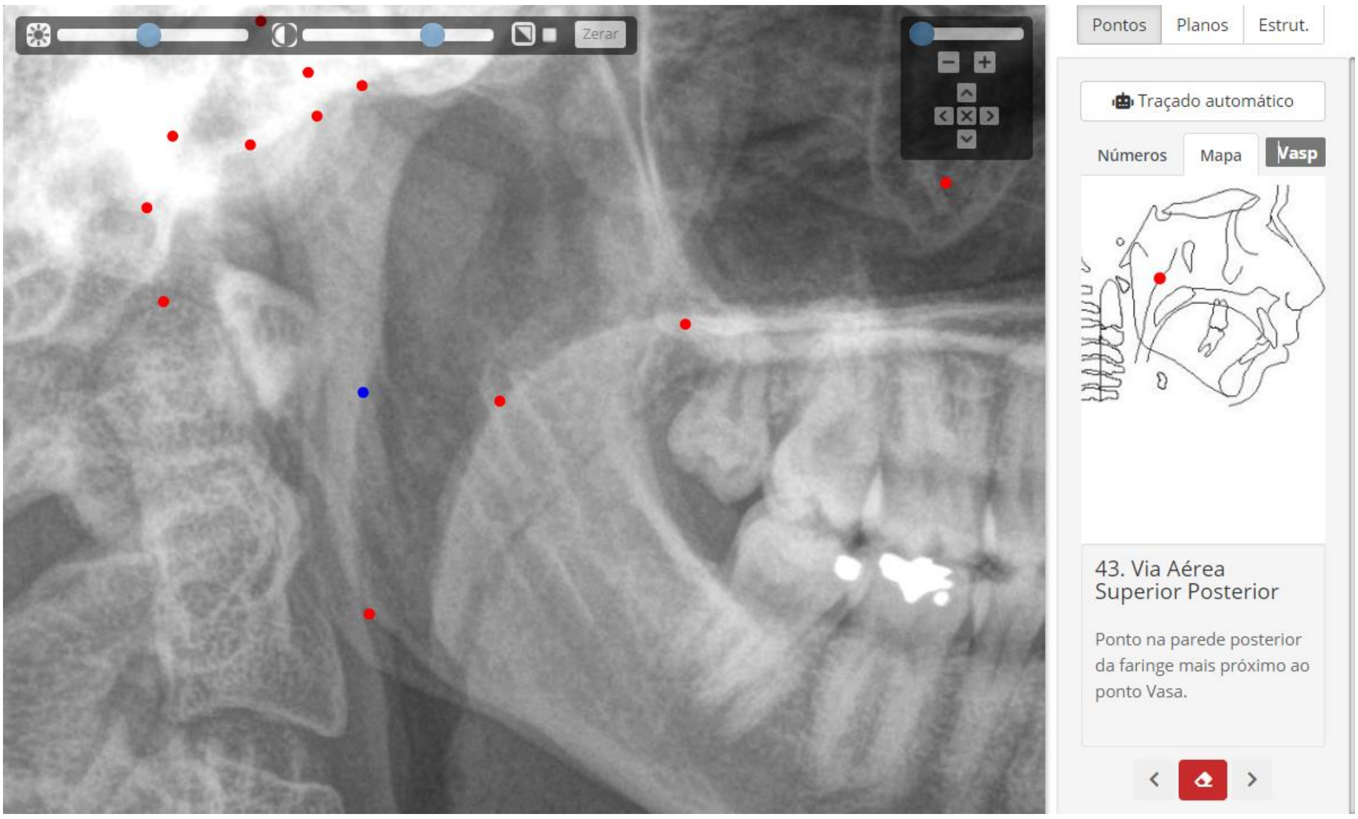
MARCANDO OS PONTOS:



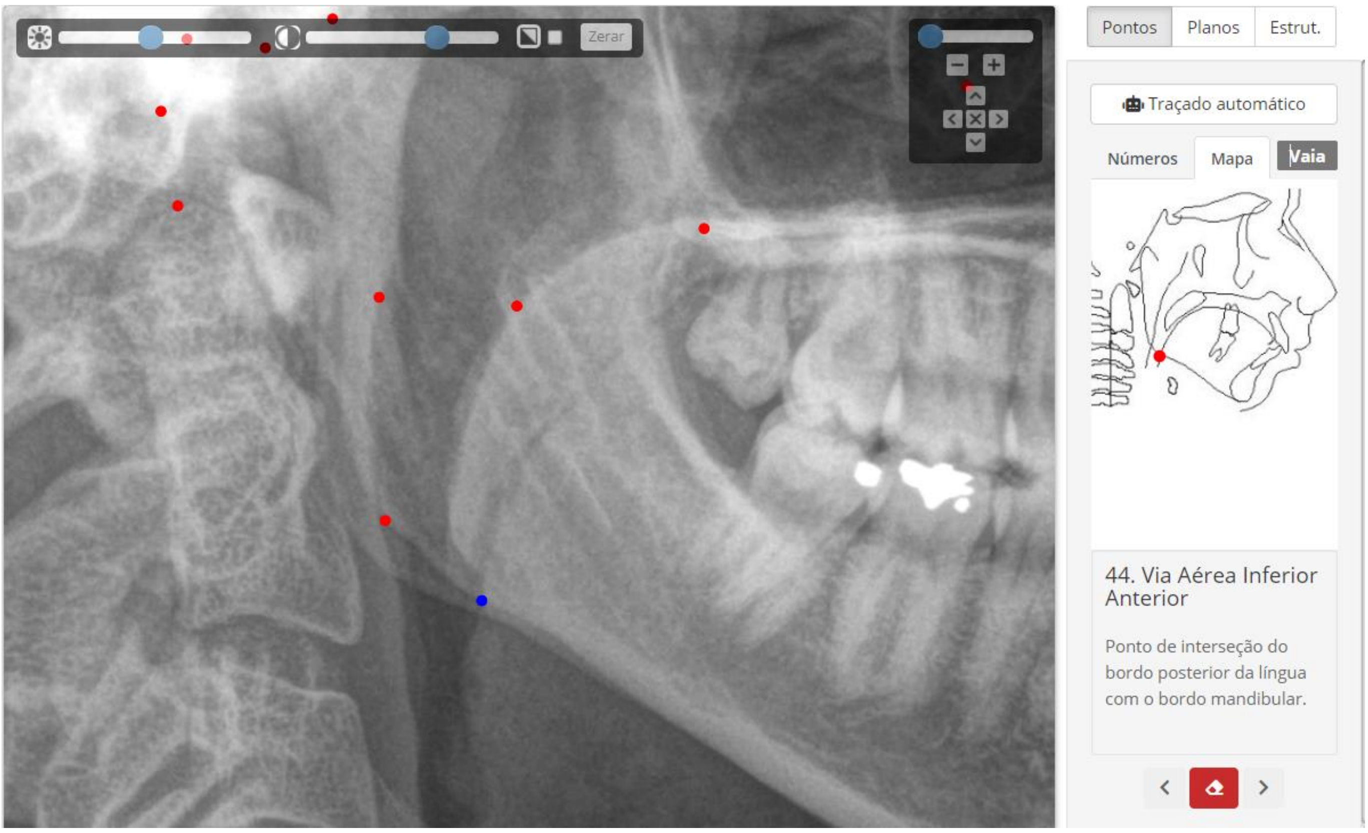
MARCANDO OS PONTOS:



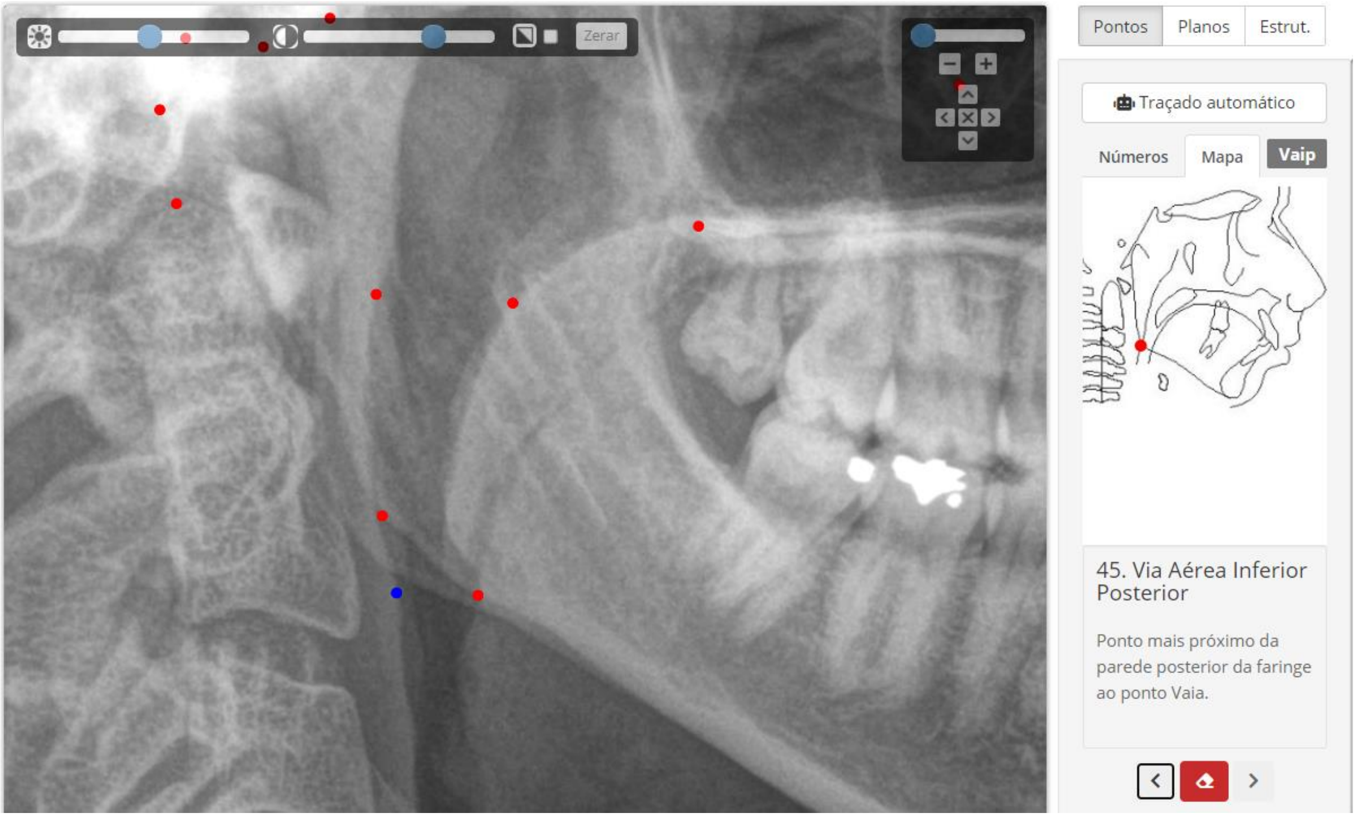
MARCANDO OS PONTOS:



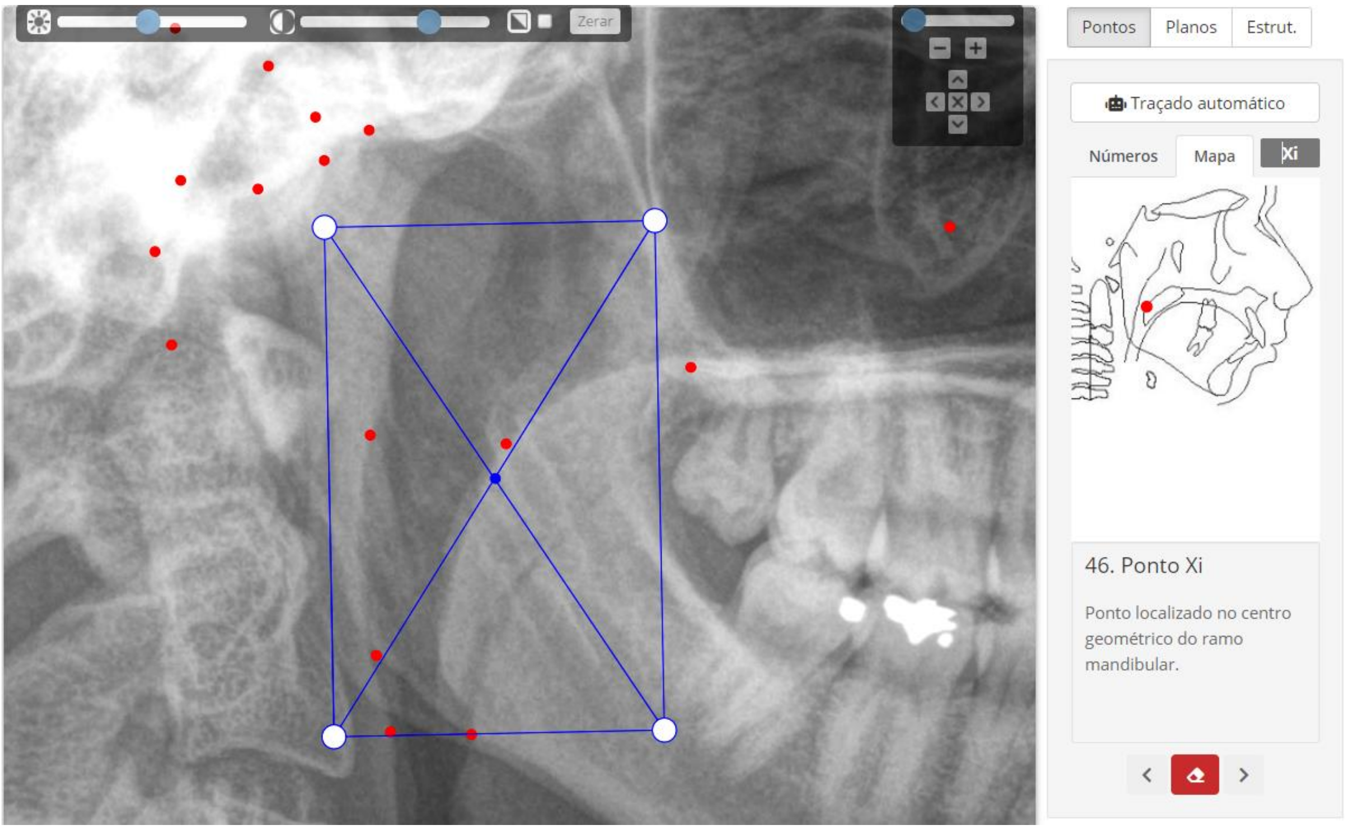
MARCANDO OS PONTOS:



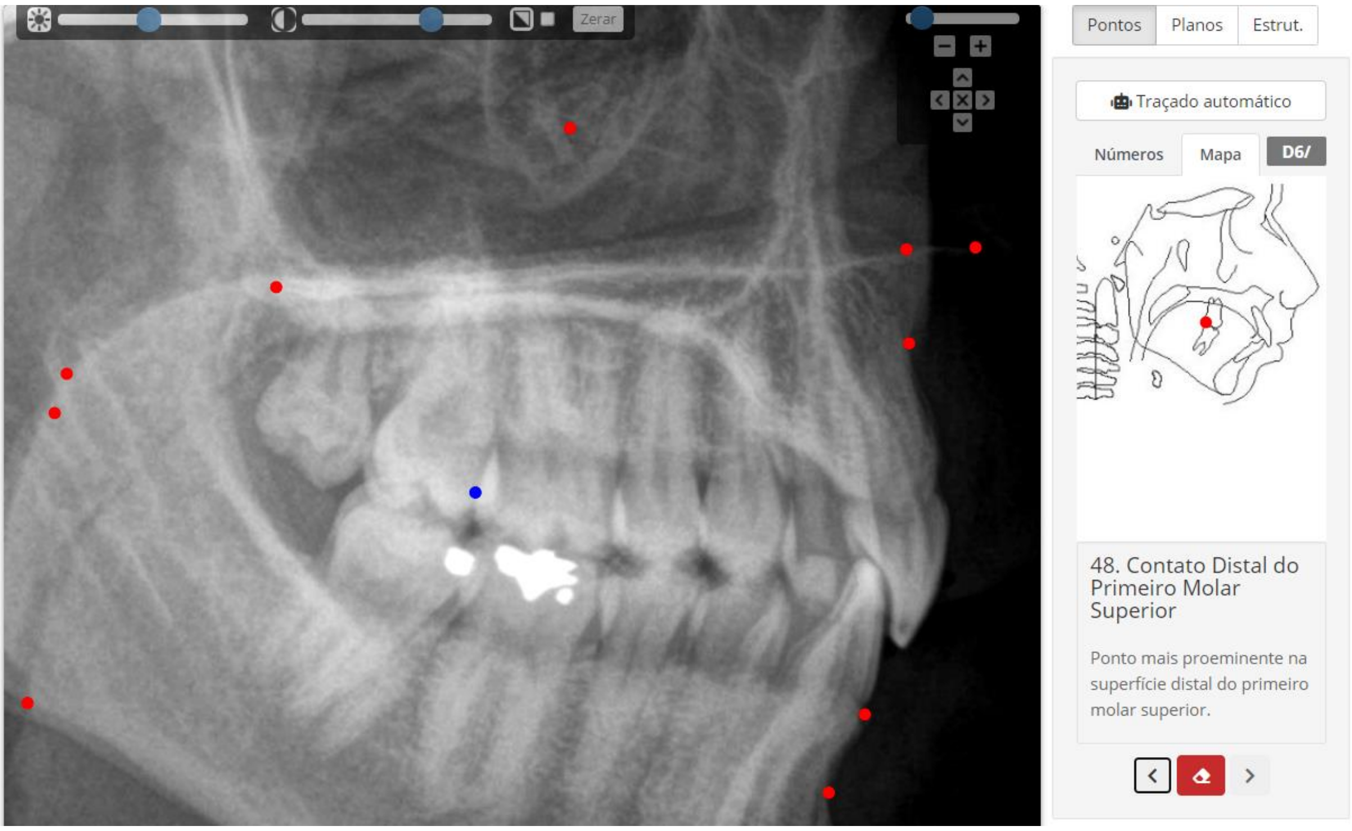
MARCANDO OS PONTOS:



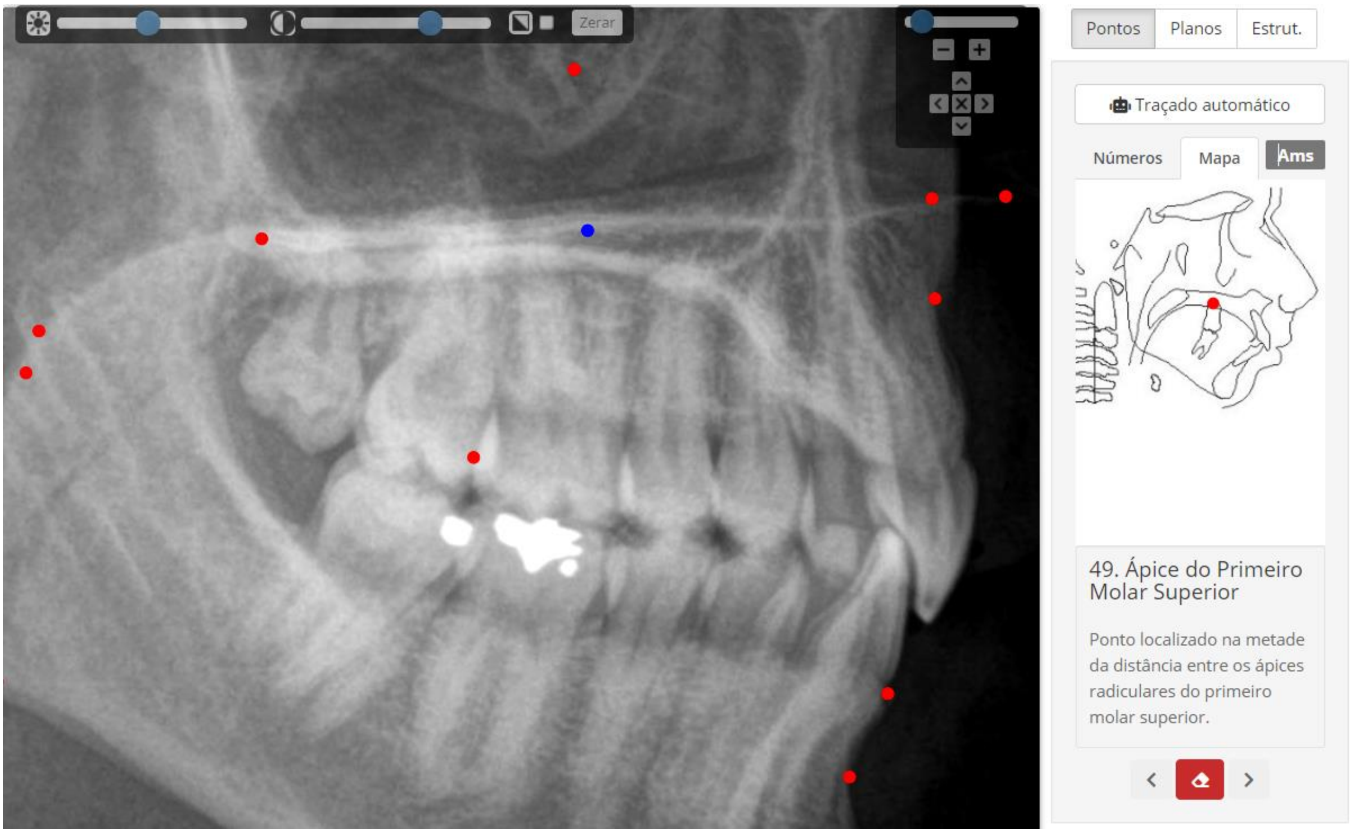
MARCANDO OS PONTOS:



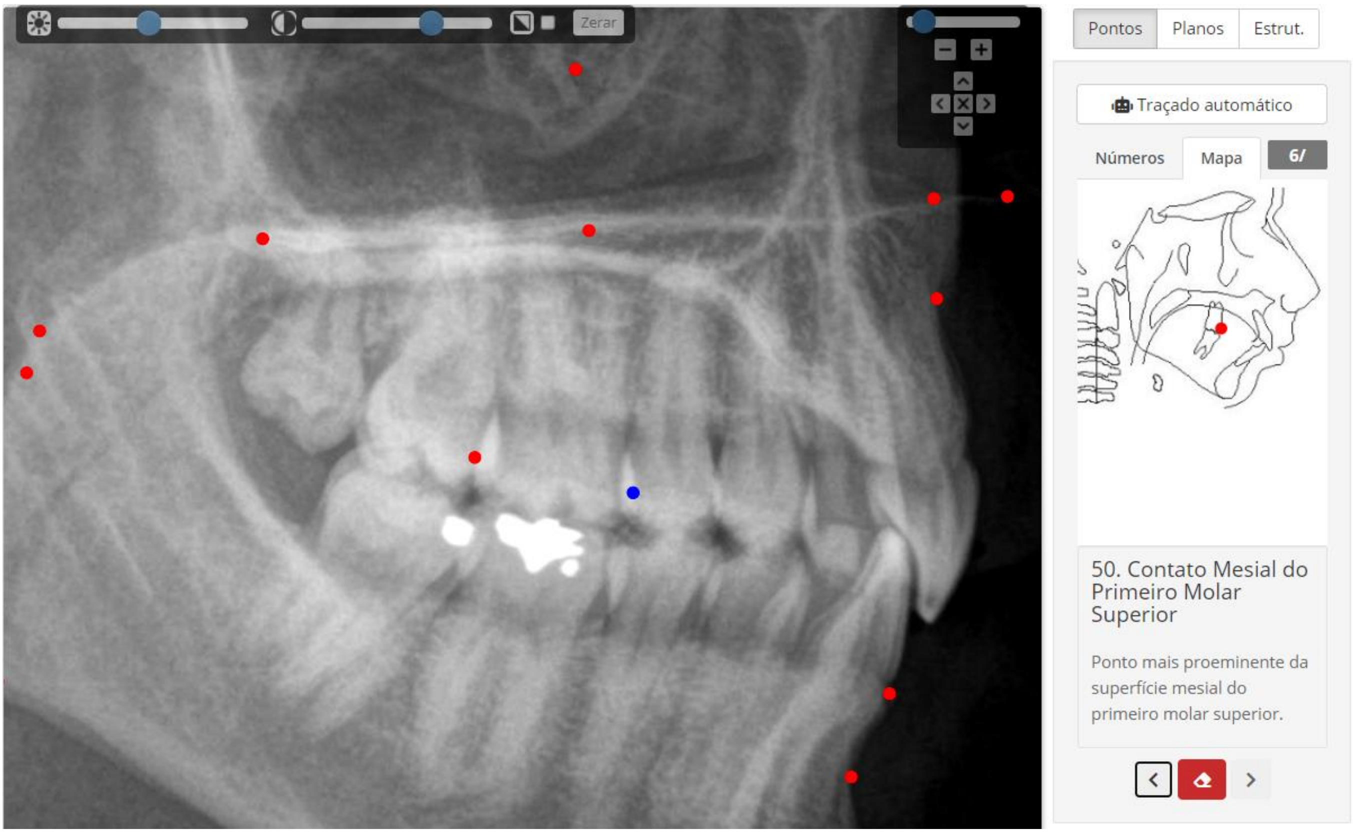
MARCANDO OS PONTOS:



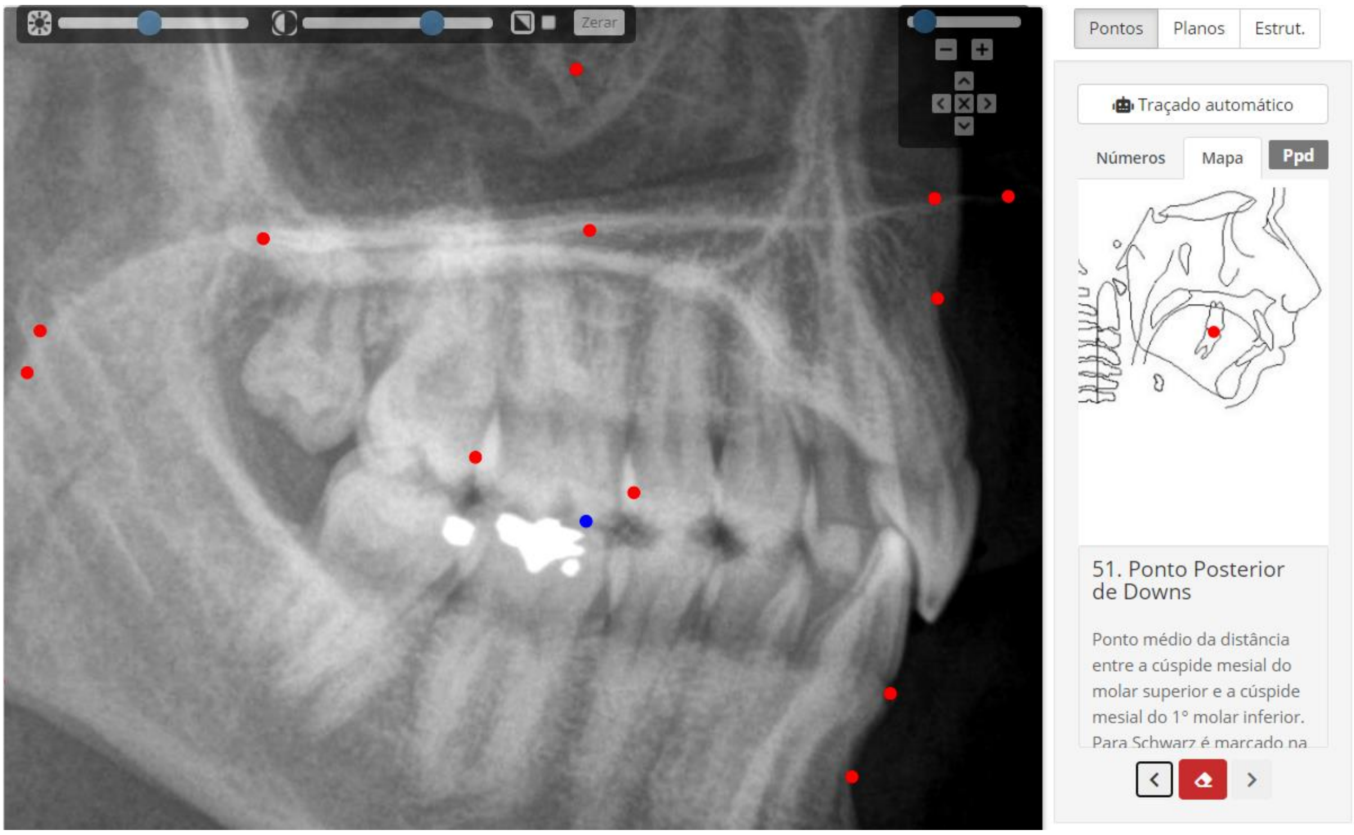
MARCANDO OS PONTOS:



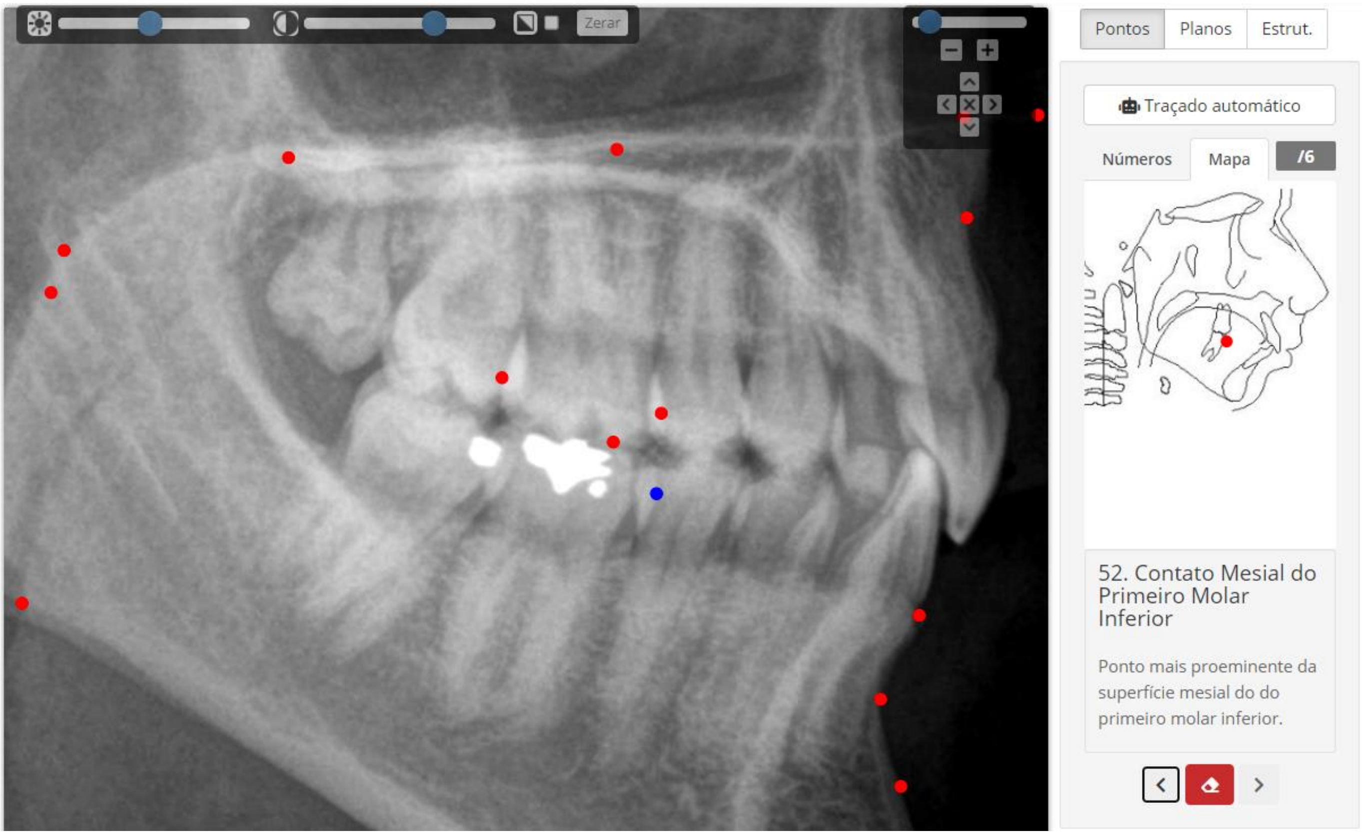
MARCANDO OS PONTOS:



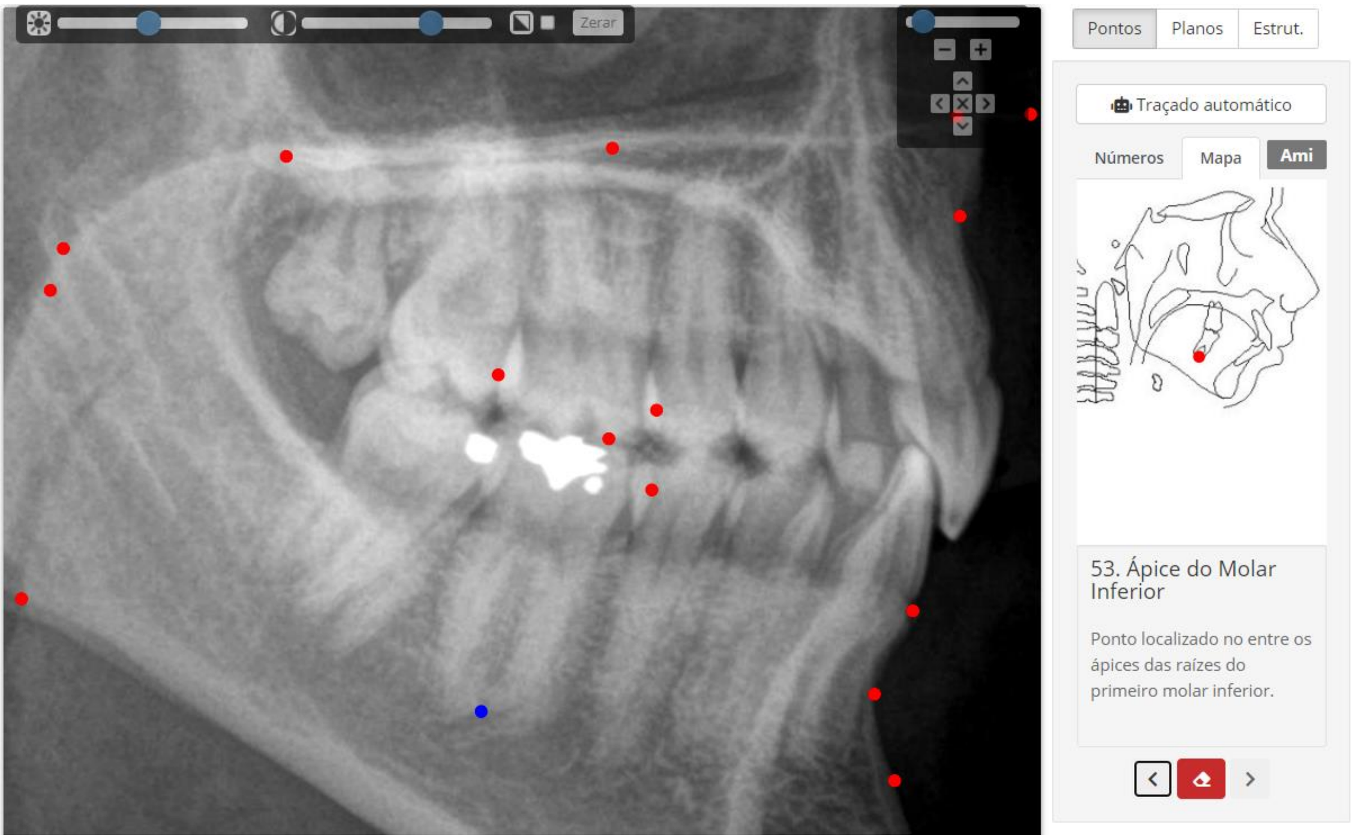
MARCANDO OS PONTOS:



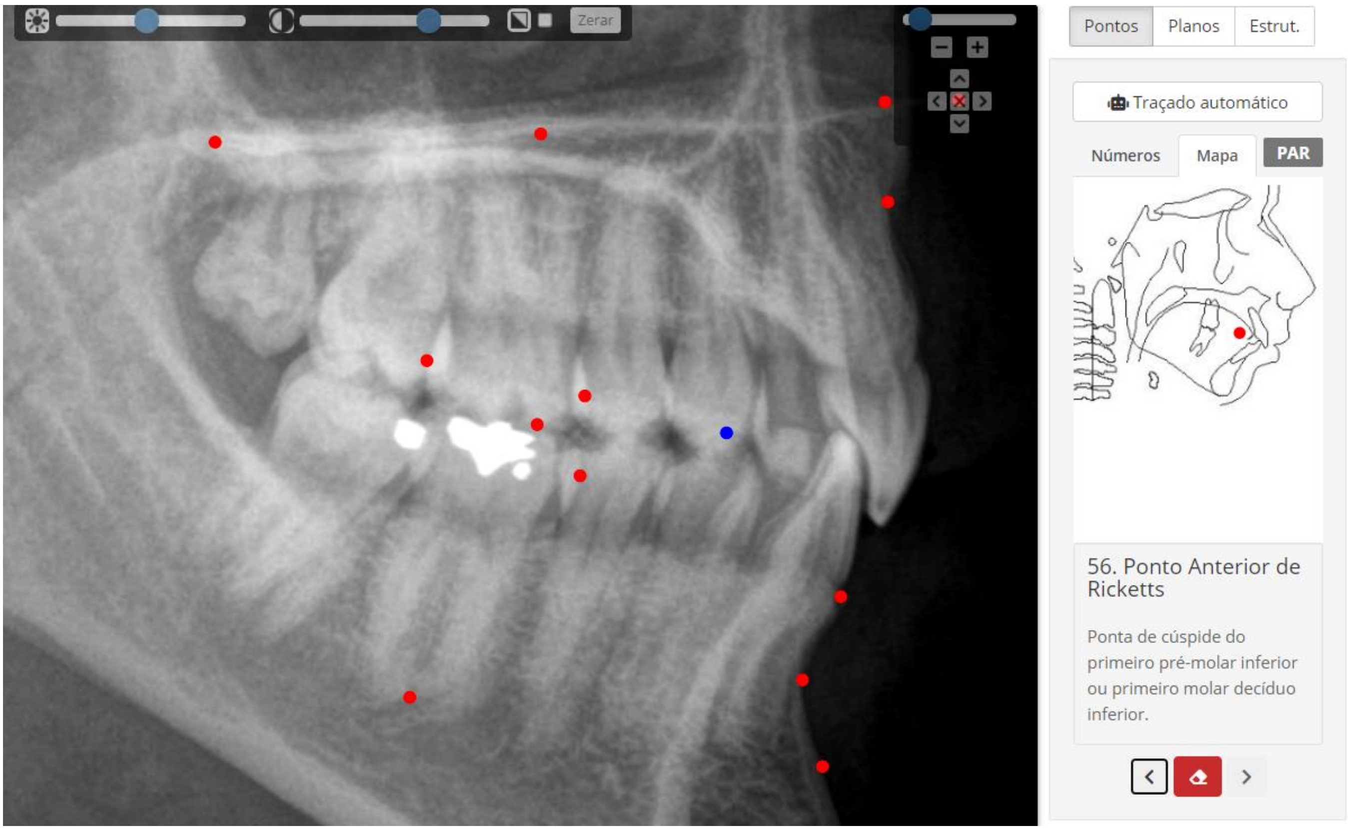
MARCANDO OS PONTOS:



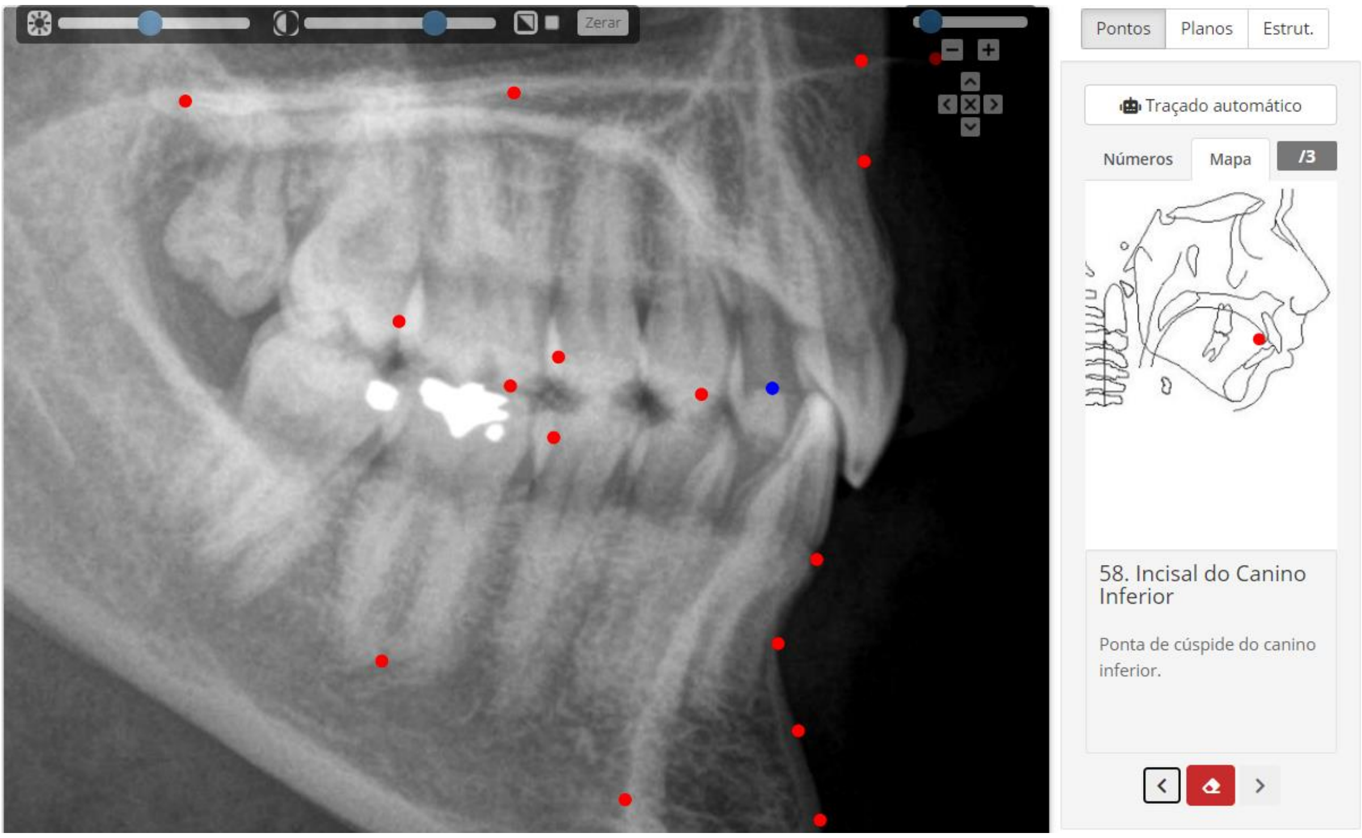
MARCANDO OS PONTOS:



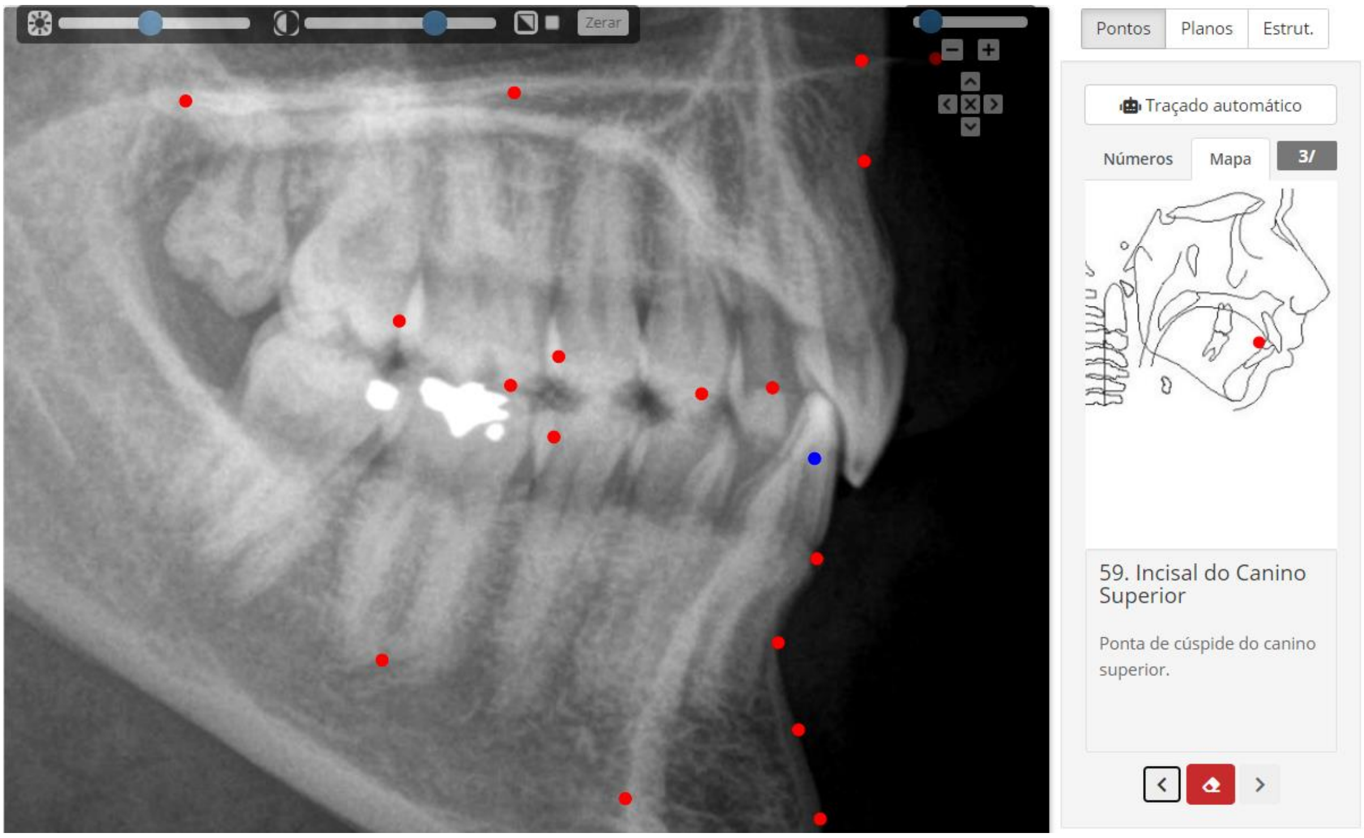
MARCANDO OS PONTOS:



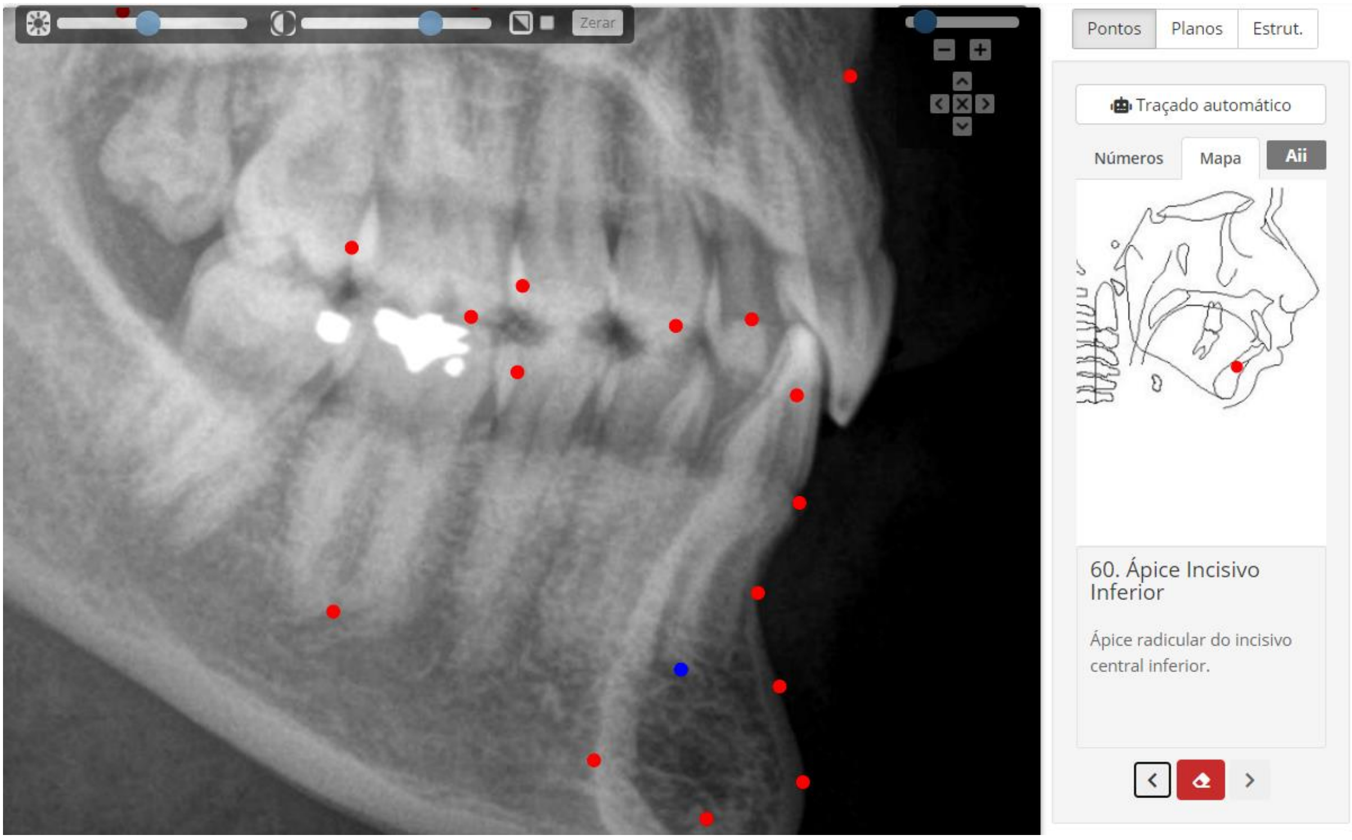
MARCANDO OS PONTOS:



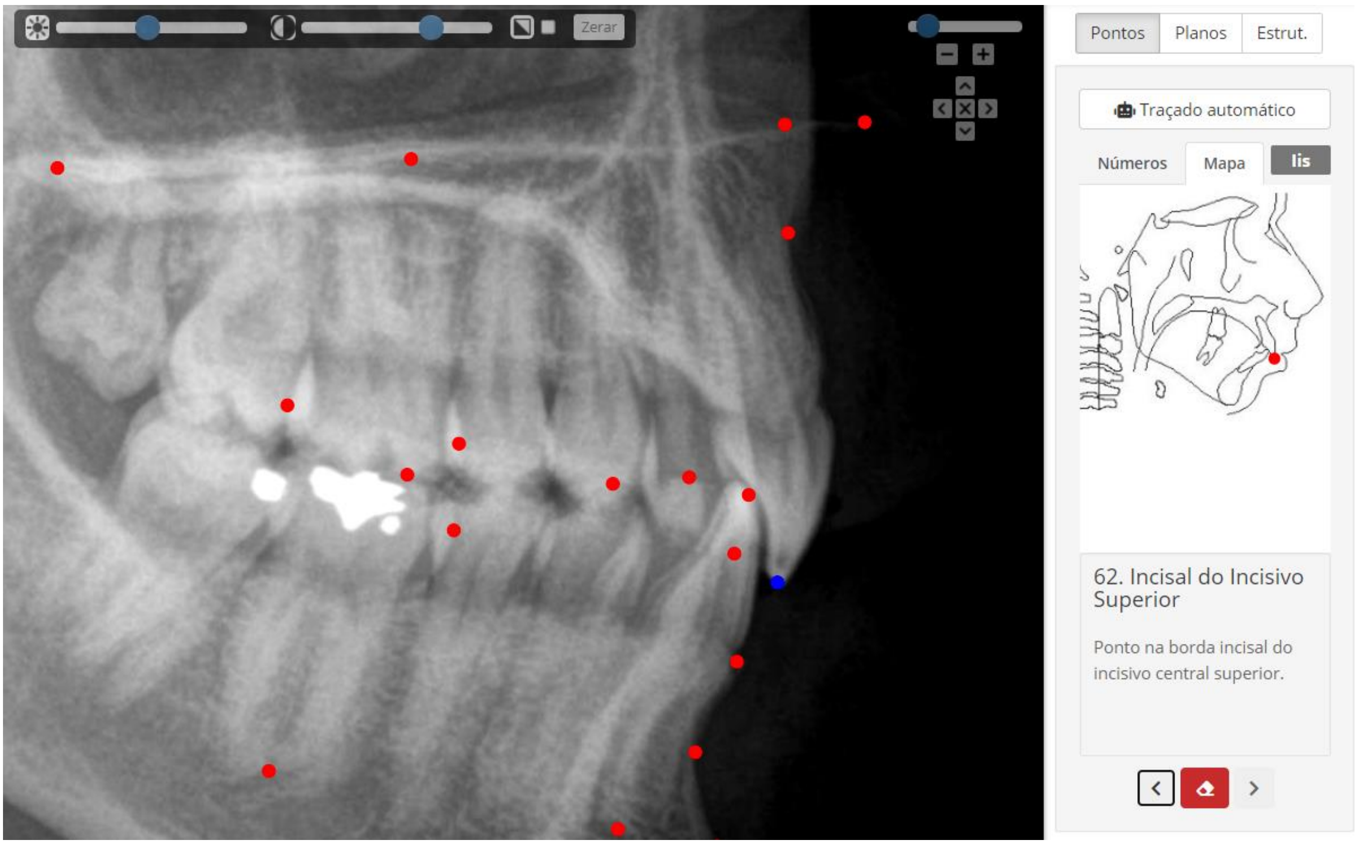
MARCANDO OS PONTOS:



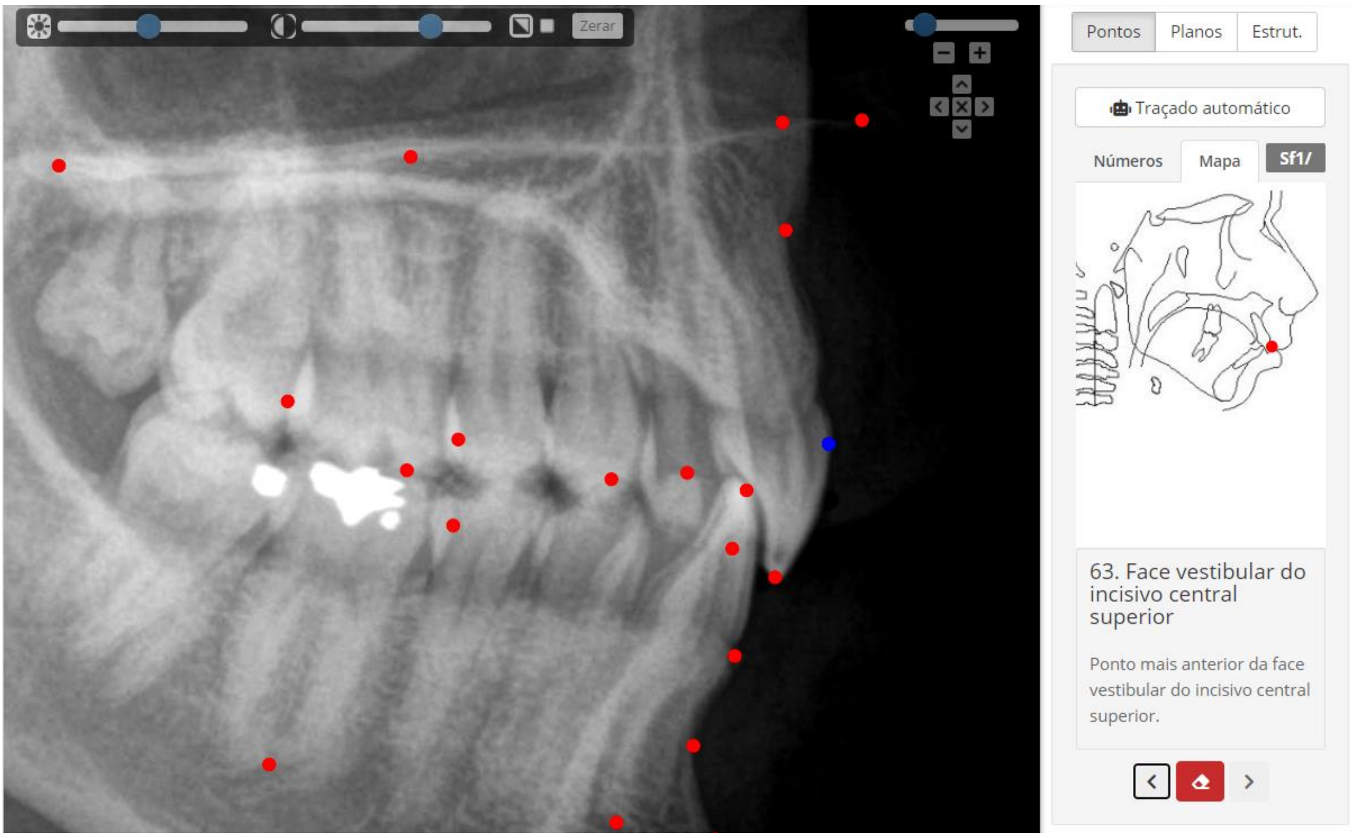
MARCANDO OS PONTOS:



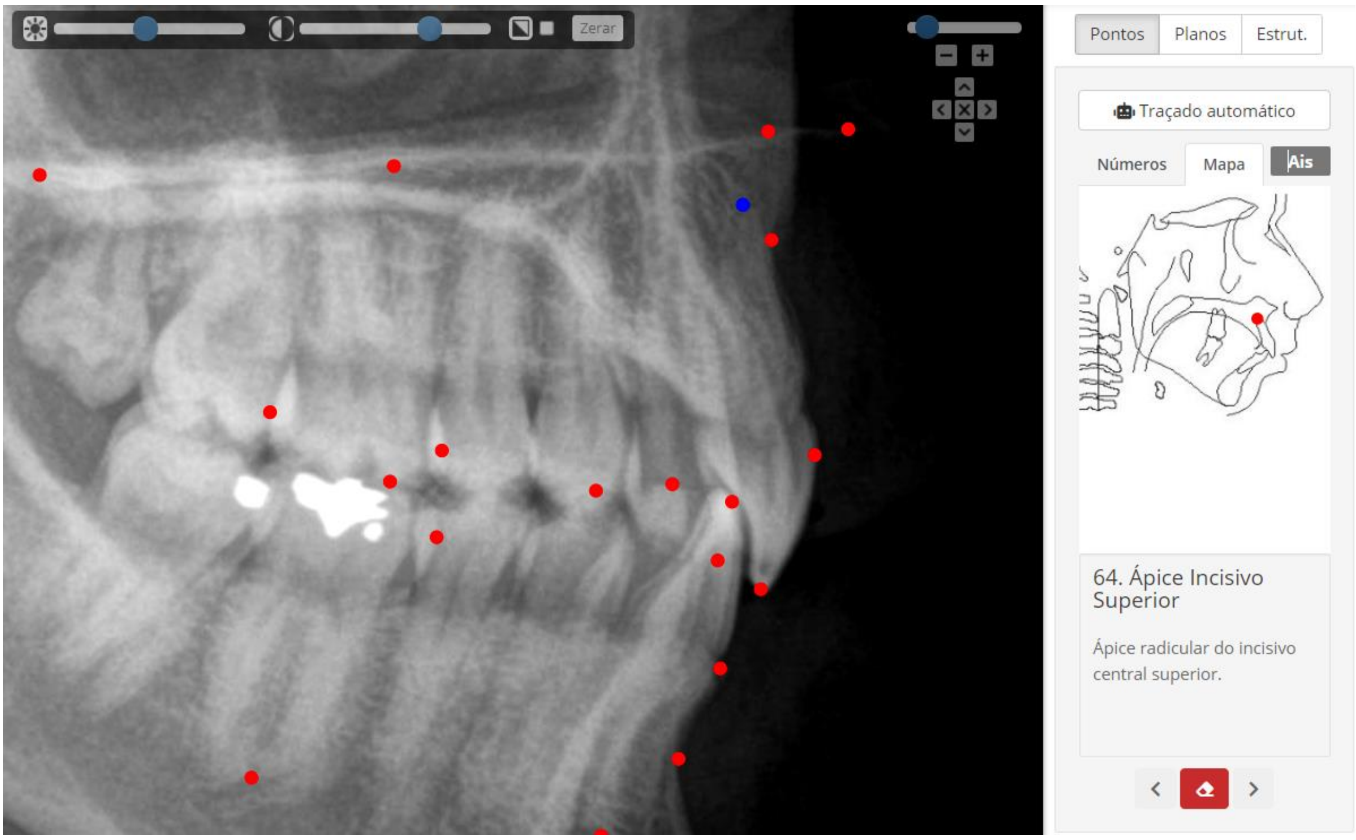
MARCANDO OS PONTOS:



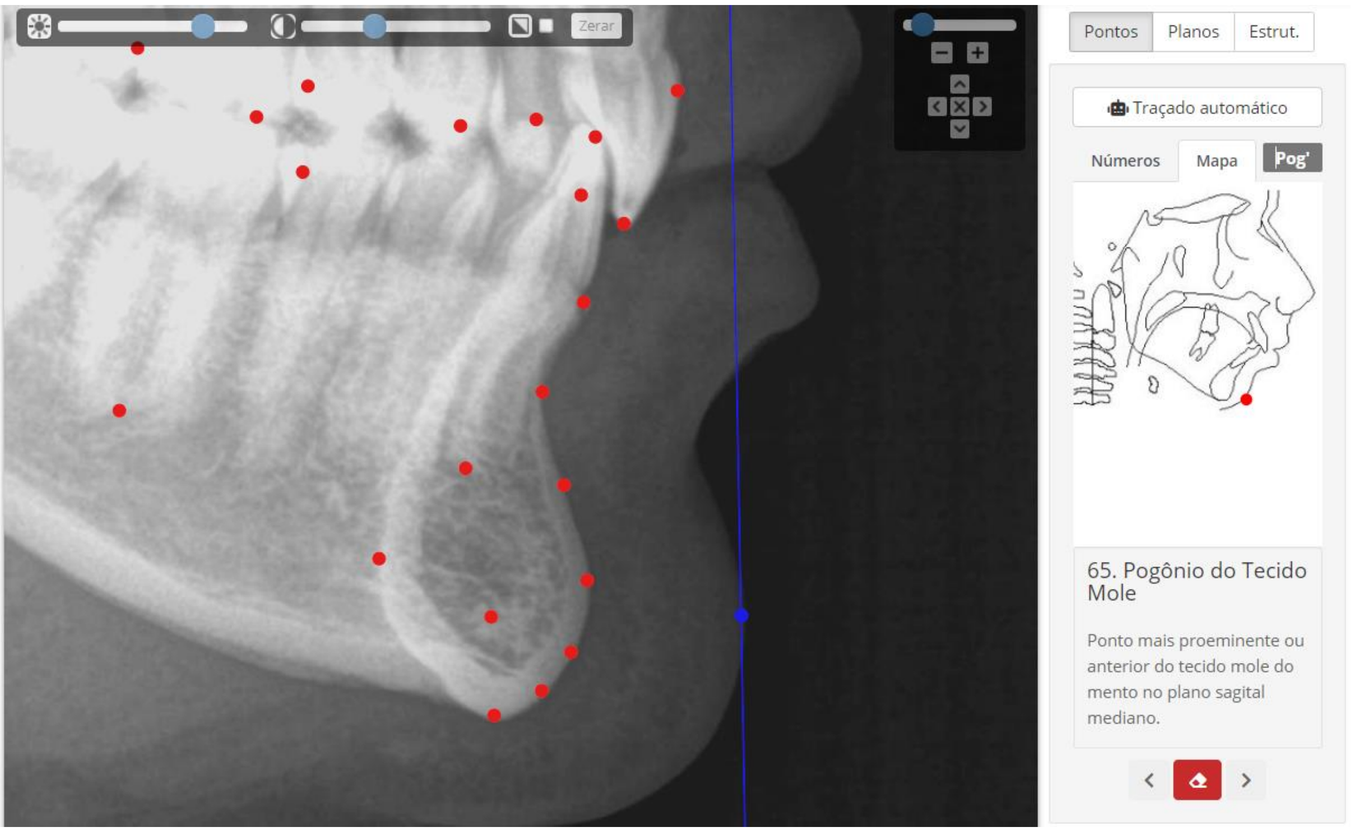
MARCANDO OS PONTOS:



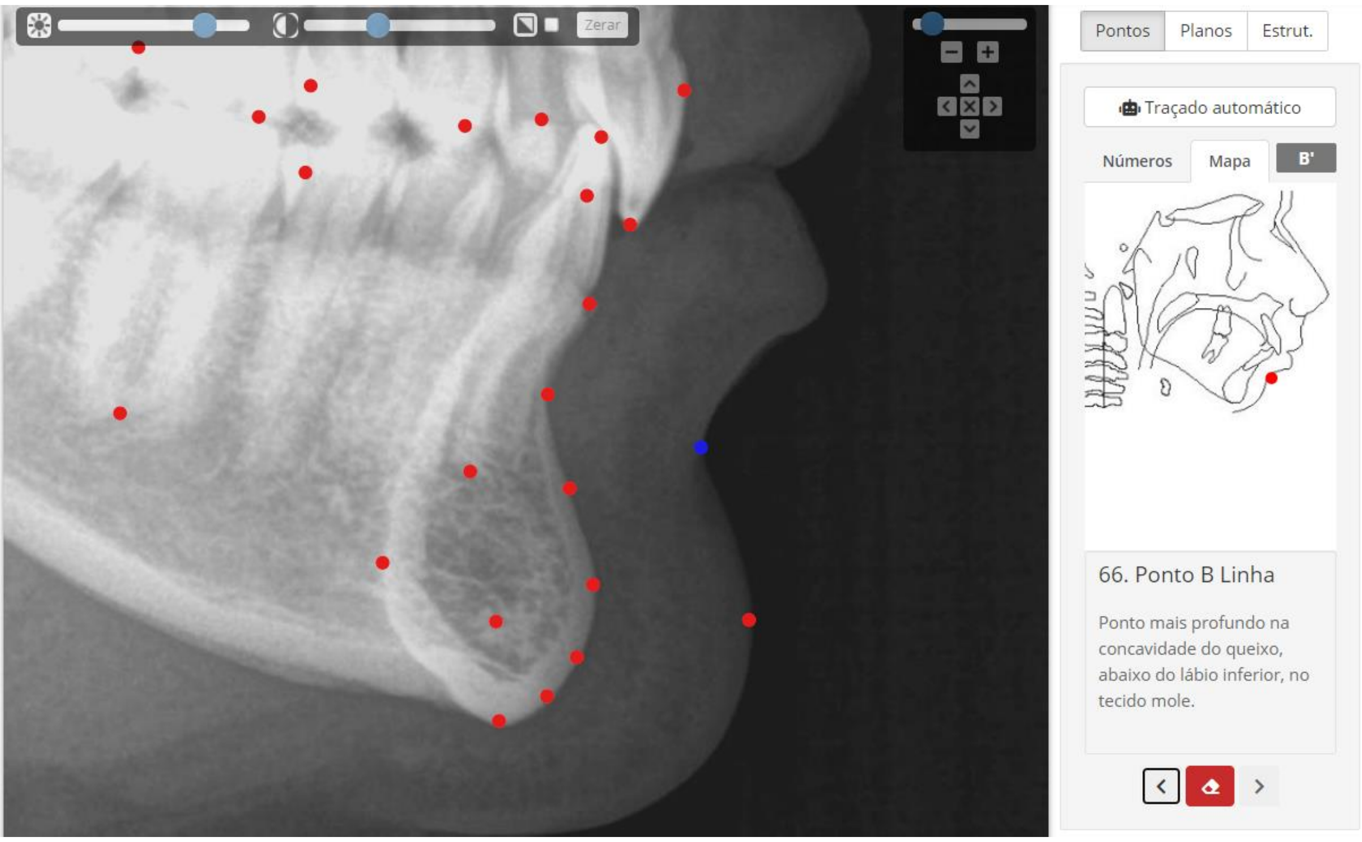
MARCANDO OS PONTOS:



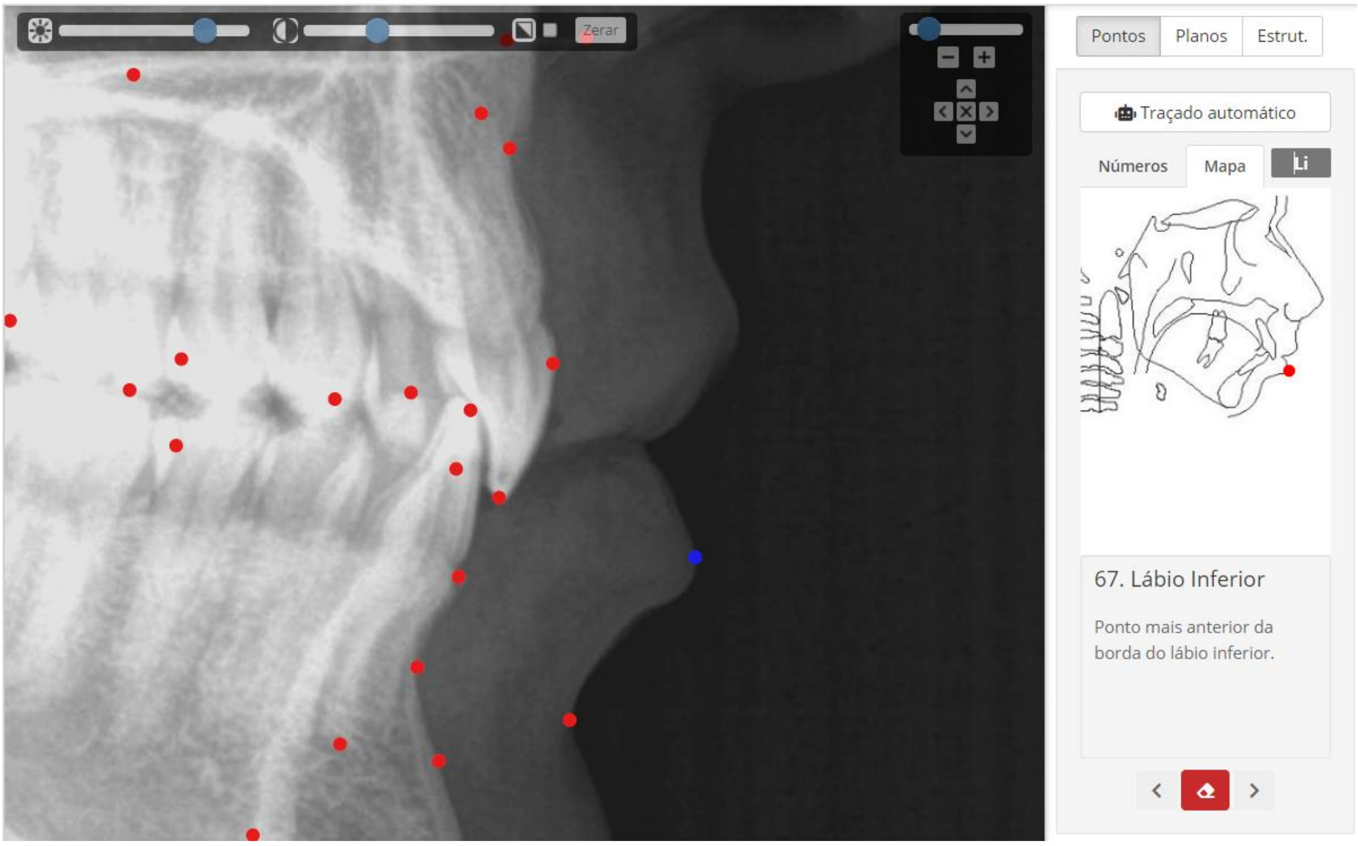
MARCANDO OS PONTOS:



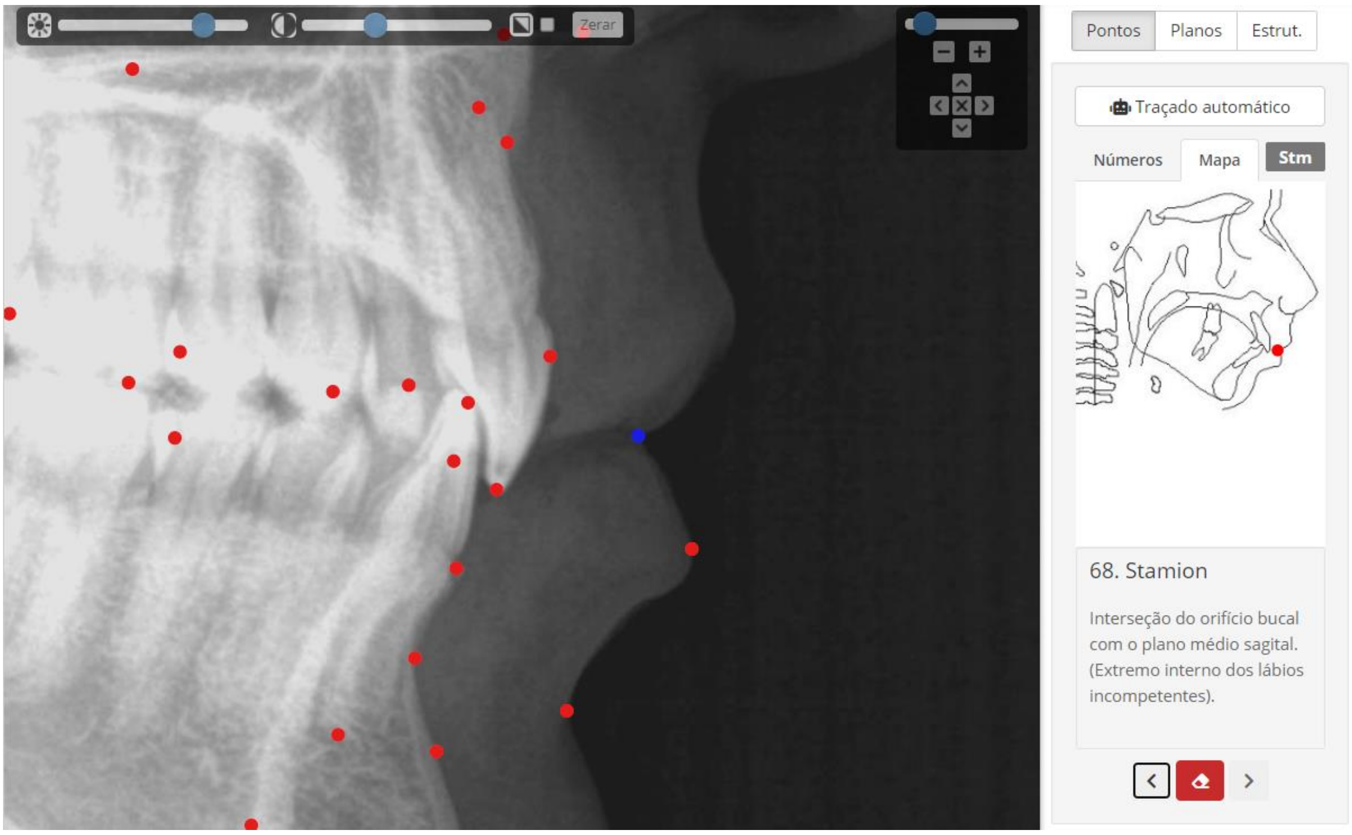
MARCANDO OS PONTOS:



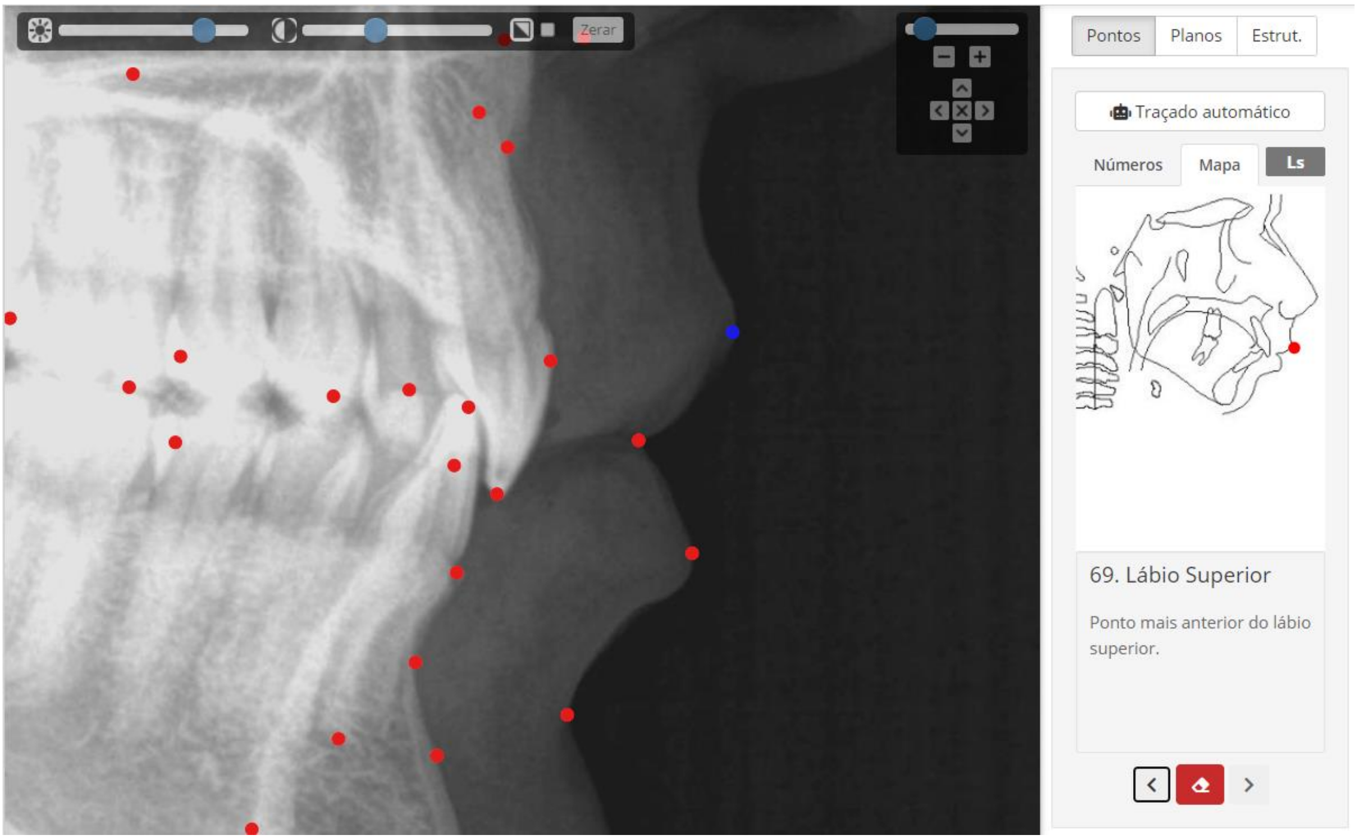
MARCANDO OS PONTOS:



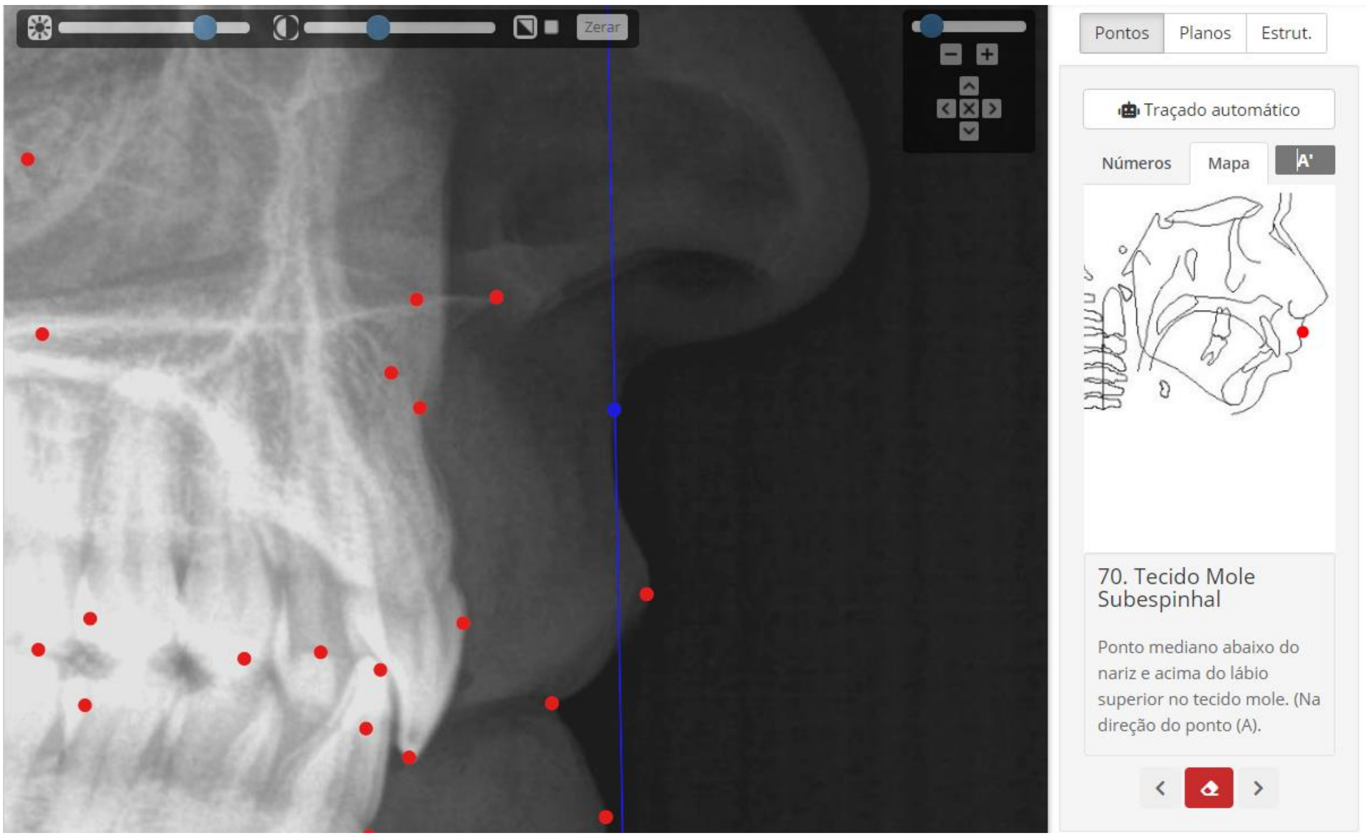
MARCANDO OS PONTOS:



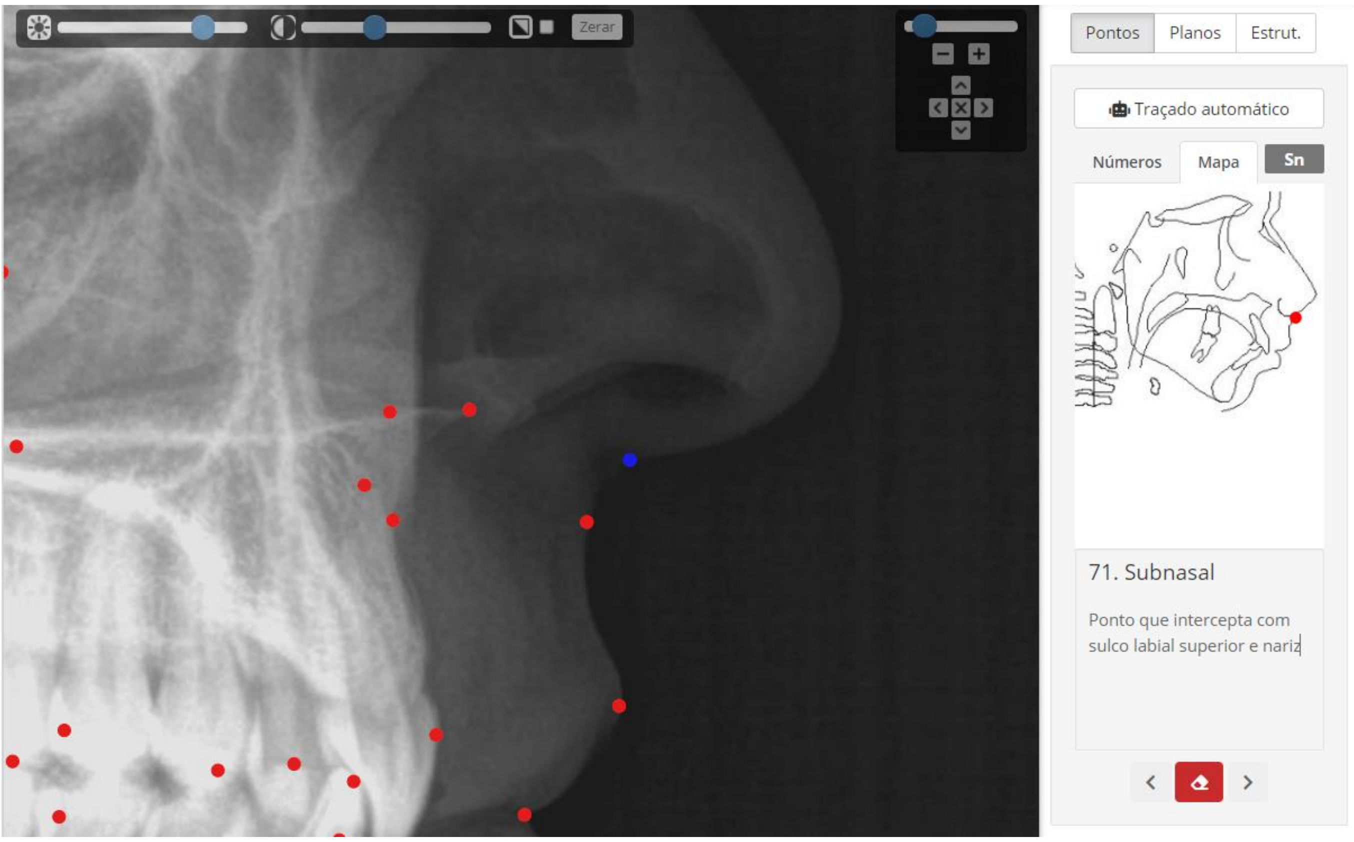
MARCANDO OS PONTOS:



MARCANDO OS PONTOS:



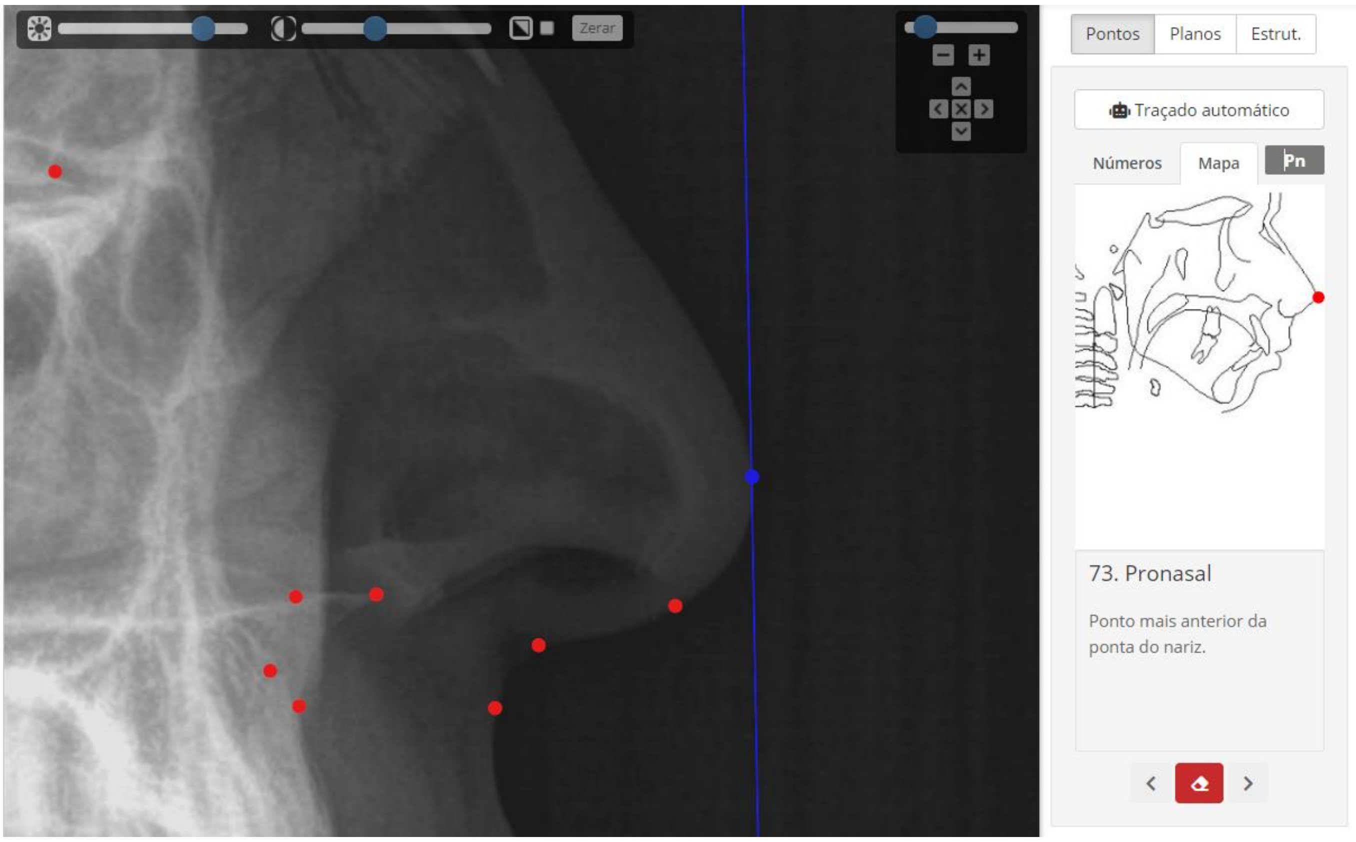
MARCANDO OS PONTOS:



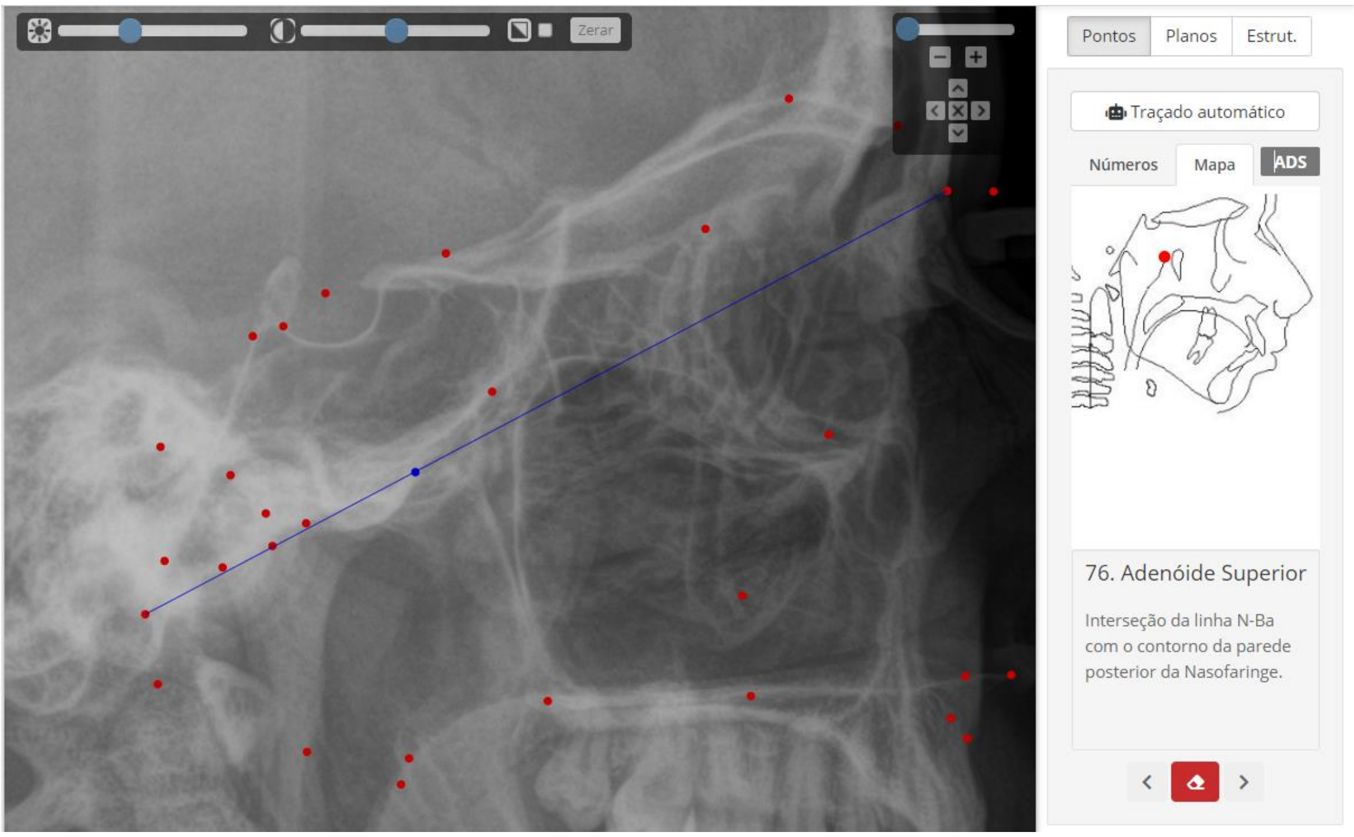
MARCANDO OS PONTOS:



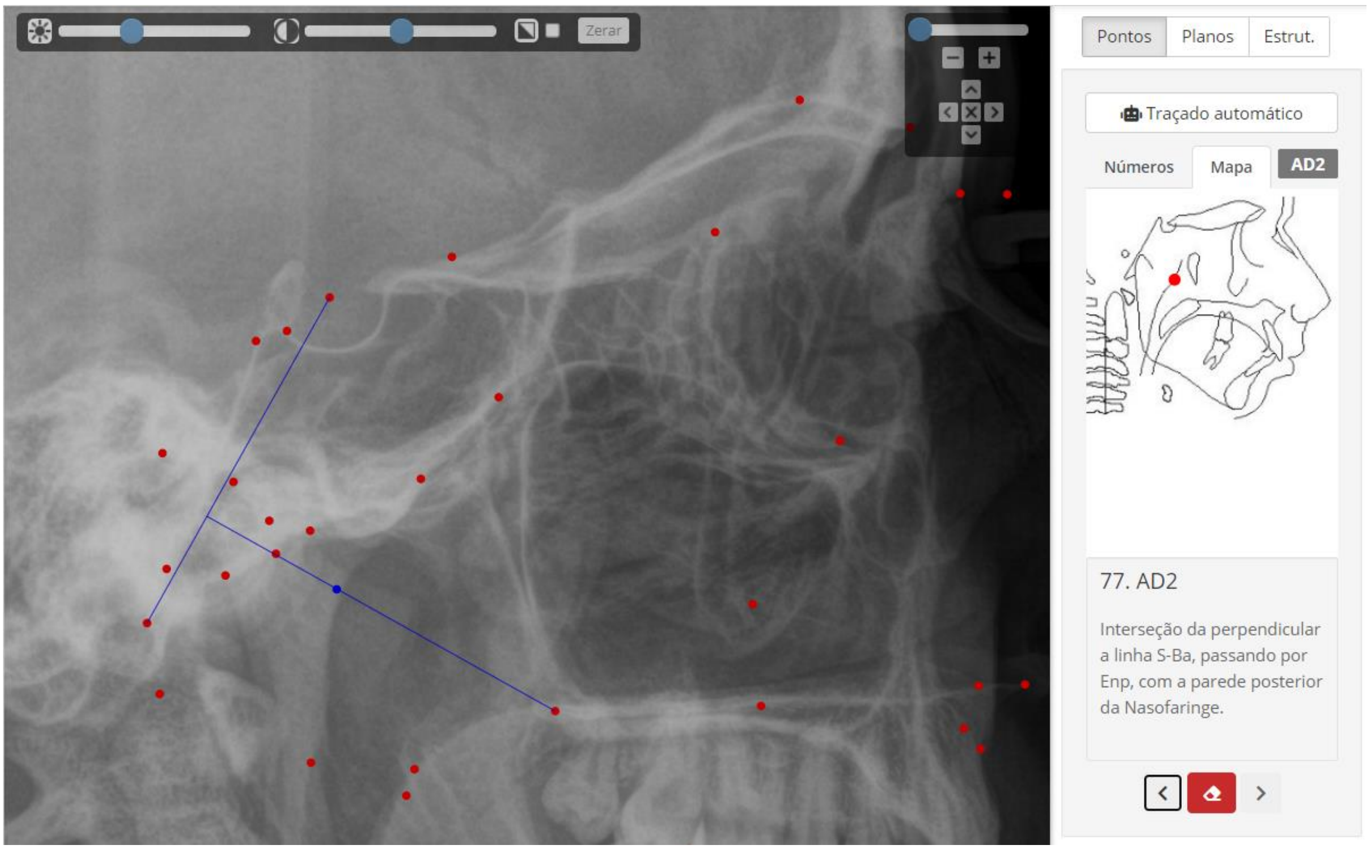
MARCANDO OS PONTOS:



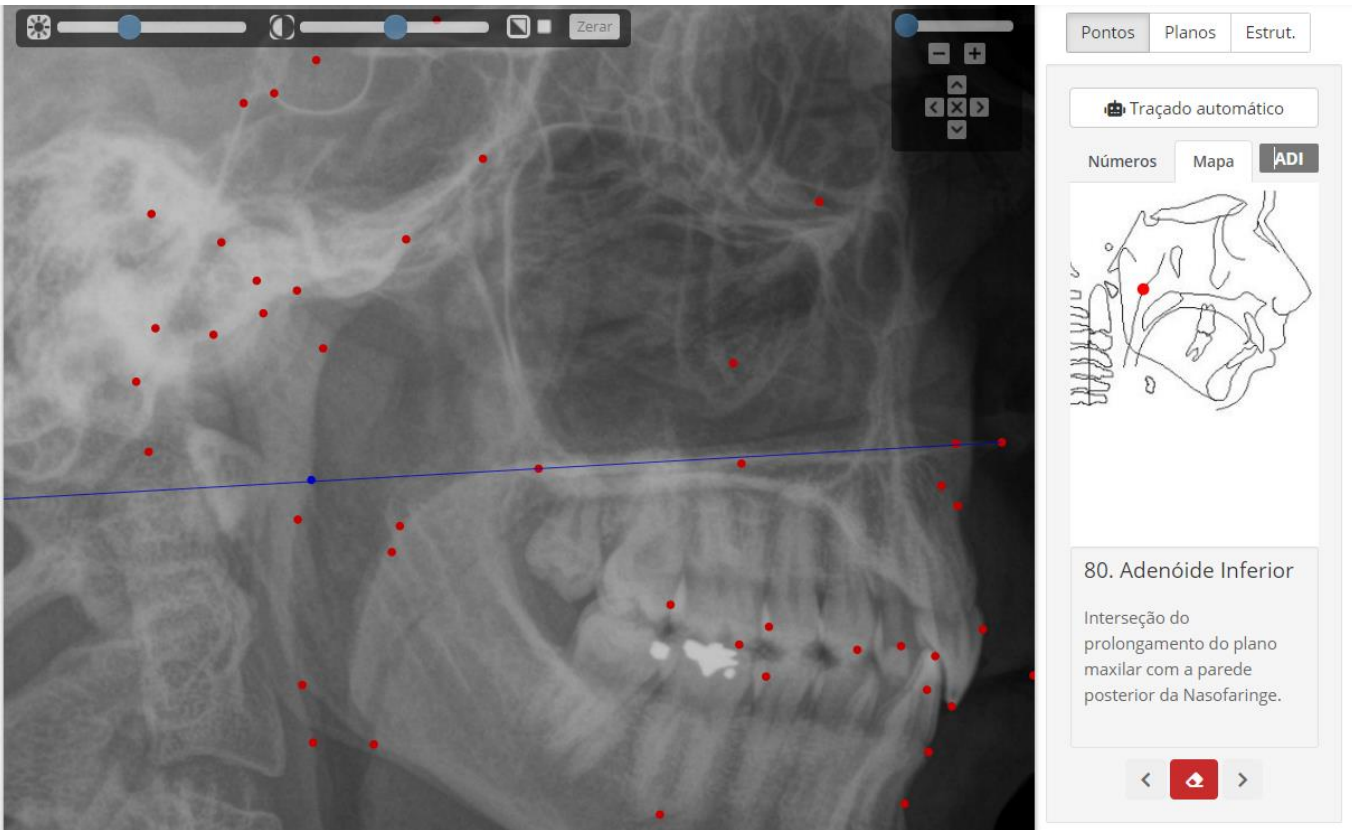
MARCANDO OS PONTOS:



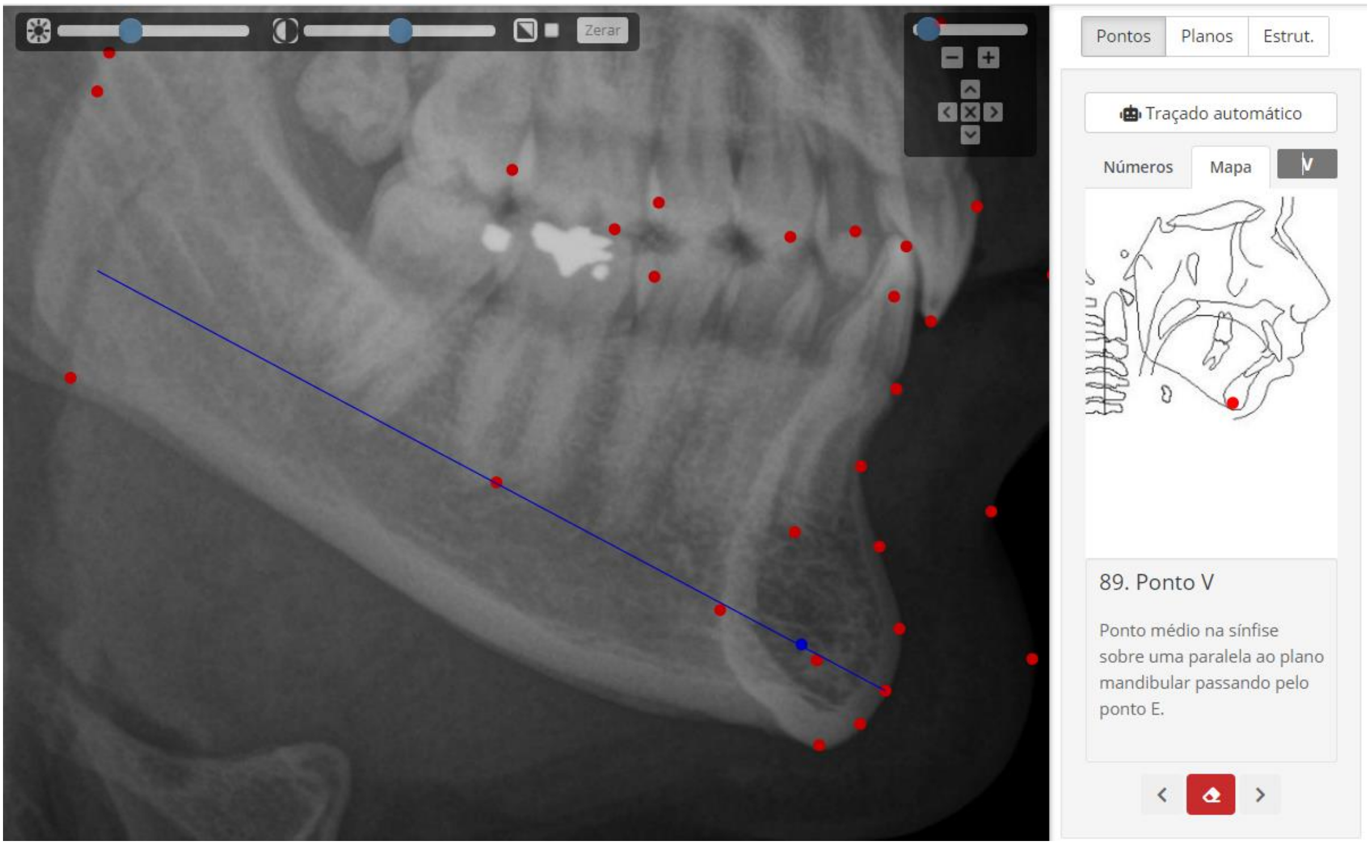
MARCANDO OS PONTOS:



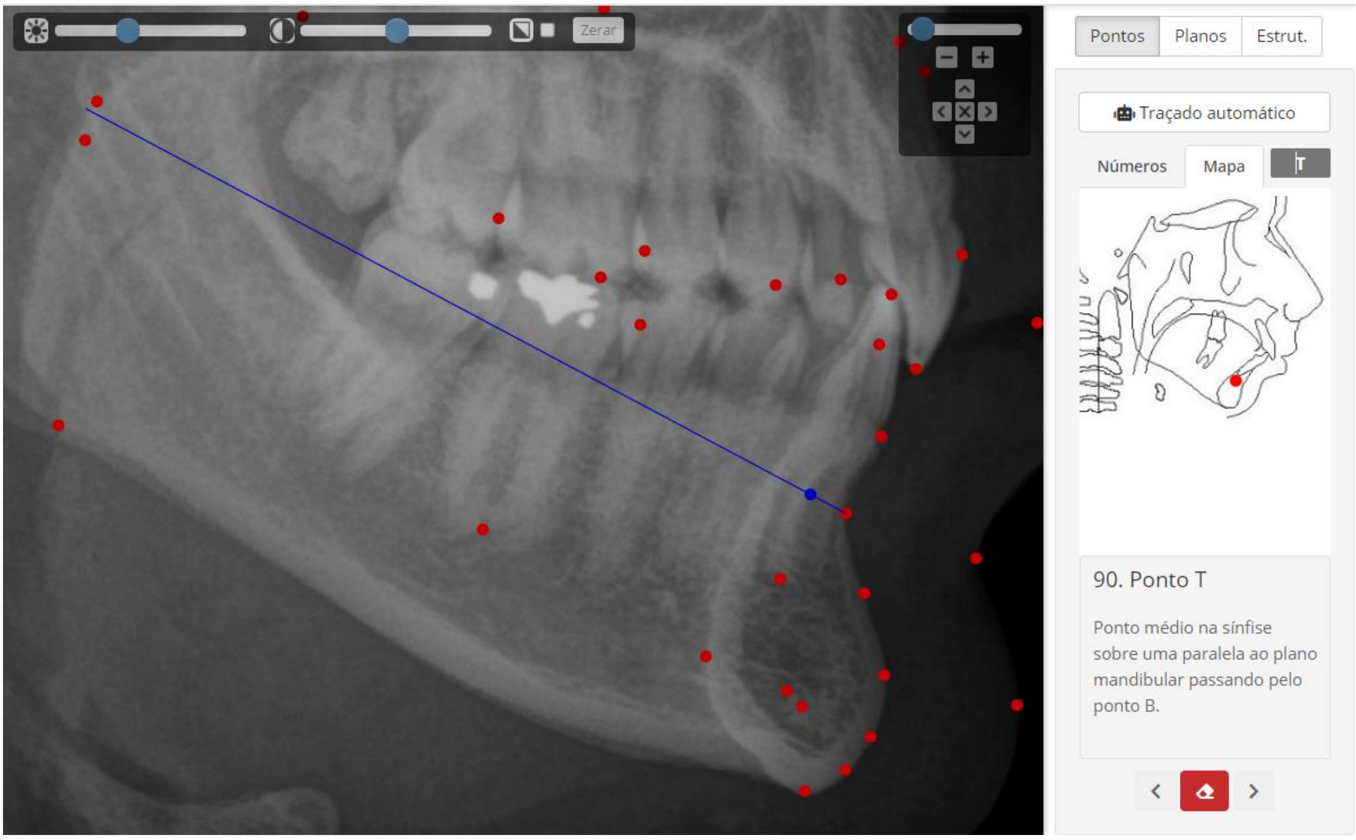
MARCANDO OS PONTOS:



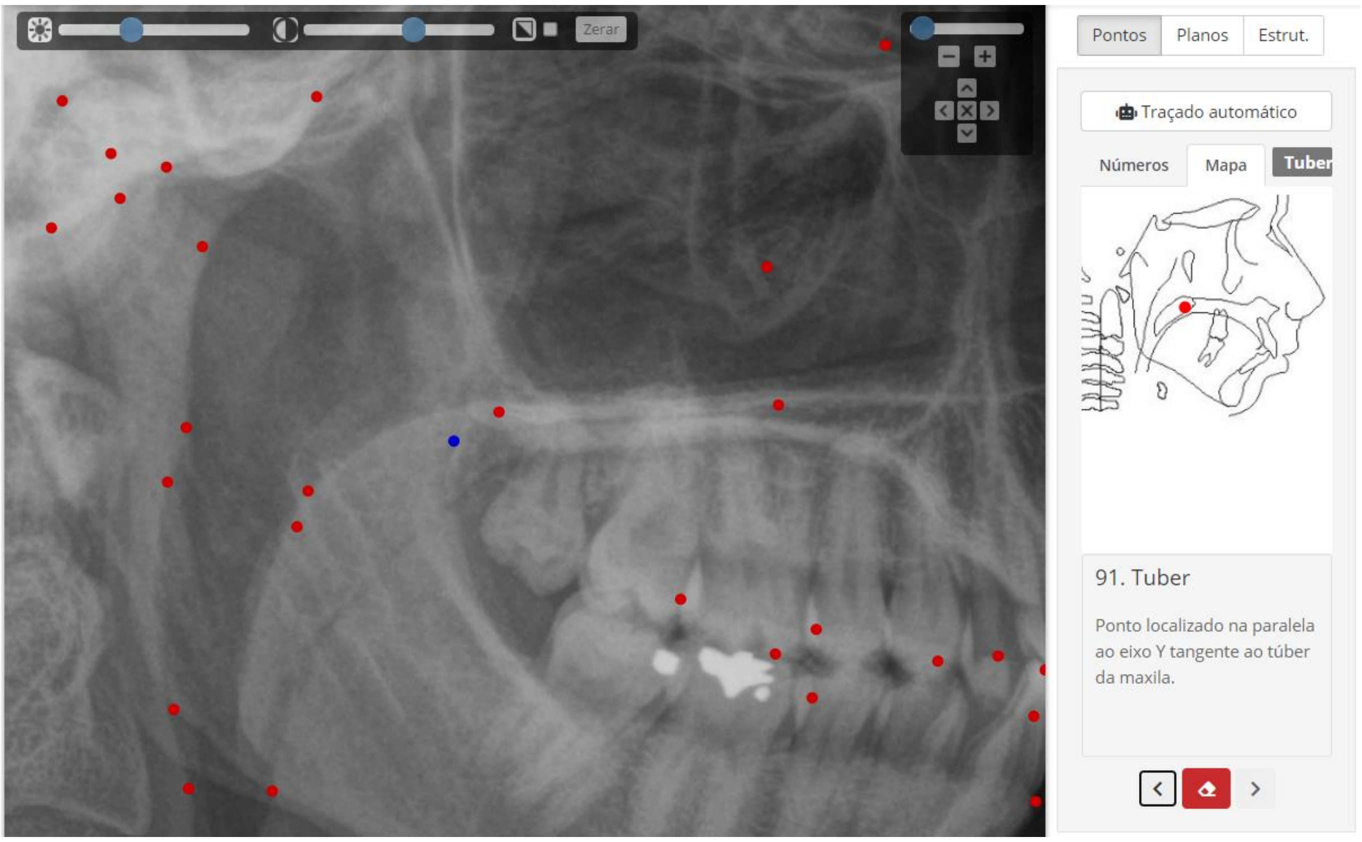
MARCANDO OS PONTOS:



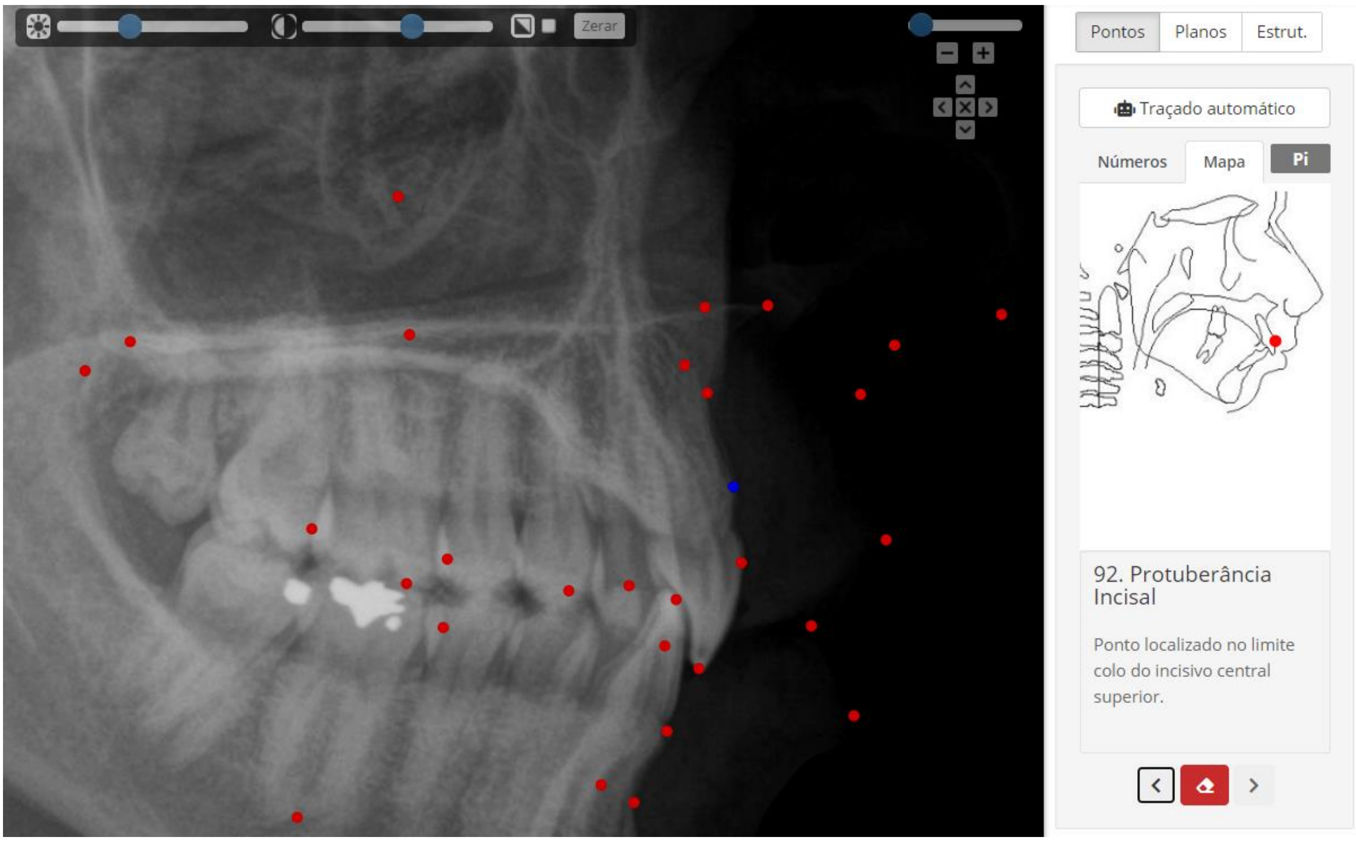
MARCANDO OS PONTOS:



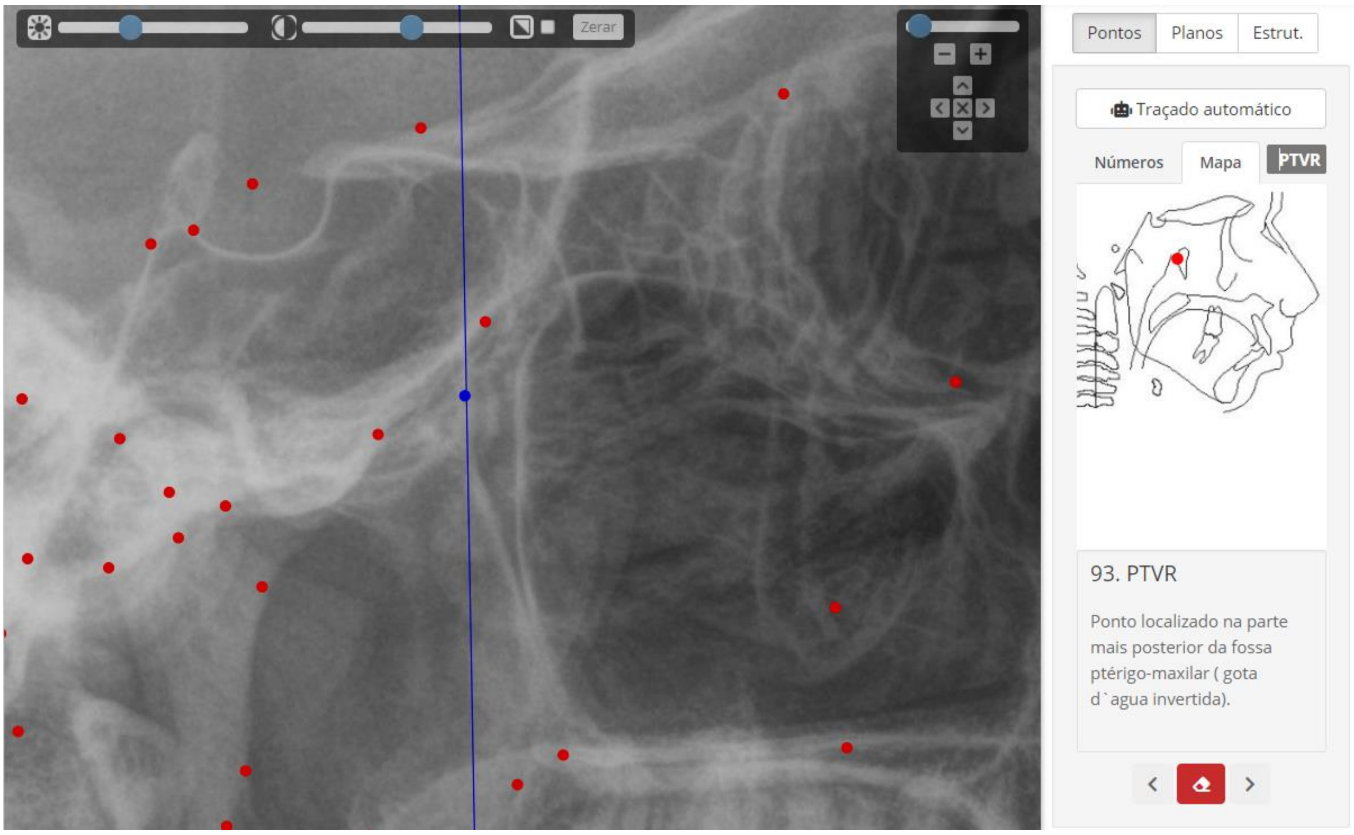
MARCANDO OS PONTOS:



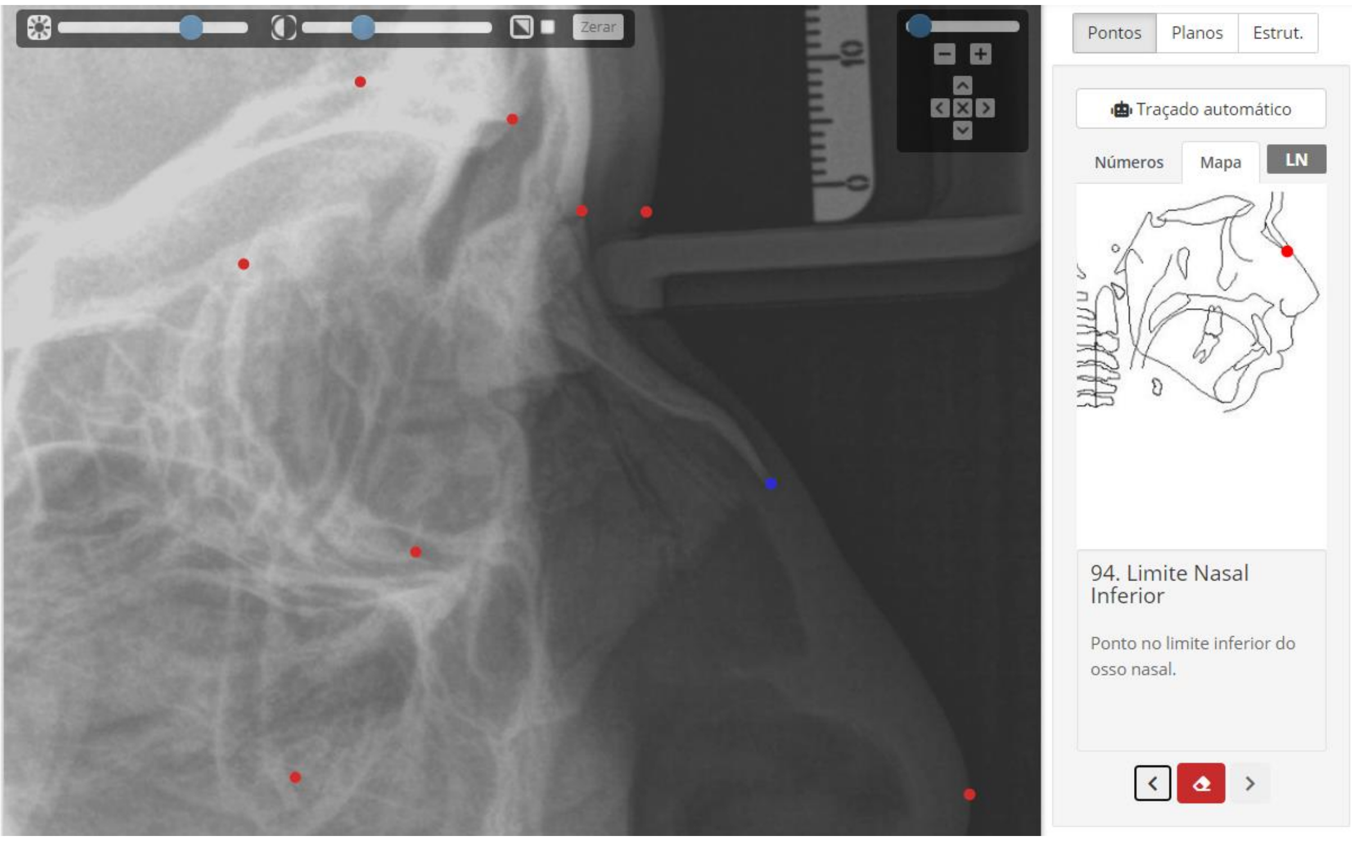
MARCANDO OS PONTOS:



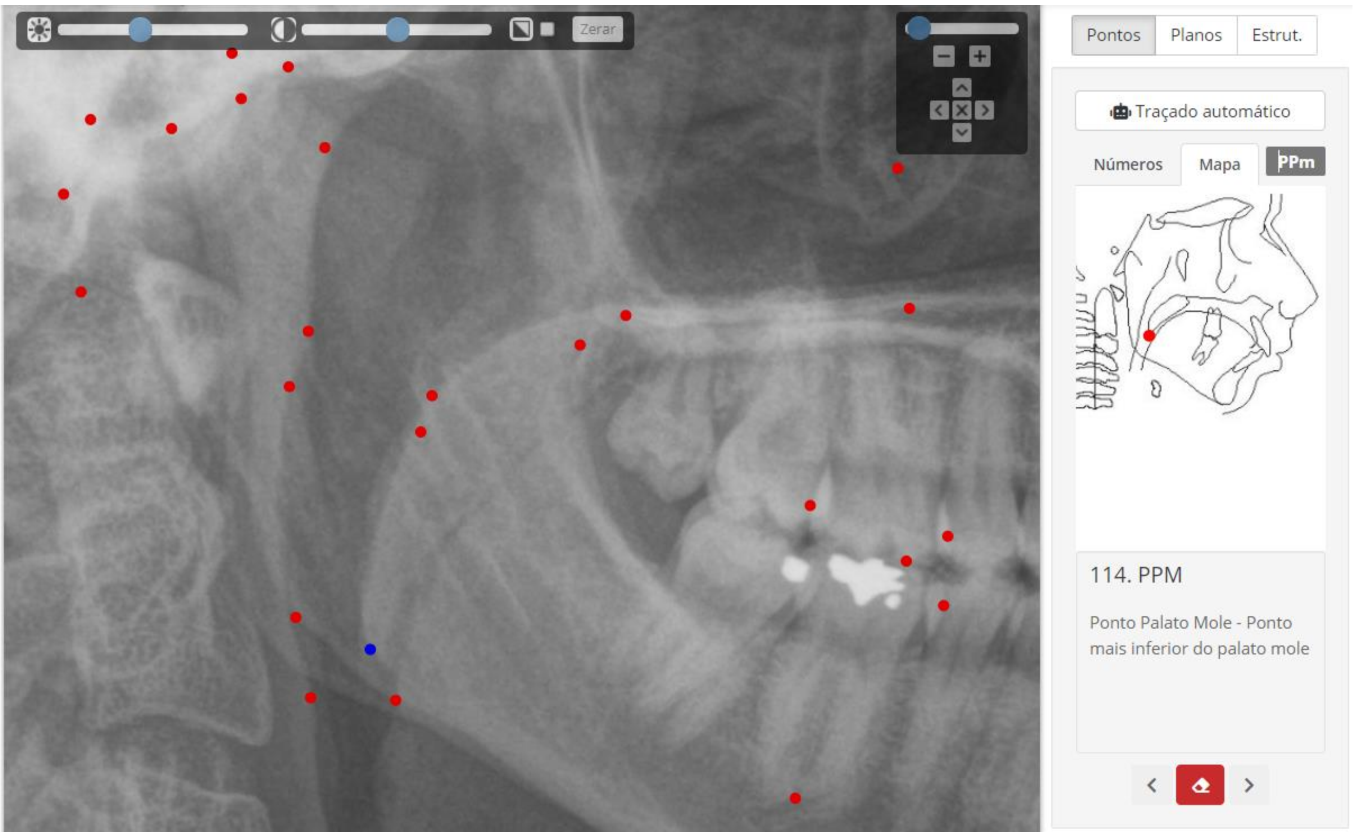
MARCANDO OS PONTOS:



MARCANDO OS PONTOS:

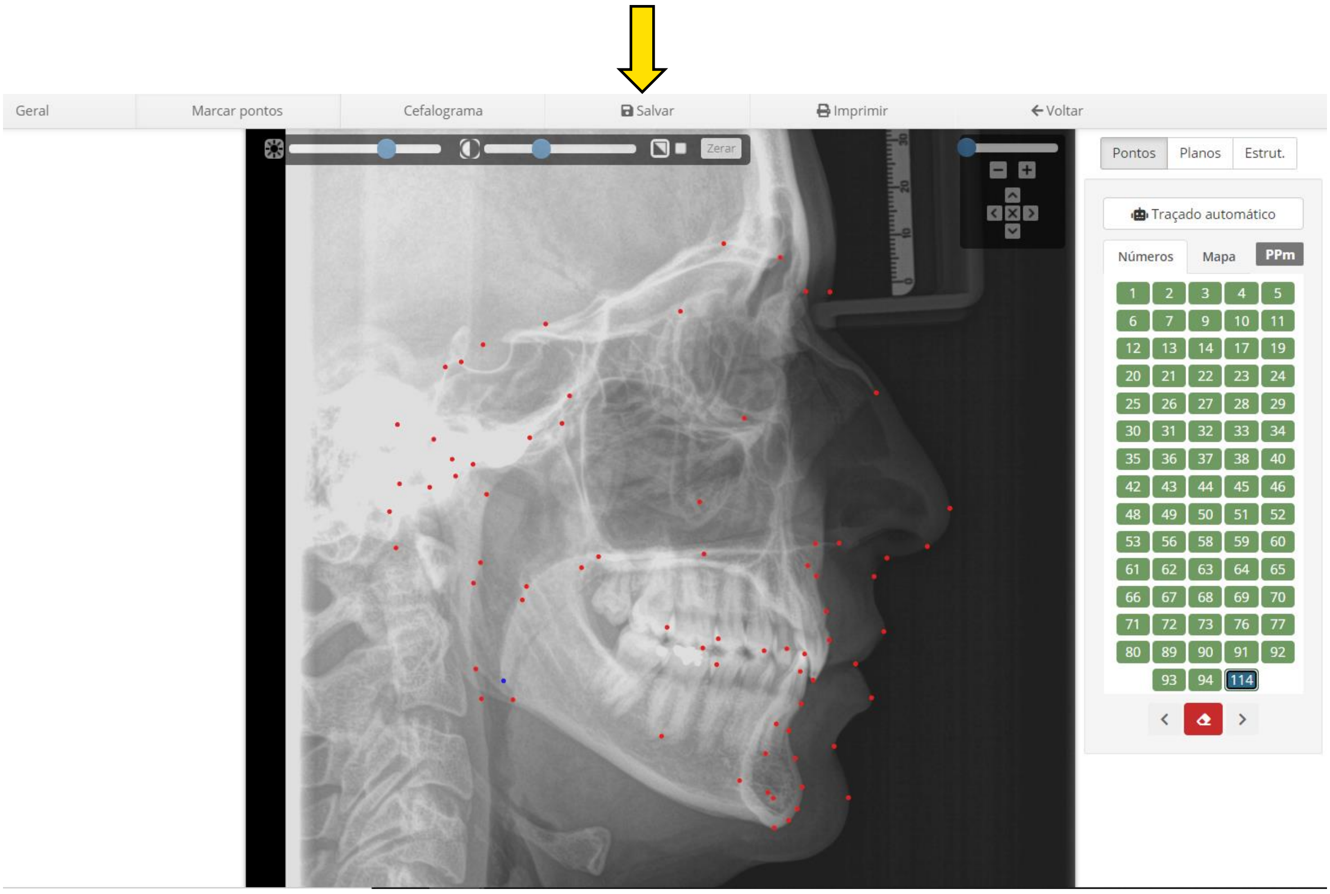


MARCANDO OS PONTOS:

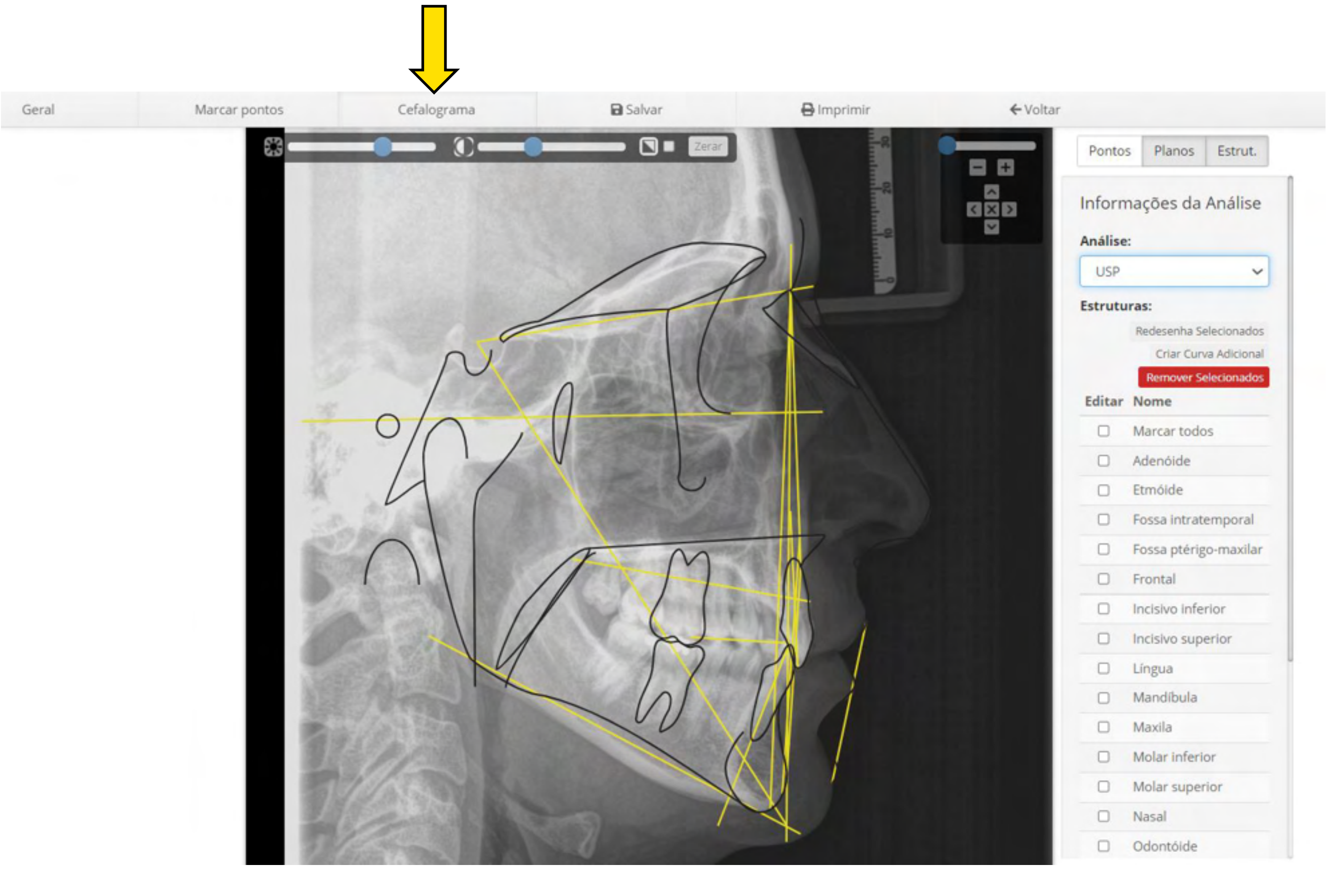


FINALIZAÇÃO

- Após terminar a marcação dos pontos, clique em “salvar”.

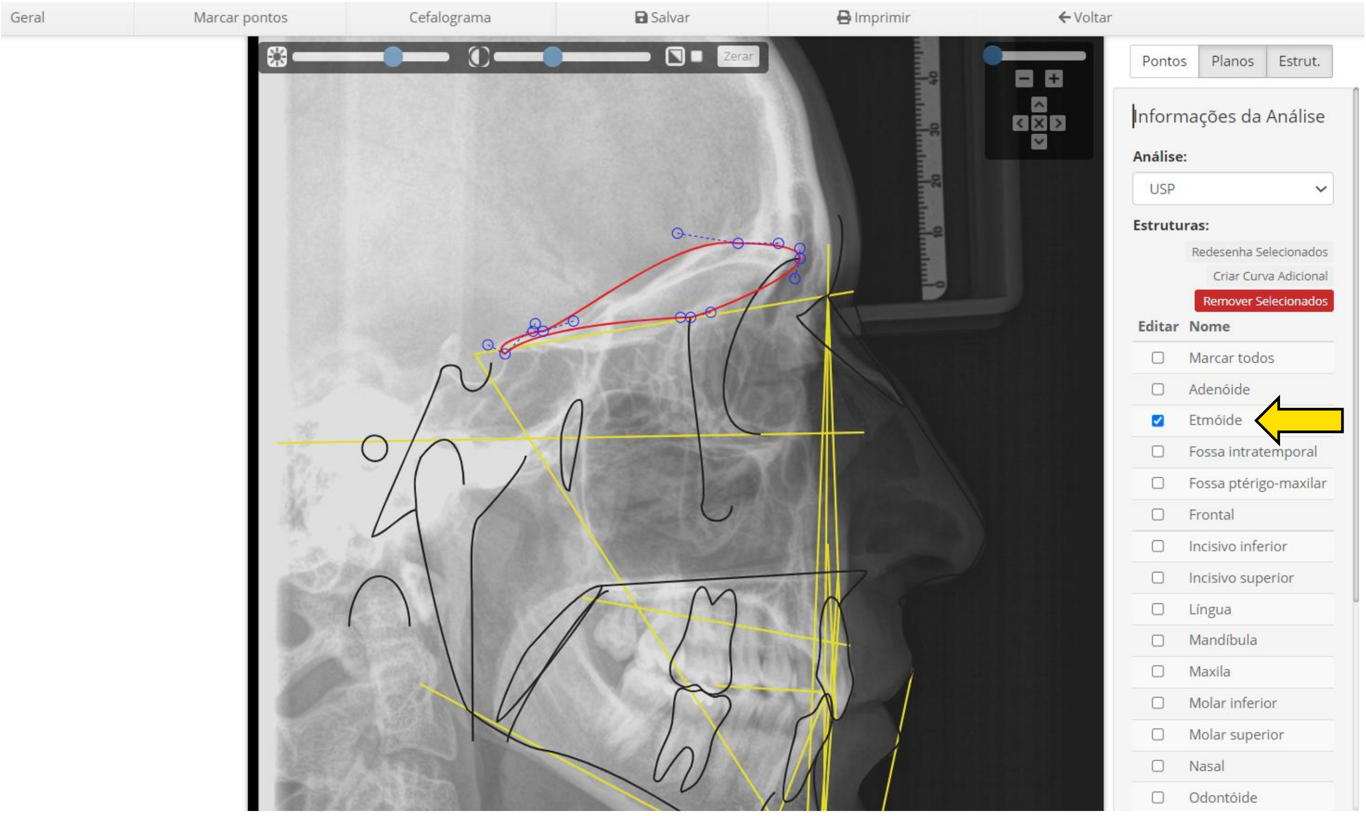


- Clique na aba “Cefalograma”.

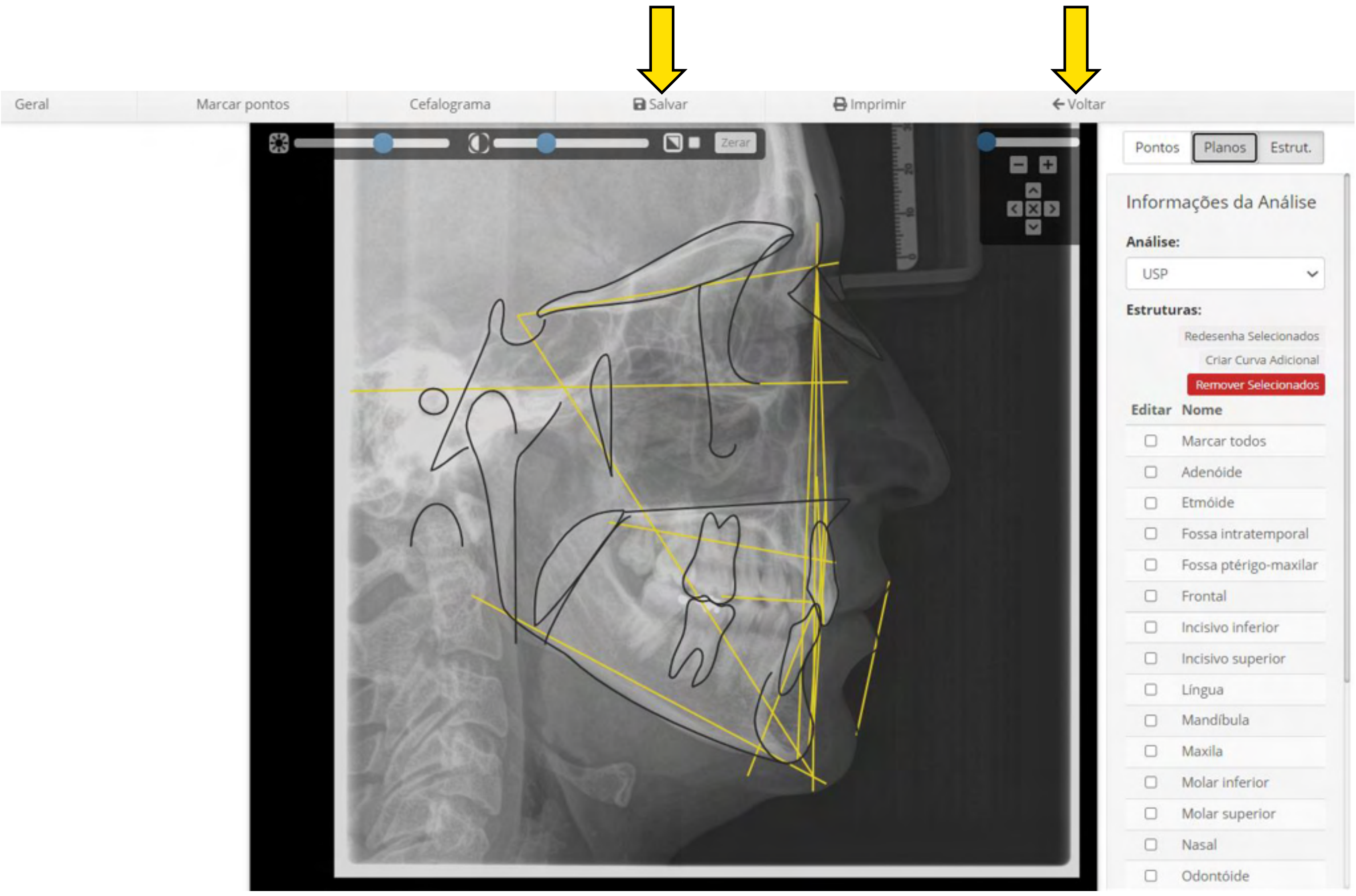


2 FINALIZAÇÃO

- Confira se todas as estruturas estão na posição correta, se alguma estrutura estiver fora da posição, selecione a estrutura na lateral da tela e ajuste, arrastando os guias.
- Após concluir, clique novamente no nome da estrutura para salvar a alteração.



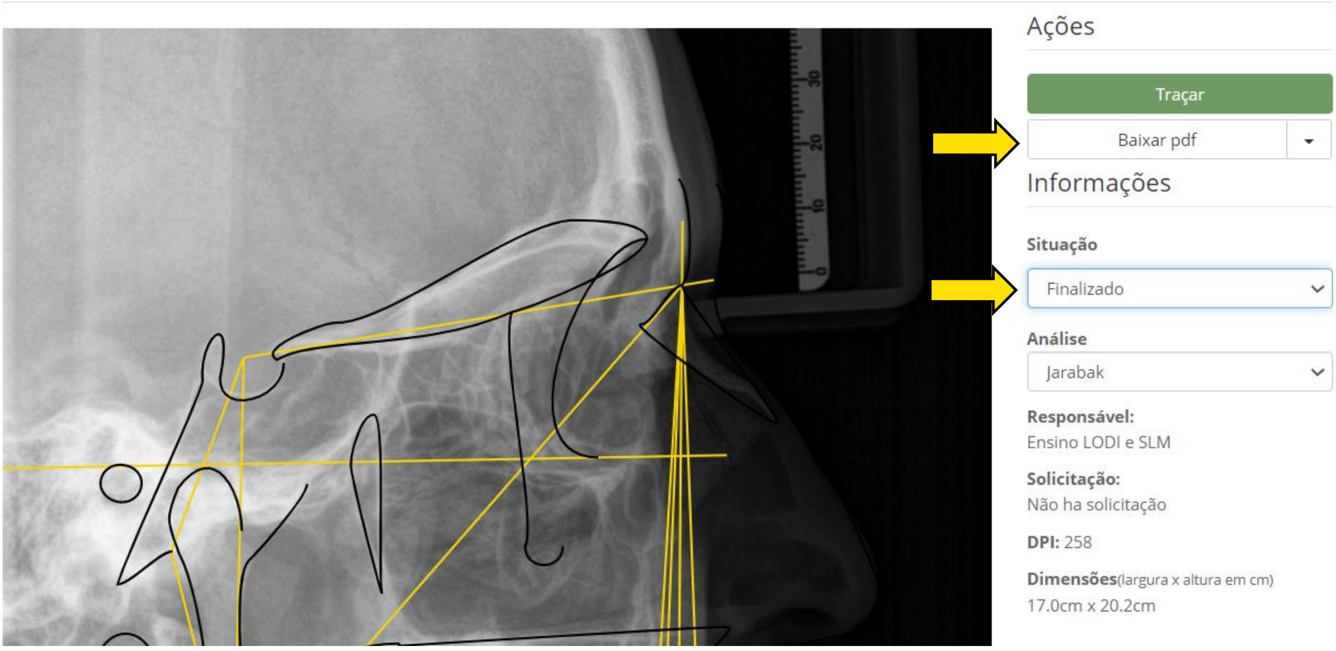
- Com todas as estruturas ajustadas na posição correta, clique em “salvar” e depois em “voltar”.



2

FINALIZAÇÃO

- Clique em “Cefalometria Lateral”, altere o status para “finalizado”.
- Pronto! As análises cefalométricas estão salvas e o exame está finalizado. Para realizar o donwload do arquivo, clique em “Baixar”.



- Observe no arquivo baixado, que foi criado um relatório das três análises realizadas: McNamara, Ricketts e USP.

Cfaz.net

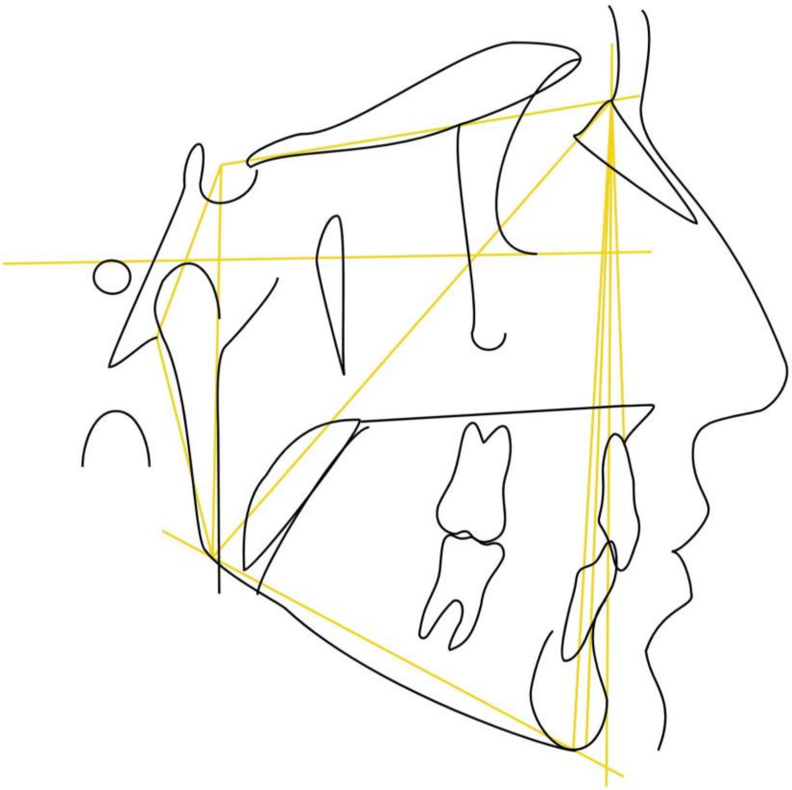
N°: **28** Data do pedido: **29/08/2021**

Paciente: **Cefalometria SLM** Sexo: **Masculino**

Idade: **22a 8m** 15/12/1998 Indicação: **LODI-Cefalometria**

Tipo de análise:

Jarabak



Cfaz.net

N°: **28** Data do pedido: **29/08/2021**

Paciente: **Cefalometria SLM** Sexo: **Masculino**

Idade: **22a 8m** 15/12/1998 Indicação: **LODI-Cefalometria**

Tipo de análise: **Jarabak**

#	Descrição	Valor	Padrão	Desvios/Classificação
	Análise Esqueletal			
1	Plano Facial (S-N).Pog	80.192 gr	79.0 ± 3.5	
2	Ângulo da Sela (S-N).Ar	119.885 gr	123.0 ± 5.0	
3	Ângulo Articular (S-Ar).Go	145.237 gr	143.0 ± 6.0	
4	Base do Crânio Anterior	69.217 mm	71.0 ± 3.0	
5	Base do Crânio Posterior	32.208 mm	32.0 ± 3.0	
6	Ângulo Goníaco (Ar-Go).Me	132.282 gr	130.0 ± 7.0	
7	(Ar-Go).N	55.39 gr	53.5 ± 1.5	+
8	(Me-Go).N	76.891 gr	72.5 ± 2.5	+
9	(S-Go).Me	116.766 gr	-	
10	Altura do Ramo Go-Ar	39.692 mm	44.0 ± 5.0	
11	Corpo Mandibular Go-Me	71.492 mm	71.0 ± 5.0	
12	S-N-A	82.718 gr	82.0 ± 2.4	
13	S-N-B	78.381 gr	80.0 ± 2.3	
14	A-N-B	4.337 gr	2.0 ± 1.3	+
15	Profundidade Facial	88.514 gr	87.0 ± 3.0	
16	(S-N).(Go-Gn)	35.221 gr	32.0 ± 0.0	
17	(S-N).Gn	66.682 gr	66.0 ± 3.0	
18	Convexidade Facial	5.924 gr	4.5 ± 2.3	
19	S-Go	68.654 mm	71.0 ± 6.0	
20	N-Me	113.705 mm	114.0 ± 6.0	
21	S-Go % N-Me	60.379 %	63.5 ± 1.5	Vertical
	Triângulo de Tweed			
22	FMA	29.082 gr	25.0	
23	FMIA	67.589 gr	68.0	
24	IMPA	83.329 gr	87.0	

Tipo de análise: **Jarabak**

Fator	Diagnóstico
Base do Crânio Anterior	Médio
S-N-A	Bom posicionamento
S-N-B	Bom posicionamento
A-N-B	Classe II esquelética
Convexidade Facial	Perfil Reto

Cfaz.net

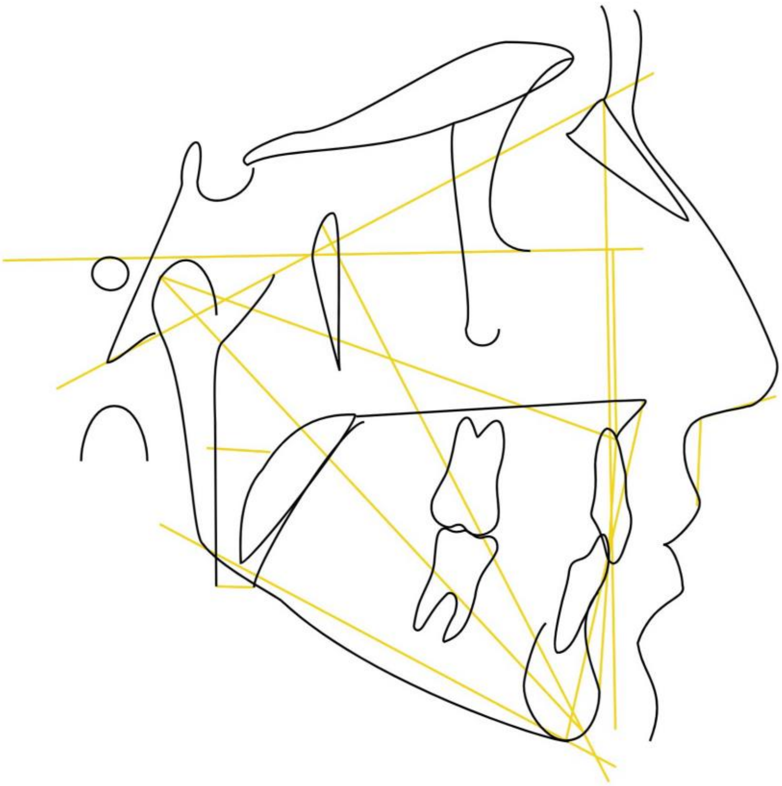
Nº: **28** Data do pedido: **29/08/2021**

Paciente: **Cefalometria SLM** Sexo: **Masculino**

Idade: **22a 8m** 15/12/1998 Indicação: **LODI-Cefalometria**

Tipo de análise:

McNamara



Cfaz.net

N°: **28** Data do pedido: **29/08/2021**

Paciente: **Cefalometria SLM** Sexo: **Masculino**

Idade: **22a 8m** 15/12/1998 Indicação: **LODI-Cefalometria**

Tipo de análise: **McNamara**

#	Descrição	Valor	Padrão	Desvios/Classificação
	Maxila x Base do Crânio			
1	A-N Perpendicular	1.094 mm	1.1 ± 2.7	
2	Prn.(Sn-Ls)	108.566 gr	104.4 ± 12.5	
	Maxila x Mandíbula			
3	Co-Gn	110.154 mm	134.3 ± 6.8	- - -
4	Co-A	85.932 mm	99.8 ± 6.0	- -
5	Diferença Maxila/Mandíbula	24.222	34.5 ± 4.0	- -
6	ENA-Me	61.809 mm	74.6 ± 5.0	- -
7	(Po-Or).(Go-Me)	29.082 gr	21.3 ± 3.9	+
8	(Ba-N).(Ptm-Gn)	89.379 gr	90.0 ± 3.0	
	Mandíbula x Base do Crânio			
9	Pog-N Perpendicular	-2.721 mm	-0.3 ± 3.8	
	Dentes			
10	Sf1/-A Perpendicular	2.479 mm	5.3 ± 2.0	-
11	Iii-(A-Pog)	-1.371 mm	2.3 ± 2.4	-
	Vias Aéreas			
12	Nfa-Nfp	11.233 mm	17.4 ± 4.3	-
13	Bfa-Bfp	6.69 mm	13.5 ± 4.3	-

Tipo de análise: **McNamara**

Fator	Diagnóstico
A-N Perpendicular	Bom posicionamento
Prn.(Sn-Ls)	Bom ângulo
Sf1/-A Perpendicular	Retrusão incisiva

Cfaz.net

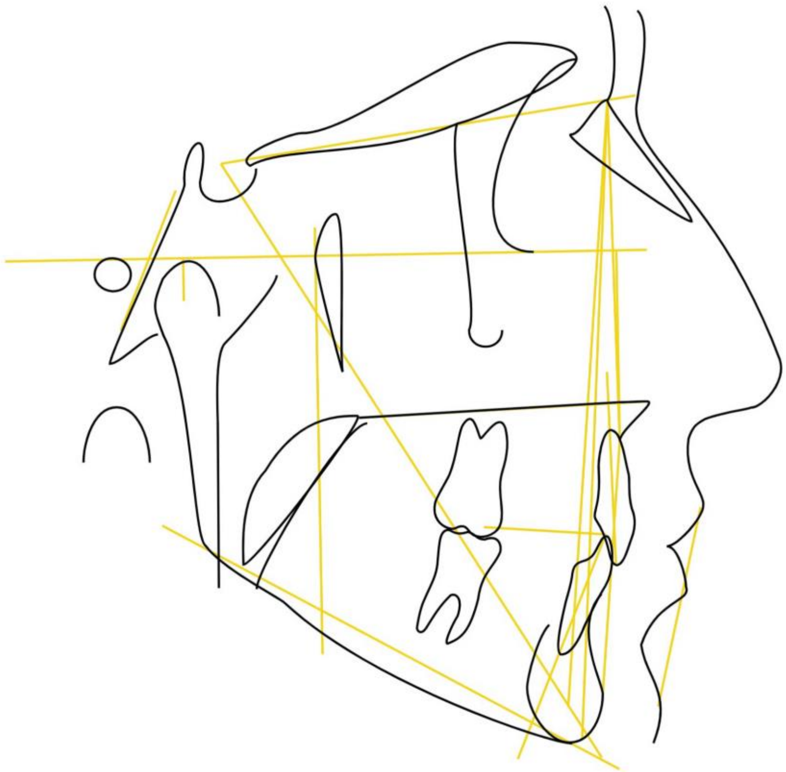
N°: **28** Data do pedido: **29/08/2021**

Paciente: **Cefalometria SLM** Sexo: **Masculino**

Idade: **22a 8m** 15/12/1998 Indicação: **LODI-Cefalometria**

Tipo de análise:

Profis



Cfaz.net

Nº: **28** Data do pedido: **29/08/2021**

Paciente: **Cefalometria SLM** Sexo: **Masculino**

Idade: **22a 8m** 15/12/1998 Indicação: **LODI-Cefalometria**

Tipo de análise: **Profis**

#	Descrição	Valor	Padrão	Desvios/Classificação
	Fórmula / índice facial (Bimler)			
1	Ângulo Basal Superior	65.355 gr	65.0 ± 1.0	Mesoprosopo
2	Ângulo Basal Inferior	31.291 gr	22.5 ± 7.5	Leptoprosopo
3	Índice Facial Suborbital	-1.0	0.0 ± 0.49	Leptoprosopo
	Índice Facial Suborbital			
4	N-A.Pog	5.924 gr	2.8 ± 2.2	+
5	S-N.Gn	66.682 gr	66.0 ± 3.2	
6	Ocl.SN	12.75 gr	13.5 ± 4.0	
7	(Go-Gn).(S-N)	35.221 gr	31.5 ± 4.6	
	Avaliação Clássica - Riedel (Unicamp)			
8	S-N.A	82.718 gr	81.5 ± 3.2	
9	S-N.B	78.381 gr	79.4 ± 2.9	Bom posicionamento
10	A-N.B	4.337 gr	2.1 ± 1.9	+
11	S-N.D	76.947 gr	76.0 ± 2.0	
	Avaliação Wits (Unicamp)			
12	Wits	3.907 mm	0.0 ± 2.0	Classe II
	Avaliação de McNamara			
13	Co-A	85.932 mm	99.8 ± 6.0	- -
14	Co-Gn	110.154 mm	134.3 ± 6.8	- - -
15	Diferença Mx - Md	24.222	34.5 ± 4.0	- -
16	Alt. Facial Ant. Inferior	61.809 mm	74.6 ± 5.0	- -
	Arcos Dentários x Bases Apicais (Unicamp)			
17	(Ais-Iis).(N-A)	0.591 gr	23.2 ± 5.5	Retrusão do Incisivo superior
18	Iis-(N-A)	-1.471 mm	5.6 ± 1.9	- - -
19	(Iis-Ais).(S-N)	83.309 gr	110.0 ± 4.0	- - - - -
20	(Iii-Aii).(N-B)	19.114 gr	26.3 ± 4.2	Retrusão do incisivo inferior
21	Iii-(N-B)	2.727 mm	5.2 ± 1.6	-
22	IMPA	83.329 gr	87.0 ± 5.4	
23	Pog-(N-B)	-3.317 mm	1.6 ± 1.6	- - -
24	(Iis-Ais).(Iii-Aii)	155.958 gr	131.0 ± 2.0	+++++
25	Iii-(A-Pog)	-1.371 mm	0.0 ± 2.0	
	Análise de Perfil Tegumentar			
26	H-Nariz (Unicamp)	8.281 mm	10.0 ± 2.0	Bom alinhamento
27	Prn.(Sn-Ls) (McNamara)	108.566 gr	100.0 ± 10.0	Bom ângulo
28	Linha H.N-B	9.741 gr	8.0 ± 1.0	+

Cfaz.net

N°: **28** Data do pedido: **29/08/2021**

Paciente: **Cefalometria SLM** Sexo: **Masculino**

Idade: **22a 8m** 15/12/1998 Indicação: **LODI-Cefalometria**

Tipo de análise: **Profis**

Fator	Diagnóstico
Ângulo Basal Superior	Mesoprosopo
Ângulo Basal Inferior	Leptoprosopo
Índice Facial Suborbital	Leptoprosopo
S-N.B	Bom posicionamento
Wits	Classe II
(Ais-Iis).(N-A)	Retrusão do Incisivo superior
(Iii-Aii).(N-B)	Retrusão do incisivo inferior
H-Nariz (Unicamp)	Bom alinhamento
Prn.(Sn-Ls) (McNamara)	Bom ângulo

Cfaz.net

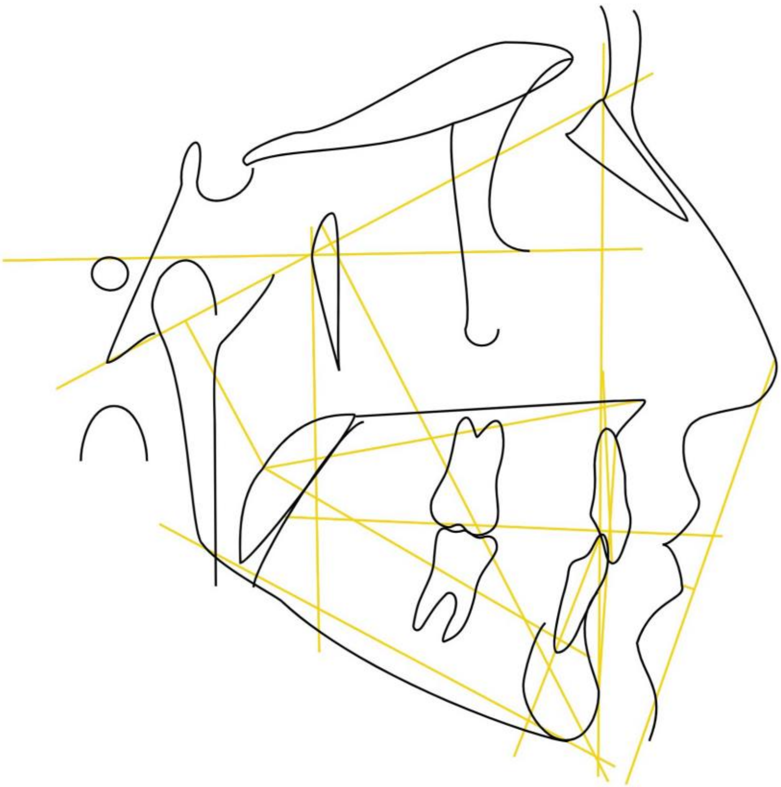
N°: **28** Data do pedido: **29/08/2021**

Paciente: **Cefalometria SLM** Sexo: **Masculino**

Idade: **22a 8m** 15/12/1998 Indicação: **LODI-Cefalometria**

Tipo de análise:

Ricketts



Cfaz.net

Nº: **28** Data do pedido: **29/08/2021**

Paciente: **Cefalometria SLM** Sexo: **Masculino**

Idade: **22a 8m** 15/12/1998 Indicação: **LODI-Cefalometria**

Tipo de análise: **Ricketts**

#	Descrição	Valor	Padrão	Desvios/Classificação
	Campo I - Problemas Dentários			
1	Relação Molar	0.085 mm	-3.0 ± 3.0	+
2	Relação Canina	3.062 mm	-2.0 ± 3.0	+
3	Trespasse Horizontal do Incisivo (Overjet)	2.052 mm	2.5 ± 2.5	
4	Trespasse Vertical do Incisivo (Overbite)	5.426 mm	2.5 ± 2.0	+
5	Extrusão do Incisivo Inferior	-0.324 mm	1.25 ± 2.0	
6	Ângulo Interincisivo	155.958 gr	130.0 ± 6.0	++++
	Campo II - Problemas Esqueléticos			
7	Convexidade no Ponto A	2.656 mm	-0.7 ± 2.0	+
8	Altura Facial Inferior	40.383 gr	45.0 ± 4.0	-
	Campo III - Problemas Dento-Esqueléticos			
9	Posição do Molar Superior	21.439 mm	21.0 ± 3.0	
10	Protusão do Incisivo Inferior	-1.371 mm	1.0 ± 2.3	-
11	Protusão do Incisivo Superior	0.806 mm	3.5 ± 2.3	-
12	Inclinação do Incisivo Inferior	17.526 gr	22.0 ± 4.0	-
13	Inclinação do Incisivo Superior	6.515 gr	28.0 ± 4.0	- - - - -
14	Distância Xi - Plano Oclusal	-8.47 mm	-4.5 ± 3.0	-
15	Inclinação do Plano Oclusal	27.66 gr	18.0 ± 4.0	++
	Campo IV - Problemas Estéticos			
16	Protusão Labial Inferior	-2.364 mm	-1.0 ± 2.0	
17	Comprimento Labial Superior	25.83 mm	24.0 ± 2.0	
18	Comissura Labial/Plano Oclusal	1.95 mm	-3.0 ± 2.0	++
	Campo V - Relação Crânio Facial			
19	Profundidade Facial	88.514 gr	89.47 ± 3.1	
20	Ângulo do Eixo Facial	89.379 gr	90.0 ± 3.5	
21	Cone Facial	62.404 gr	68.0 ± 4.0	-
22	Profundidade Maxilar	91.04 gr	90.0 ± 3.0	
23	Altura Maxilar	59.365 gr	53.0 ± 3.0	++
24	Altura Facial Total	58.06 gr	60.0 ± 3.0	
25	Inclinação do Plano Palatino	2.209 gr	1.0 ± 3.5	
26	Ângulo do Plano Mandibular	29.082 gr	22.94 ± 4.5	+
	Campo VI - Estruturas Internas			
27	Deflexão Craniana	26.833 gr	27.0 ± 3.0	
28	Comprimento Craniano Anterior	54.559 mm	63.9 ± 2.5	- - -
29	Altura Facial Posterior	55.446 mm	54.8 ± 3.3	
30	Posição do Ramo	76.438 gr	76.0 ± 3.0	
31	Localização do Pório	34.8 mm	43.5 ± 2.2	- - -
32	Ângulo do Arco Mandibular	31.533 gr	30.5 ± 4.0	
33	Comprimento do Corpo	66.762 mm	79.4 ± 2.7	- - - -

VERT: -0.027 => Meso

Cfaz.net

Nº: **28** Data do pedido: **29/08/2021**

Paciente: **Cefalometria SLM** Sexo: **Masculino**

Idade: **22a 8m** 15/12/1998 Indicação: **LODI-Cefalometria**

Tipo de análise: **Ricketts**

Fator	Diagnóstico
Relação Molar	Classe II
Relação Canina	Classe II
Trespasse Horizontal do Incisivo (Overjet)	Overjet ideal
Trespasse Vertical do Incisivo (Overbite)	Mordida Profunda
Extrusão do Incisivo Inferior	Overbite ideal
Ângulo Interincisivo	Dolicofacial
Convexidade no Ponto A	Perfil convexo
Altura Facial Inferior	Braquifacial
Posição do Molar Superior	Classe I
Protusão do Incisivo Inferior	Retrusão do incisivo inferior
Protusão do Incisivo Superior	Retrusão do incisivo superior
Inclinação do Incisivo Inferior	Perfil côncavo
Inclinação do Incisivo Superior	Dolicofacial
Distância Xi - Plano Oclusal	Abaixo do Xi
Inclinação do Plano Oclusal	Ântero inclinado
Protusão Labial Inferior	Lábio normal
Comprimento Labial Superior	Lábio superior normal
Comissura Labial/Plano Oclusal	Sorriso infragengival
Profundidade Facial	Bom posicionamento
Ângulo do Eixo Facial	Bom posicionamento
Cone Facial	Dólicofacial
Profundidade Maxilar	Bom posicionamento
Altura Maxilar	Mordida aberta
Altura Facial Total	Mesofacial
Inclinação do Plano Palatino	Normal
Ângulo do Plano Mandibular	Dólicofacial
Deflexão Craniana	Classe I
Comprimento Craniano Anterior	Pequeno
Altura Facial Posterior	Mesofacial
Posição do Ramo	Classe I
Localização do Pório	Abaixo da norma
Ângulo do Arco Mandibular	Mesofacial
Comprimento do Corpo	Classe II

Cfaz.net

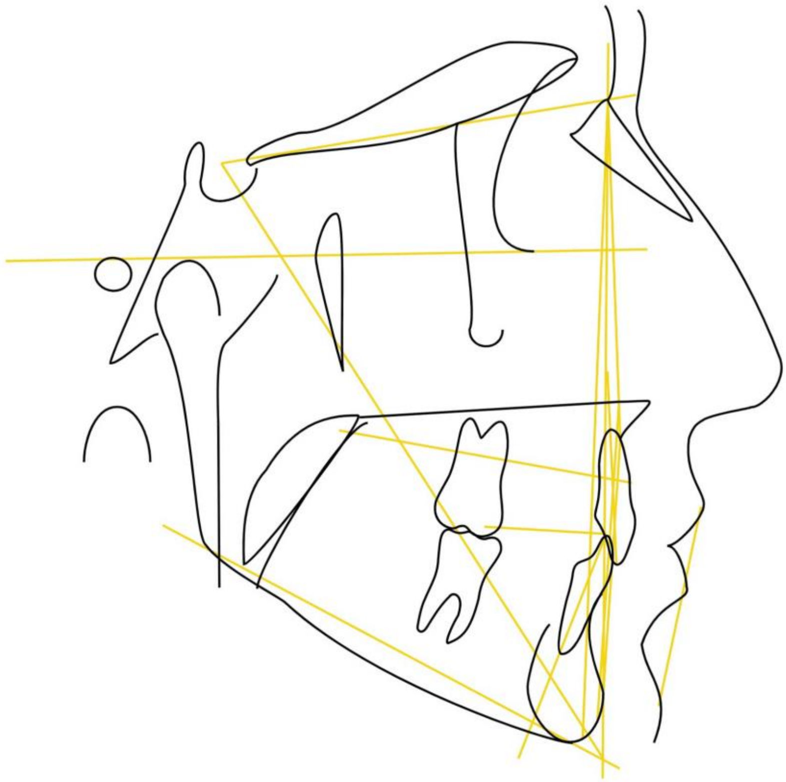
N°: **28** Data do pedido: **29/08/2021**

Paciente: **Cefalometria SLM** Sexo: **Masculino**

Idade: **22a 8m** 15/12/1998 Indicação: **LODI-Cefalometria**

Tipo de análise:

USP



Cfaz.net

N°: **28** Data do pedido: **29/08/2021**

Paciente: **Cefalometria SLM** Sexo: **Masculino**

Idade: **22a 8m** 15/12/1998 Indicação: **LODI-Cefalometria**

Tipo de análise: **USP**

#	Descrição	Valor	Padrão	Desvios/Classificação
	Campo I			
1	(N-Pog).(Po-Orb)	88.514 gr	88.0 ± 1.0	
2	N-A.Pog	5.924 gr	0.0 ± 2.0	++
3	S-N.A	82.718 gr	82.0 ± 2.0	
4	S-N.B	78.381 gr	80.0 ± 2.0	
5	A-N.B	4.337 gr	2.0 ± 2.0	+
6	S-N.D	76.947 gr	76.0	
	Campo II			
7	S-N.Gn	66.682 gr	67.0	
8	S-N.Ocl	12.75 gr	14.0	
9	(S-N).(Go-Me)	37.404 gr	32.0	
10	(Go-Gn).Ocl	22.471 gr	18.0	
	Campo III			
11	Ângulo Interincisivo	155.958 gr	131.0	
12	1/.NS	83.309 gr	103.0	
13	1/-Órbita	-11.953 mm	5.0	
14	1/.NA	0.591 gr	22.0 ± 5.0	- - - -
15	1/-NA	2.232 mm	4.0	
16	/1.NB	19.114 gr	25.0 ± 4.0	-
17	/1-NB	2.727 mm	4.0	
18	/1-NPog	0.301 mm	0.0	
	Campo IV			
19	H.(N-B)	9.741 gr	10.5 ± 1.5	
20	H-Nariz	8.281 mm	10.0 ± 1.0	-
21	Pog-NB	3.317 mm	-	
22	Eminência Mentoniana	9.386 mm	7.0 ± 1.0	++
	Campo V			
23	FMIA	67.589 gr	68.0	
24	FMA	29.082 gr	25.0	
25	IMPA	83.329 gr	87.0	
26	TPi	-0.007 mm	-	
	Campo VI			
27	/1-Linha I	0.686 mm	0.0	
28	(Go-Me).(V-T)	68.806 gr	72.0	
29	F.(V-T)	82.112 gr	81.0	
30	A-(V-T)	4.686 mm	3.0	
31	Iii-(V-T)	4.19 mm	6.0	
32	H.(V-T)	5.15 gr	5.0	
33	Discrepância Cefalométrica - Vigorito	-6.41	-	

Cfaz.net

N°: **28** Data do pedido: **29/08/2021**

Paciente: **Cefalometria SLM** Sexo: **Masculino**

Idade: **22a 8m** 15/12/1998 Indicação: **LODI-Cefalometria**

Tipo de análise: **USP**

Fator	Diagnóstico
N-A.Pog	Perfil Convexo
S-N.A	Bom posicionamento
S-N.B	Bom posicionamento
A-N.B	Classe II esquelética
1/.NA	Inclinação inferior
/1.NB	Inclinação inferior

REFERÊNCIAS

REFERÊNCIAS

1. Zide B, Grayson B, McCarthy JG. Cephalometric analysis: part I. Plast Reconstr Surg. 1981 Nov;68(5):816-23. doi: 10.1097/00006534-198111000-00032. PMID: 7291358.

2. Trpkova B, Major P, Prasad N, Nebbe B. Cephalometric landmarks identification and reproducibility: a meta analysis. Am J Orthod Dentofacial Orthop. 1997 Aug;112(2):165-70. doi: 10.1016/s0889-5406(97)70242-7. PMID: 9267228.

3. Meriç P, Naoumova J. Web-based Fully Automated Cephalometric Analysis: Comparisons between App-aided, Computerized, and Manual Tracings. Turk J Orthod. 2020 Aug 11;33(3):142-149. doi: 10.5152/TurkJOrthod.2020.20062. PMID: 32974059; PMCID: PMC7491969.

4. Han MD, Momin MR, Munaretto AM, Hao S. Three-dimensional cephalometric analysis of the maxilla: Analysis of new landmarks. Am J Orthod Dentofacial Orthop. 2019 Sep;156(3):337-344. doi: 10.1016/j.ajodo.2018.09.018. PMID: 31474263.

5. Santos RMGD, De Martino JM, Haiter Neto F, Passeri LA. Cone-Beam Computed Tomography-Based Three-Dimensional McNamara Cephalometric Analysis. J Craniofac Surg. 2018 Jun;29(4):895-899. doi: 10.1097/SCS.0000000000004248. PMID: 29381618.

6. Rintala A, Nordström R, Partinen M, Ranta R, Sjöblad A. Cephalometric analysis of the obstructive sleep apnea syndrome. Proc Finn Dent Soc. 1991;87(1):177-82. PMID: 2057485.

7. Naji P, Alsufyani NA, Lagravère MO. Reliability of anatomic structures as landmarks in three-dimensional cephalometric analysis using CBCT. Angle Orthod. 2014 Sep;84(5):762-72. doi: 10.2319/090413-652.1. Epub 2013 Dec 23. PMID: 24364751.

8. Farooq MU, Khan MA, Imran S, Sameera A, Qureshi A, Ahmed SA, Kumar S, Rahman MA. Assessing the Reliability of Digitalized Cephalometric Analysis in Comparison with Manual Cephalometric Analysis. J Clin Diagn Res. 2016 Oct;10(10):ZC20-ZC23. doi: 10.7860/JCDR/2016/17735.8636. Epub 2016 Oct 1. PMID: 27891451; PMCID: PMC5121797.

9. Ponnada SR, Ganugapanta VR, Perumalla KK, Naqeed MA, Harini T, Mandaloju SP. Airway Analysis in Skeletal Class I and Class II Subjects with Different Growth Patterns: A 2D Cephalometric Study. J Pharm Bioallied Sci. 2020 Aug;12(Suppl 1):S161-S167. doi: 10.4103/jpbs.JPBS_49_20. Epub 2020 Aug 28. PMID: 33149449; PMCID: PMC7595453.

GUIA PRÁTICO DE CEFALOMETRIA

SISTEMA CFAZ.NET

SINCE 2019

LODI-UEPG

LIGA ODONTOLÓGICA DE DIAGNÓSTICO POR IMAGEM

UEPG

SIGA NOSSAS REDES SOCIAIS

PRESSIONE OS BOTÔES PARA ACESSAR

@lodiuepg

/Lodiuepg

LODI - UEPG

www2.uepg.br/lodi/

OBRIGADO

AMIGOS DA LODI

Cfaz.net CYBERMED Carestream DENTAL DIGITAL RADIO CENTER

SINCE 2019

LODI-UEPG

LIGA ODONTOLÓGICA
DE DIAGNÓSTICO POR IMAGEM

UEPG

UEPG

Universidade Estadual
de Ponta Grossa

GUIA PRÁTICO DE CEFALOMETRIA

SISTEMA CFAZ.NET

www.atenaeditora.com.br
contato@atenaeditora.com.br
@atenaeditora
www.facebook.com/atenaeditora.com.br

Liga Odontológica
De Diagnóstico
Por Imagem - UEPG

Atena Editora
Ano 2021

GUIA PRÁTICO DE CEFALOMETRIA

SISTEMA CFAZ.NET

www.atenaeditora.com.br
contato@atenaeditora.com.br
@atenaeditora
www.facebook.com/atenaeditora.com.br

Liga Odontológica
De Diagnóstico
Por Imagem - UEPG

Atena Editora
Ano 2021